

สำนักหอสมุดกลาง พระจอมเกล้าลาดกระบัง

ระบบเตือนภัยภายในอาคารผ่านโทรศัพท์

**AUTOMATIC WARNING TELEPHONE SYSTEM**



เลขหมู่.....  
เลขทะเบียน.....**62528**  
วัน,เดือน,ปี.....**19 ส.ค. 2549**

b.....**41625880**  
i.....

**ปริญญาบัตรนี้เป็นส่วนหนึ่งของการศึกษาตามหลักสูตรปริญญาวิศวกรรมศาสตรบัณฑิต  
สาขาวิชาวิศวกรรมโทรคมนาคม  
สถาบันเทคโนโลยีพระจอมเกล้าเจ้าคุณทหารลาดกระบัง  
ปีการศึกษา 2548**

เอกสารนี้เป็นเอกสารที่สงวนไว้สำหรับการใช้งานเพื่อการศึกษาเท่านั้น ไม่อนุญาตให้นำไปใช้ประโยชน์ด้านการค้า  
ไม่ว่ากรณีใดๆ ทั้งสิ้น อีกทั้งห้ามมิให้ตัดแปลงเนื้อหา และต้องอ้างอิงถึงเจ้าของเอกสารทุกครั้งที่มีการนำไปใช้

ระบบเตือนภัยภายในอาคารผ่านโทรศัพท์  
AUTOMATIC WARNING TELEPHONE SYSTEM



ปริญญานิพนธ์นี้เป็นส่วนหนึ่งของการศึกษาตามหลักสูตรปริญญาวิศวกรรมศาสตรบัณฑิต

สาขาวิชาวิศวกรรมโทรคมนาคม

สถาบันเทคโนโลยีพระจอมเกล้าเจ้าคุณทหารลาดกระบัง

ปีการศึกษา 2548

ผ่านการตรวจรับแล้ว  
(ลงชื่อ).....ผู้ตรวจ

ผ่านการตรวจรูปเล่มแล้ว  
(ลงชื่อ).....ผู้ตรวจ

เอกสารนี้เป็นเอกสารที่สงวนไว้สำหรับการใช้งานเพื่อการศึกษาเท่านั้น ไม่เอื้อประโยชน์ด้านการค้า  
ไม่ว่ากรณีใดๆ ทั้งสิ้น อีกทั้งห้ามมิให้ดัดแปลงเนื้อหา และต้องอ้างอิงถึงเจ้าของเอกสารทุกครั้งที่มีการนำไปใช้

ปริญญาโทปีการศึกษา 2548

ภาควิชาวิศวกรรมโทรคมนาคม

คณะวิศวกรรมศาสตร์ สถาบันเทคโนโลยีพระจอมเกล้าเจ้าคุณทหารลาดกระบัง

เรื่อง ระบบเตือนภัยภายในอาคารผ่านโทรศัพท์

**AUTOMATIC WARNING TELEPHONE SYSTEM**

ผู้จัดทำ

1. นายชานนท์ อินตา 46015049

2. นายบรรเทา สุทธิจันทร์ 46015059

.....  
( รศ. นิภา สิลารุจี )

อาจารย์ที่ปรึกษา

.....  
( รศ. ณรงค์ เหมกรณ์ )

อาจารย์ที่ปรึกษา

เอกสารนี้เป็นเอกสารที่สงวนไว้สำหรับการใช้งานเพื่อการศึกษาเท่านั้น ไม่อนุญาตให้นำไปใช้ประโยชน์ด้านการค้า  
ไม่ว่ากรณีใดๆ ทั้งสิ้น อีกทั้งห้ามมิให้ตัดแปลงเนื้อหา และต้องอ้างอิงถึงเจ้าของเอกสารทุกครั้งที่มีการนำไปใช้

ระบบเตือนภัยภายในอาคารผ่านโทรศัพท์  
AUTOMATIC WARNING TELEPHONE SYSTEM

โดย นายชานนท์ อินดา 46015049  
นายบรรเทา สุทธิจันทร์ 46015059

อาจารย์ที่ปรึกษา รศ.นิภา ลีลาสุทธิ  
รศ.ณรงค์ เหมกรณ์

**บทคัดย่อ**

โครงการนี้สร้างระบบแจ้งเตือนภัยภายในอาคารผ่านโทรศัพท์โดยมีส่วนของตัวตรวจจับซึ่งใช้  
ลิมิตสวิทช์, ตัวตรวจจับควัน และ ตัวตรวจจับอุณหภูมิในแต่ละชั้นของอาคารเป็นตัวส่งสัญญาณเป็น  
สถานะ (on-off) หรือ สัญญาณไฟฟ้าเพื่อแจ้งสถานะให้ไมโครคอนโทรลเลอร์ทราบว่ามีสถานะใดเพื่อ  
จะสามารถสั่งการทำงานของไมโครคอนโทรลเลอร์ด้วยโปรแกรมด้วยโปรแกรมหากตัวตรวจจับแจ้ง  
สถานะมาซึ่งไมโครคอนโทรลเลอร์ก็จะส่งสถานะไปให้ฮาร์ดแวร์แจ้งเตือนดังขึ้น พร้อมโทรออกผ่านตู้สาย  
โทรศัพท์โดยสามารถกำหนดหมายเลขโทรศัพท์ที่จะโทรออกได้ด้วยโปรแกรมไมโครคอนโทรลเลอร์  
หากไม่มีการรับสายก็จะมีเสียงเรียกซ้ำด้วยวงจร Busy & Ring back tone แต่ถ้ามีการรับสายก็จะทำการส่ง  
เสียงที่ทำการบันทึกไว้ในวงจรับันทึกเสียงให้ผู้ที่ถูกเตือนทราบ

**ABSTRACT**

This project is “ Automatic Warning Telephone System ” using limit switch, smoke  
detector and temperature sensor to detect the status (on-off). If someone invade to the building the  
sensor will send signals to the microcontroller. The alarm burglar will be loudly. In the same time, the  
microcontroller will control the telephone to dial the number of building owner or someone who are  
listed in the program. While the contact is success it will sent the voice message to the recieving  
subscriber. However, the contact isn't success the ring back tone circuit will redial again.

เอกสารนี้เป็นเอกสารที่สงวนไว้สำหรับการใช้งานเพื่อการศึกษาเท่านั้น ไม่อนุญาตให้นำไปใช้ประโยชน์ด้านการค้า  
ไม่ว่ากรณีใดๆ ทั้งสิ้น อีกทั้งห้ามมิให้ดัดแปลงเนื้อหา และต้องอ้างอิงถึงเจ้าของเอกสารทุกครั้งที่มีการนำไปใช้

## กิตติกรรมประกาศ

ปริญญานิพนธ์ฉบับนี้สำเร็จลุล่วงไปได้ด้วยดี ก็ด้วยความช่วยเหลือ ให้ คำแนะนำ และคำปรึกษา จาก รศ. นิภา ลีลารุจิ และ รศ. ณรงค์ เหมกรณ์ ทางคณะผู้จัดทำจึงขอขอบคุณไว้ ณ ที่นี้ด้วย ขอขอบคุณ พ่อแม่ที่ให้กำเนิด และ เลี้ยงดูเราเป็นอย่างดีและสุดท้ายนี้ขอขอบคุณเพื่อนๆ ทุกคนที่คอยช่วยเหลือตลอด มา และ โดยเฉพาะอย่างยิ่งผู้ร่วมทำโปรเจกต์ที่เสียสละเป็นอย่างมากในการทำโปรเจกต์ครั้งนี้

คณะผู้จัดทำ



เอกสารนี้เป็นเอกสารที่สงวนไว้สำหรับการใช้งานเพื่อการศึกษาเท่านั้น ไม่อนุญาตให้นำไปใช้ประโยชน์ด้านการค้า ไม่ว่าจะกรณีใดๆ ทั้งสิ้น อีกทั้งห้ามมิให้ตัดแปลงเนื้อหา และต้องอ้างอิงถึงเจ้าของเอกสารทุกครั้งที่มีการนำไปใช้

## สารบัญ

	หน้า
บทที่ 1 บทนำ	1
บทที่ 2 ทฤษฎีและหลักการ	2
2.1 ระบบโทรศัพท์	2
2.2 การทำงานของโทรศัพท์	2
2.3 สัญญาณโทรศัพท์	4
2.4 การติดต่อกันระหว่างเครื่องส่งและเครื่องรับ โทรศัพท์	5
2.4.1 เครื่องส่ง	5
2.4.2 เครื่องรับ	5
2.5 ระบบโทรศัพท์แบบส่งความถี่คู่	7
2.6 ข้อดีของการใช้โทรศัพท์แบบกดปุ่ม DTMF	8
2.7 การเข้ารหัสและถอดรหัสความถี่ของโทรศัพท์ระบบ DTMF	8
2.7.1 การเข้ารหัสความถี่ระบบ DTMF	8
2.7.2 การถอดรหัสความถี่ระบบ DTMF	13
2.8 ไมโครคอนโทรลเลอร์ MCS-51	13
2.8.1 คุณสมบัติของไมโครคอนโทรลเลอร์เบอร์ AT89S8252	13
2.8.2 โครงสร้างของ MCS-51	15
2.8.3 การจัดการหน่วยความจำของ MCS-51	16
2.8.4 สถาปัตยกรรม MCS-51	16
2.8.5 การทำงานของ MCS-51	17
2.8.6 การอินเตอร์รัพต์	18
บทที่ 3 การคำนวณและการสร้าง	19
3.1 โครงสร้างทางฮาร์ดแวร์ (Hardware) และ โครงสร้างของระบบ	19
3.2 การทำงานโดยรวมของระบบ	19
3.3 ส่วนควบคุม	21
3.4 โครงสร้างทางซอฟต์แวร์	22
3.5 หลักการทำงานของวงจรตรวจจับอุณหภูมิ	25
3.6 ส่วนอุปกรณ์ตรวจจับ	25
3.6.1 อินฟราเรดเซ็นเซอร์สำหรับสัญญาณลอจิก	25
3.6.2 หลักการทำงานของอินฟราเรดด้านภาคส่ง	26

เอกสารนี้เป็นเอกสารที่สงวนไว้สำหรับการใช้งานเพื่อการศึกษาเท่านั้น ไม่อนุญาตให้นำไปใช้ประโยชน์ด้านการค้า  
ไม่ว่ากรณีใดๆ ทั้งสิ้น อีกทั้งห้ามมิให้ดัดแปลงเนื้อหา และต้องอ้างอิงถึงเจ้าของเอกสารทุกครั้งที่มีการนำไปใช้

## สารบัญ (ต่อ)

	หน้า
3.6.3 หลักการทำงานของวงจรอินฟราเรดด้านภาครับ	27
3.7 หลักการทำงานของวงจรตรวจจับคลื่น	28
3.8 ส่วนควบคุมการยกหูวางหูโทรศัพท์	29
3.9 ส่วนสร้างสัญญาณ DTMF	30
3.10 ส่วนวงจรตรวจสัญญาณจากสายโทรศัพท์ (Tone Detector)	30
3.11 ส่วนไอซีบันทึกเสียง ISD 2590	32
3.11.1 คุณสมบัติของ ISD 2590 และไอซีในตระกูล ISD 2500	32
3.11.2 การทำงานเบื้องต้น	34
3.11.3 วงจรใช้งานของวงจร ISD 25XX	35
3.11.4 การประยุกต์ใช้งาน	38
3.11.5 การกำหนดตำแหน่งแอดเดรสเพื่อใช้ในการบันทึก และการเล่นกลับ	38
บทที่ 4 การทดลองและผลการทดลอง	40
4.1 ผลการทดลองของวงจรอูณหภูมิต	40
4.2 ผลการทดลองภาคส่งของวงจรอินฟราเรด	41
4.3 ผลการทดลองภาครับของวงจรอินฟราเรด	43
4.4 ผลการทดลองของวงจรบันทึกเสียง	46
4.5 ผลการทดลองจากวงจรตรวจจับคลื่น	47
4.6 ผลการทดลองจากการกดสัญญาณดีทีเอ็มเอฟ	50
4.7 ผลการทดลองจากการวัดสัญญาณยกหู (Dial Tone)	52
4.8 ผลการทดลองจากการวัดสัญญาณไม่ว่าง (Busy Tone)	53
4.9 ผลการทดลองจากการวัดสัญญาณเรียกกลับ (Ring Back Tone)	54
บทที่ 5 บทวิจารณ์และสรุป	60
ภาคผนวก	
กิตติกรรมประกาศ	
หนังสืออ้างอิง	

เอกสารนี้เป็นเอกสารที่สงวนไว้สำหรับการใช้งานเพื่อการศึกษาเท่านั้น ไม่อนุญาตให้นำไปใช้ประโยชน์ด้านการค้า  
ไม่ว่ากรณีใดๆ ทั้งสิ้น อีกทั้งห้ามมิให้ดัดแปลงเนื้อหา และต้องอ้างอิงถึงเจ้าของเอกสารทุกครั้งที่มีการนำไปใช้

## สารบัญรูปภาพ

	หน้า
รูปที่ 2.1 แสดงบล็อกไดอะแกรมของโทรศัพท์	3
รูปที่ 2.2 แสดงสัญญาณ โทรศัพท์	6
รูปที่ 2.3 แสดงเป็นกคเลขหมายและค่าความถี่ในแวนอนและแนวตั้งของหมายเลขนั้นๆ	7
รูปที่ 2.4 แผนภาพแสดงของระบบ DTMF	9
รูปที่ 2.5 แสดงชนิดของปุ่มกดและรูปสัญญาณ	10
รูปที่ 2.6 แผนภาพแสดงวงจรภายใน ไอซีเบอร์ TCM5087	11
รูปที่ 2.7 รูปสัญญาณของระบบ DTMF	12
รูปที่ 2.8 บล็อกไดอะแกรมแสดง โครงสร้างของ MCS-51	15
รูปที่ 3.1 บล็อกไดอะแกรมของระบบเตือนภัยภายในอาคารผ่าน โทรศัพท์	20
รูปที่ 3.2 ไฟล์ชาร์ตการทำงานของระบบ	21
รูปที่ 3.3 วงจรตรวจจับอุณหภูมิ	25
รูปที่ 3.4 บล็อกไดอะแกรมแสดงส่วนประกอบของการทำงานของ โมดูลอินพุตแบบลอจิก	25
รูปที่ 3.5 วงจรอินฟราเรดด้านภาคส่ง	27
รูปที่ 3.6 วงจรอินฟราเรดด้านภาครับ	28
รูปที่ 3.7 แสดงการแตกตัวของอ็อนและการรวมตัวกับอนุภาคควีน	28
รูปที่ 3.8 วงจรตรวจจับควีน	29
รูปที่ 3.9 วงจรควบคุมการวางหู-ยกหูโทรศัพท์	29
รูปที่ 3.10 แสดงวงจรสร้างสัญญาณ DTMF	30
รูปที่ 3.11 แสดงวงจรตรวจจับสัญญาณ Busy Tone และ Ring Back Tone	32
รูปที่ 3.12 บล็อกไดอะแกรมภายในของไอซี ISD 25XX	33
รูปที่ 3.13 แสดงวงจรประยุกต์การใช้งาน ISD 25XX	35
รูปที่ 4.1 ผลิตความถี่สัญญาณคลื่นพาหะ 40 KHz ปรับค่าที่ VR 100 K	41
รูปที่ 4.2 ผลิตความถี่ของสัญญาณ โทนสามารถปรับค่า VR 100 K ป้อนให้ได้ 1KHz	42
รูปที่ 4.3 ภาคส่งอินฟราเรด	42
รูปที่ 4.4 ภาครับอินฟราเรด	43
รูปที่ 4.5 ขยายความถี่ที่ได้รับมาได้ให้มีความแรงขึ้น	44
รูปที่ 4.6 ขณะมีสิ่งกีดขวางของ IC แสดงสถานะ "1"	44
รูปที่ 4.7 ขณะไม่มีสิ่งกีดขวางของ IC แสดงสถานะ "0"	45
รูปที่ 4.8 ตัวอย่างสัญญาณเสียงที่ได้จากการบันทึกลงใน ไอซี ISD 2590	46

เอกสารนี้เป็นเอกสารที่สงวนไว้สำหรับการใช้งานเพื่อการศึกษาเท่านั้น ไม่อนุญาตให้นำไปใช้ประโยชน์ด้านการค้า  
ไม่ว่ากรณีใดๆ ทั้งสิ้น อีกทั้งห้ามมิให้ดัดแปลงเนื้อหา และต้องอ้างอิงถึงเจ้าของเอกสารทุกครั้งที่มีการนำไปใช้

## สารบัญรูปภาพ (ต่อ)

	หน้า
รูปที่ 4.9 สัญญาณ Detector Output ขา 1 ของไอซี MC14467P1 ขณะที่ไม่มีควิน (Test mode)	47
รูปที่ 4.10 สัญญาณ Detector Output ขา 1 ของไอซี MC14467P1 ขณะที่ไม่มีควิน (จากควินจริง)	48
รูปที่ 4.11 สัญญาณ Output ขา 10 ของไอซี MC14467P1 ที่ใช้ทรานซิสเตอร์เพื่อขับ Relay ขณะที่ไม่มีควิน (Test mode)	48
รูปที่ 4.12 สัญญาณ Output ขา 10 ของไอซี MC14467P1 ที่ใช้ทรานซิสเตอร์เพื่อขับ Relay ขณะที่ควิน (จากควินจริง)	49
รูปที่ 4.13 ลักษณะรูปคลื่นสัญญาณเลข 1 ที่กำเนิดจาก TCM 5087 ซึ่งความถี่ 697 Hz และ 1209 Hz	50
รูปที่ 4.14 ลักษณะรูปคลื่นสัญญาณเลข 2 ที่กำเนิดจาก TCM 5087 ซึ่งความถี่ 697 Hz และ 1366 Hz	51
รูปที่ 4.15 ลักษณะรูปคลื่นสัญญาณเลข 3 ที่กำเนิดจาก TCM 5087 ซึ่งความถี่ 697 Hz และ 1477 Hz	51
รูปที่ 4.16 รูปสัญญาณขกหู (Dial Tone)	52
รูปที่ 4.17 รูปสัญญาณไม่ว่าง (Busy Tone)	53
รูปที่ 4.18 รูปสัญญาณเรียกกลับ (Ring Back Tone)	54
รูปที่ 4.19 แสดงภาพวงจรจริงของตัวตรวจจับอุณหภูมิ	55
รูปที่ 4.20 แสดงภาพวงจรจริงของตัวตรวจจับอินฟราเรด	55
รูปที่ 4.21 แสดงภาพวงจรจริงของตัวตรวจจับควิน	56
รูปที่ 4.22 แสดงภาพวงจรจริงของตัวบันทึกเสียง	56
รูปที่ 4.23 แสดงภาพวงจรจริงของตัววงจรสัญญาณพร้อมหมุนและสร้างสัญญาณ DTMF	57
รูปที่ 4.24 แสดงภาพวงจรจริงของวงจรตรวจจับ Busy Tone และส่วนของการประมวลผล	57
รูปที่ 4.25 แสดงภาพวงจรจริงของวงจรตรวจจับ Ring Back Tone	58
รูปที่ 4.26 แสดงภาพวงจรจริงของ “ระบบเตือนภัยภายในอาคารผ่านโทรศัพท์” แบบสมบูรณ์	58
รูปที่ 4.27 ภาพแสดงแบบจำลองโครงสร้างอาคาร	59
รูปที่ 4.28 ภาพการติดตั้งอุปกรณ์ตรวจจับภายในอาคาร	59

เอกสารนี้เป็นเอกสารที่สงวนไว้สำหรับการใช้งานเพื่อการศึกษาเท่านั้น ไม่อนุญาตให้นำไปใช้ประโยชน์ด้านการค้า  
ไม่ว่ากรณีใดๆ ทั้งสิ้น อีกทั้งห้ามมิให้ดัดแปลงเนื้อหา และต้องอ้างอิงถึงเจ้าของเอกสารทุกครั้งที่มีการนำไปใช้

## สารบัญตาราง

	หน้า
ตารางที่ 2.1 แสดงลักษณะของสัญญาณต่างๆ ที่ใช้ในการแจ้งสภาวะการใช้งานทางโทรศัพท์	4
ตารางที่ 2.2 แสดงความถี่ระบบ DTMF	8
ตารางที่ 3.1 คุณสมบัติทางไฟฟ้าบางอย่างที่แตกต่างกันของไอซีในตระกูล ISD 25XX	34
ตารางที่ 3.2 แสดงคุณสมบัติทางไฟฟ้า ISD 2590	34
ตารางที่ 3.3 การใช้งานและควบคุมการทำงานของ ISD 2590	38
ตารางที่ 3.4 การกำหนดแอดเดรสของ ISD 2590	39
ตารางที่ 4.1 ตารางเปรียบเทียบอุณหภูมิกับความต้านทานและแรงดัน	40



เอกสารนี้เป็นเอกสารที่สงวนไว้สำหรับการใช้งานเพื่อการศึกษาเท่านั้น ไม่อนุญาตให้นำไปใช้ประโยชน์ด้านการค้าไม่ว่ากรณีใดๆ ทั้งสิ้น อีกทั้งห้ามมิให้ดัดแปลงเนื้อหา และต้องอ้างอิงถึงเจ้าของเอกสารทุกครั้งที่มีการนำไปใช้

## บทที่ 1

### บทนำ

ในปัจจุบันการติดต่อสื่อสารนับเป็นสิ่งที่สำคัญอย่างมาก โทรศัพท์ก็เป็นการติดต่อสื่อสารวิธีหนึ่ง ที่นิยมใช้กันอย่างแพร่หลาย เนื่องจากเป็นวิธีที่สะดวกสบาย และสามารถติดต่อสื่อสารกันได้อย่างรวดเร็ว และในปัจจุบันการนำสัญญาณคิตีเอ็มเอฟมาประยุกต์ใช้งานนั้นจึงส่งผลให้โทรศัพท์สามารถใช้งานได้หลากหลายมากขึ้น

สำหรับโครงการนี้เป็นโครงการระบบโทรศัพท์อัตโนมัติ ซึ่งเป็นการนำโทรศัพท์มาประยุกต์ใช้ในการใช้เป็นอุปกรณ์เตือนภัยที่เกิดขึ้นภายในอาคารได้ กล่าวคือเมื่อเกิดเหตุคือมีผู้บุกรุกเข้ามาภายในอาคาร ระบบจะทำการโทรศัพท์อัตโนมัติไปยังหมายเลขโทรศัพท์ที่ทำการบันทึกเอาไว้ล่วงหน้า พร้อมทั้งส่งสัญญาณเสียงแจ้งเหตุร้ายที่เกิดขึ้น โดยหมายเลขโทรศัพท์และข้อความเสียงแจ้งเหตุสามารถเปลี่ยนแปลงได้โดยเปลี่ยนแปลงได้โดยผู้ใช้



เอกสารนี้เป็นเอกสารที่สงวนไว้สำหรับการใช้งานเพื่อการศึกษาเท่านั้น ไม่อนุญาตให้นำไปใช้ประโยชน์ด้านการค้า  
ไม่ว่ากรณีใดๆ ทั้งสิ้น อีกทั้งห้ามมิให้ดัดแปลงเนื้อหา และต้องอ้างอิงถึงเจ้าของเอกสารทุกครั้งที่มีการนำไปใช้

## บทที่ 2 ทฤษฎีหรือหลักการ

### 2.1 ระบบโทรศัพท์

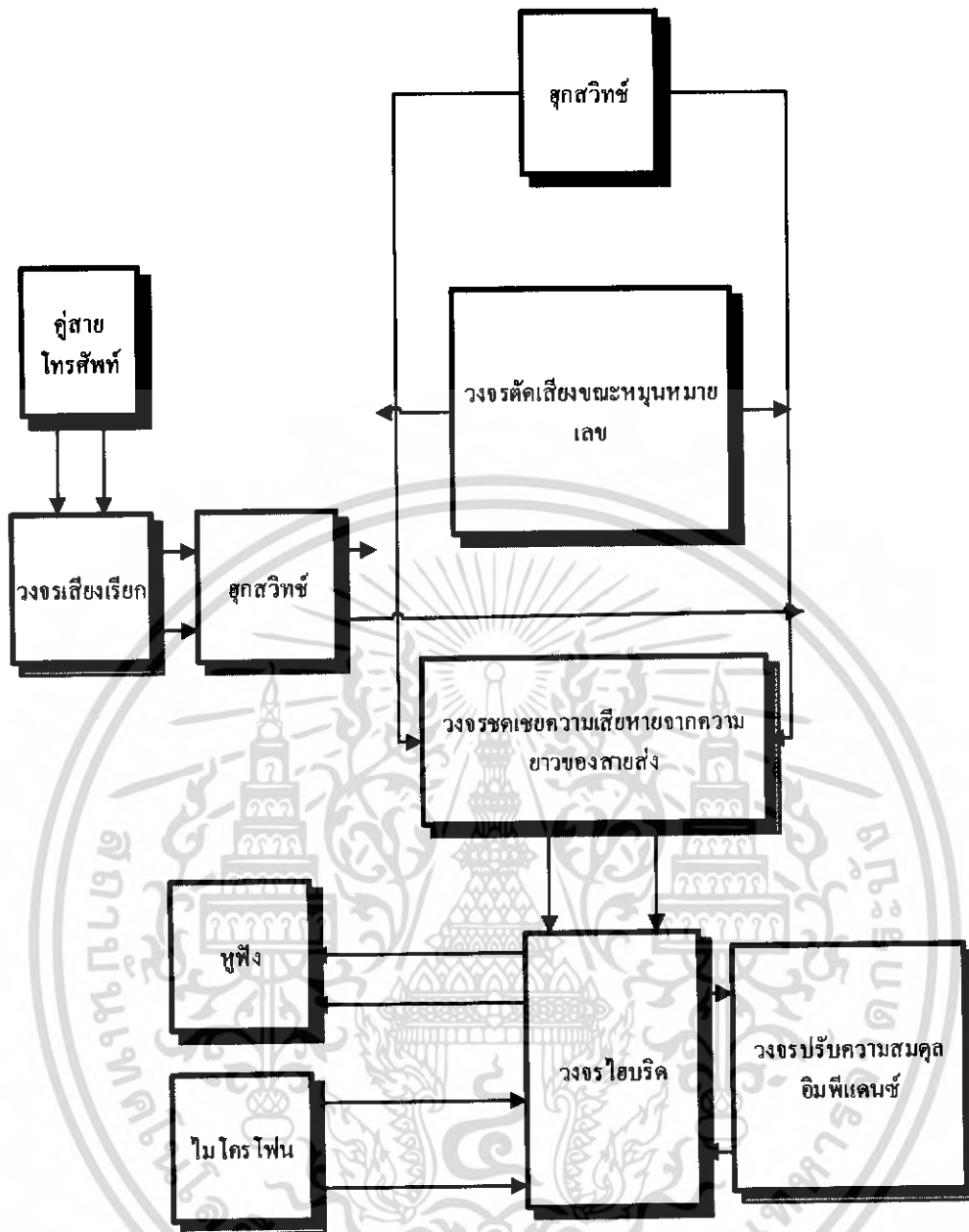
ระบบโทรศัพท์ คือ ระบบสื่อสารที่มีโครงข่ายชุมสายบริการและผู้รู้เลขหมายสมาชิกให้สามารถเรียกสลับคู่สนทนาต่างๆ โดยลดการเดินทางที่ไม่จำเป็นลงได้

โทรศัพท์ที่ใช้อยู่ในปัจจุบันมี 2 ระบบคือ ระบบ Cross bar (หน้าปัดแบบหมุน) ซึ่งเป็นระบบเดิมที่ใช้แต่แรก กับระบบ DTMF (หน้าปัดแบบกดปุ่ม) Dual Tone Multi Frequency เป็นระบบใหม่ที่นำมาใช้แทนที่สำหรับข้อดีที่จะนำเสนอต่อไป และในที่นี้จะเน้นเฉพาะระบบ DTMF ซึ่งเป็นระบบที่ใช้มากในปัจจุบันในระบบโทรศัพท์จะประกอบด้วย

1. การเรียกทางโทรศัพท์ (Telephone call) คือ การเรียกผ่านระบบโทรศัพท์ระหว่างสมาชิกผู้เรียกและผู้รับ
2. เครื่องโทรศัพท์ (Telephone set) คือ อุปกรณ์สำหรับสมาชิกใช้พูดและฟังในการสนทนาโครงข่ายโทรศัพท์ เมื่อต้องการเรียกก็หมุนหรือกดหมายเลขผู้รับที่หน้าปัด
3. ผู้เรียก (Calling subscriber) หรือ สมาชิกผู้เรียก คือ ผู้เริ่มต้นการเรียกจะด้วยการแจ้งให้พนักงานช่วยต่อกับผู้รับ หมุนหรือกดหมายเลขของผู้รับเมื่อเครื่องโทรศัพท์นั้นเป็นคู่สายของเครื่องชุมสายอัตโนมัติ
4. ผู้รับ (Called subscriber) สมาชิกผู้ถูกเรียก คือ ผู้ตอบรับการเรียกทางโทรศัพท์เมื่อได้ยินสัญญาณกริ่งเรียก (Ringing signal)
5. คู่สายสมาชิก (Subscriber line) คือ คู่ตัวนำกระแสไฟฟ้าที่เปลี่ยนมาจากเสียงพูดแจกจ่ายออกมาจากสถานี ที่ติดตั้งเครื่องชุมสายท้องถิ่นไปยังบ้านของผู้เช่า หรือสมาชิกแต่ละรายอย่างอิสระ
6. เครื่องชุมสายโทรศัพท์ (อัตโนมัติ) (Automatic telephone switching) คือ เครื่องที่ทำหน้าที่ต่อสลับคู่สายระหว่างสมาชิกผู้เรียกกับผู้รับโดยอัตโนมัติ

### 2.2 การทำงานของโทรศัพท์

โทรศัพท์จะมี แผนภูมิ (Block diagram) การทำงานดังรูปที่ 2.1 ซึ่งแสดงส่วนต่างๆ ที่จำเป็นในเครื่องโทรศัพท์ โดยจะเชื่อมต่อด้วยสาย T (Tip) และสาย R (Ring) วงจรแรกที่เชื่อมต่อระหว่างวงจรภายในเครื่องโทรศัพท์กับอุปกรณ์ของชุมสายก็คือ วงจรกำเนิดสัญญาณเรียก (Ringer) ซึ่งจะส่งสัญญาณเรียก (Ringing signal) เมื่อมีการติดต่อมาจากผู้อื่น เหตุผลประการสำคัญที่ต้องนำวงจรนี้มาเชื่อมต่อกับชุมสายโดยตรงคือ เมื่อวงหุโทรศัพท์ไว้กับที่วางตามปกติ สุกสวิทช์ (Switch hook) จะถูกเปิดวงจรออกทำให้ไม่มีแรงดันจากชุมสายผ่านไปยังวงจรส่วนที่อยู่หลังสุกสวิทช์ได้ ดังนั้นถ้าวงจรมกำเนิดสัญญาณเรียกอยู่หลังจากสุกสวิทช์ก็จะสามารถสร้างสัญญาณเรียกได้ในเวลาที่มีผู้ติดต่อเข้ามา



รูปที่ 2.1 แสดงบล็อกไดอะแกรมของโทรศัพท์

เมื่อมีการยกหูโทรศัพท์ขึ้นสุกสวิทช์ก็จะเปิดวงจรทำให้มีกระแสจากชุมสายไหลครบวงจรผ่านเครื่องโทรศัพท์ได้ ในขณะที่เดียวกันกระแสค่าเดียวกันนี้ก็ไหลผ่านขดลวดรีเลย์ที่ชุมสายด้วยก็จะทำให้หน้าสัมผัสของรีเลย์ที่ชุมสายถูกปิดลง เพื่อที่จะให้อุปกรณ์ต่างๆ ในชุมสายพร้อมที่จะทำการติดต่อกับโทรศัพท์ได้ จากนั้นชุมสายก็จะส่ง สัญญาณหมุน (Dial tone) ไปยังผู้ที่ยกหูโทรศัพท์เพื่อให้ผู้นั้นส่งหมายเลขโทรศัพท์ของผู้ที่ต้องการติดต่อด้วยมายังชุมสายหลังจากที่ชุมสายได้รับหมายเลขที่ถูกส่งออกมาแล้ว ชุมสายก็จะเลิกส่งสัญญาณหมุนซึ่งกระบวนการตอนนี้จะเกิดขึ้นอย่างรวดเร็ว

เอกสารนี้เป็นเอกสารที่สงวนไว้สำหรับการใช้งานเพื่อการศึกษาเท่านั้น ไม่อนุญาตให้นำไปใช้ประโยชน์ด้านการค้าไม่ว่ากรณีใดๆ ทั้งสิ้น อีกทั้งห้ามมิให้ดัดแปลงเนื้อหา และต้องอ้างอิงถึงเจ้าของเอกสารทุกครั้งที่มีการนำไปใช้

### 2.3 สัญญาณโทรศัพท์

ปัจจุบันการติดต่อสื่อสารได้เข้ามามีบทบาทอย่างมากในชีวิตประจำวัน และเครื่องมือในการติดต่อสื่อสารสำคัญมากอย่างหนึ่งคือ โทรศัพท์ เครื่องโทรศัพท์ที่เห็นกันอยู่ทั่วไปโดยมากเป็นแบบกดปุ่ม เครื่องโทรศัพท์ชนิดนี้จะทำงานโดยส่งสัญญาณที่มีความถี่ที่อยู่ในย่านความถี่เสียง ในการกดแต่ละหมายเลขครั้งหนึ่งจะมีการส่งสัญญาณเสียงที่ได้มาจากมอดูเลต (Modulate) สัญญาณที่มีความถี่แตกต่างกัน 2 สัญญาณออกไปยังชุมสายโทรศัพท์ หรือที่เรียกสัญญาณดีทีเอ็มเอฟ (Dual Tone Multi Frequency) สัญญาณต่างๆ ที่ชุมสายโทรศัพท์ส่งมาตามคู่สายโทรศัพท์จะเป็นสัญญาณแจ้งให้ผู้ใช้ทราบถึงสถานะการใช้งานโทรศัพท์ โดยสัญญาณนี้แบ่งออกเป็น 4 ประเภท

1. สัญญาณพร้อมหมუნ (Dial Tone) เป็นสัญญาณที่ทางชุมสายใช้แจ้งไปยังผู้ใช้โทรศัพท์ว่า อุปกรณ์ต่างๆ ในชุมสายพร้อมที่จะทำการต่อโทรศัพท์ให้กับผู้ใช้โทรศัพท์
2. สัญญาณเรียกกลับ หรือ สัญญาณแจ้งว่าสายว่าง (Ringback Tone) เป็นสัญญาณที่บอกให้ผู้เรียกใช้ทราบว่า สายของผู้ที่ถูกเรียกว่าง และกำลังทำการเรียกอยู่
3. สัญญาณกระดิ่ง (Ringing Tone) เป็นสัญญาณที่ทางชุมสายส่งไปยังเครื่องผู้รับเพื่อบอกให้ทราบว่า ขณะนี้มีการติดต่อมา
4. สัญญาณสายไม่ว่าง (Busy Tone) เป็นสัญญาณที่บอกให้ผู้เรียกใช้ทราบว่าไม่สามารถติดต่อกับเครื่องรับโทรศัพท์เลขหมายที่กำลังติดต่อในขณะนั้นได้

ตารางที่ 2.1 แสดงลักษณะของสัญญาณต่างๆ ที่ใช้ในการแจ้งสถานะการใช้งานทางโทรศัพท์

ชนิดของสัญญาณ	การส่งสัญญาณ	ความถี่สัญญาณ(เฮิรตซ์)
สัญญาณพร้อมหมუნ	ต่อเนื่องไม่ขาดหาย	350 มอดูเลตกับ 440
สัญญาณเรียกกลับ	ดั่ง 2 วินาที เียบ 4 วินาที	25
สัญญาณกระดิ่ง	ดั่ง 2 วินาที เียบ 4 วินาที	440 มอดูเลตกับ 620
สัญญาณแจ้งว่าสายไม่ว่าง	* ขาดหาย 30 ครั้งต่อนาทีเมื่อสายในชุมสายไม่ว่าง * ขาดหาย 60 ครั้งต่อนาทีเมื่อเครื่องรับโทรศัพท์ที่ต้องการติดต่อถูกใช้งานอยู่ * ขาดหาย 120 ครั้งต่อนาทีเมื่อพรีงค์ไม่ว่าง	480 มอดูเลตกับ 620

หมายเหตุ พรีงค์ หมายถึง อุปกรณ์ที่ใช้ในการสับสวิตช์ระหว่างคู่สายโทรศัพท์ ระดับสัญญาณระหว่างคู่สายโทรศัพท์นั้น มีทั้งสัญญาณที่เป็นไฟกระแสตรง (DC) และสัญญาณที่เป็นไฟกระแสสลับ (AC) ซึ่งระดับแรงดันไฟฟ้าของสัญญาณระหว่างคู่สายจะแตกต่างกันไป

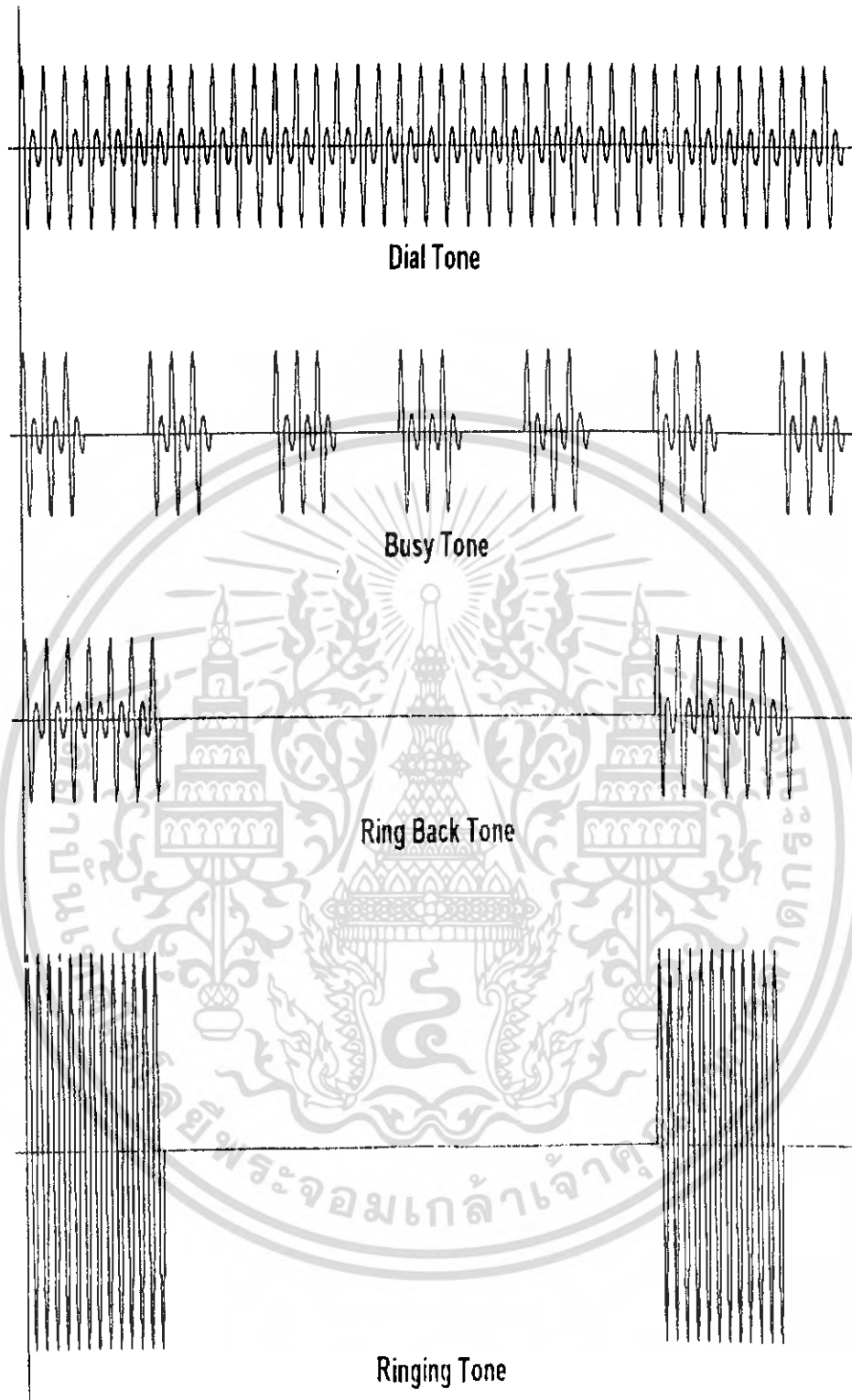
## 2.4 การติดต่อกันระหว่างเครื่องส่งและเครื่องรับโทรศัพท์

### 2.4.1 เครื่องส่ง

1. ขณะที่ไม่ได้มีการยกหูโทรศัพท์จะมีศักดาตกคร่อมสายโทรศัพท์เป็นสัญญาณกระแสตรง 48V.
2. เมื่อมีผู้เรียกยกหูโทรศัพท์ศักดาจะลดลงเหลือ 8 V. พร้อมทั้งมีสัญญาณให้หมุนซึ่งเป็นสัญญาณกระแสสลับขนาด 250 mV ความถี่ 400 Hz กับความถี่ประมาณ 50 Hz ซึ่งเมื่อครบห้าสัญญาณความถี่แล้วสัญญาณให้หมุนนี้จะหายไป
3. กดรหัส (Code) เบอร์โทรศัพท์ทั้งหมด 7 รหัส รหัสความถี่ที่ส่งจะเป็นสัญญาณผสมกันสองความถี่เป็นความถี่สูงและต่ำผสมกัน แต่ละหมายเลขจะมี DTMF อยู่หนึ่งคู่
4. ขณะที่รอรับจะมีสัญญาณตอบกลับสองแบบ เพื่อจะบอกว่าสายว่างหรือไม่คือ สัญญาณเรียกกลับหรือสัญญาณสายไม่ว่าง ตามลำดับ
5. เมื่อมีการรับสายแล้ว สัญญาณจะขึ้นกับความดังของเสียงพูดตามสาย
6. เมื่อวางหูโทรศัพท์เลิกการติดต่อ ขนาดศักดาจะกลับไป 48V ดังเดิม

### 2.4.2 เครื่องรับ

1. ขณะที่วางหูจะมีศักดาแรงดันตกคร่อมสายอยู่ 48V. เมื่อมีสัญญาณกริ่งเรียกจะมีขนาดประมาณ 100Vrms จังหวะคง 1 วินาทีหยุด 4 วินาที ซึ่งจะตรงกับสัญญาณเรียกกลับที่เครื่องส่ง
2. จากนั้นเมื่อผู้รับยกหูโทรศัพท์ขนาดศักดากระแสตรงจะเหลือ 8V. และมีการกระเพื่อมตามขนาดและความถี่ของเสียงพูด
3. เมื่อสิ้นสุดการสนทนา วางหูโทรศัพท์ ขนาดศักดาจะกลับไป 48V. ตามเดิม

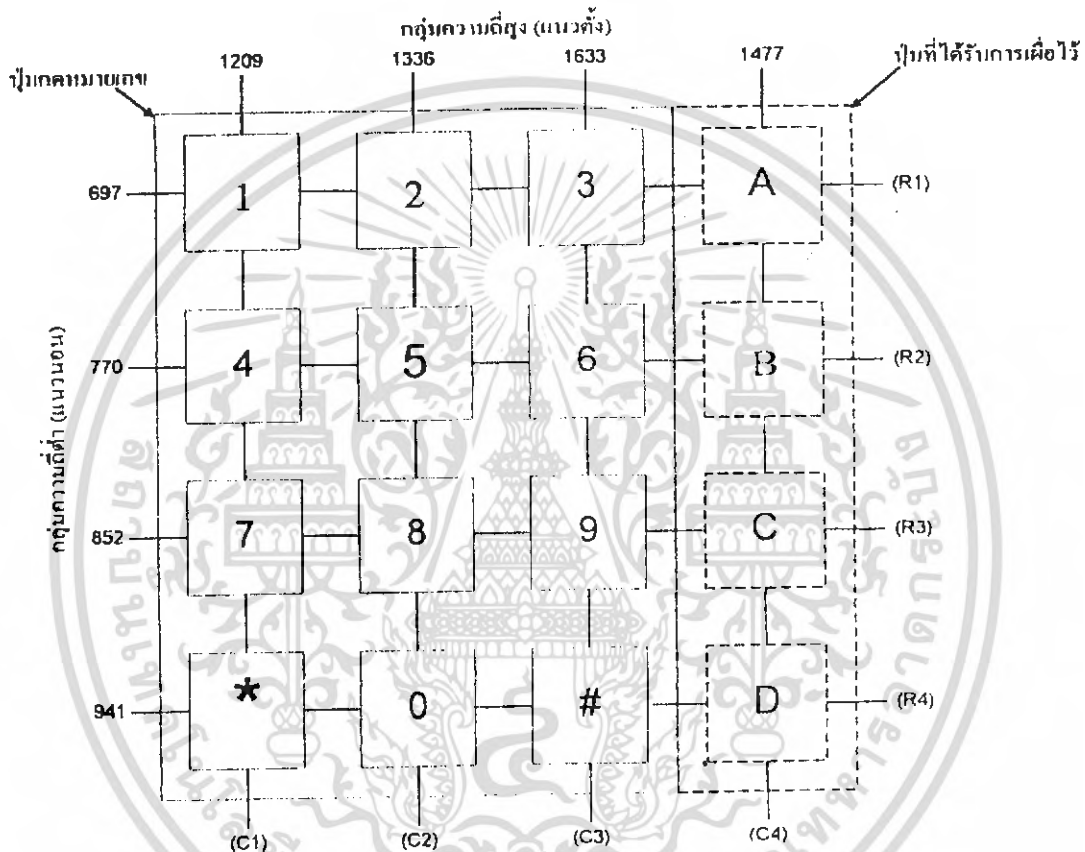


รูปที่ 2.2 แสดงสัญญาณโทรศัพท์

เอกสารนี้เป็นเอกสารที่สงวนไว้สำหรับการใช้งานเพื่อการศึกษาเท่านั้น ไม่อนุญาตให้นำไปใช้ประโยชน์ด้านการค้าไม่ว่ากรณีใดๆ ทั้งสิ้น อีกทั้งห้ามมิให้ดัดแปลงเนื้อหา และต้องอ้างอิงถึงเจ้าของเอกสารทุกครั้งที่มีการนำไปใช้

## 2.5 ระบบโทรศัพท์แบบส่งความถี่คู่ (DUAL TONE MULTI FREQUENCY TYPE)

ระบบนี้มีวิธีการส่งหมายเลขของผู้ที่ต้องการจะติดต่อด้วย โดยการส่งสัญญาณความถี่ 2 ความถี่ มอดูเลตกันไป ซึ่งจะเป็นตัวแทนหมายเลขที่กดซึ่งความถี่ที่ถูกส่งออกไปอยู่ในย่านความถี่เสียงพูด 0-4 KHz ซึ่งค่าความถี่ที่ต่ำกว่าจะเป็นความถี่ที่แสดงในแนวนอน และอีกค่าหนึ่งก็จะเป็นความถี่ในแนวตั้ง ซึ่งค่าต่างๆ จะแสดงไว้ในรูป 2.3 ตัวอย่างเช่น เมื่อมีการกดหมายเลข 5 ก็จะมีความถี่ 770 Hz และ 1336 Hz มอดูเลตกันออกมา



รูปที่ 2.3 แสดงเป็นกดหมายเลขและค่าถี่ในแนวนอนและแนวตั้งของหมายเลขนั้น ๆ

เอกสารนี้เป็นเอกสารที่สงวนไว้สำหรับการใช้งานเพื่อการศึกษาเท่านั้น ไม่อนุญาตให้นำไปใช้ประโยชน์ด้านการค้า ไม่ว่าจะกรณีใดๆ ทั้งสิ้น อีกทั้งห้ามมิให้ดัดแปลงเนื้อหา และต้องอ้างอิงถึงเจ้าของเอกสารทุกครั้งที่มีการนำไปใช้

## 2.6 ข้อดีของการใช้โทรศัพท์แบบกดปุ่ม DTMF

1. สามารถลดเวลาในการหมุนหมายเลขลงได้ ทำให้มีผลคือ เวลาเฉลี่ยที่ใช้โทรศัพท์แต่ละครั้งลดลง ซึ่งทำให้ชุมสายโทรศัพท์สามารถรับ traffic ได้มากขึ้น
2. สามารถใช้วงจรทาง solid state electronic แทนอุปกรณ์ทางด้าน mechanic จึงทำให้ความรวดเร็วและแม่นยำในการส่งหมายเลขมากขึ้น
3. สามารถเพิ่มปุ่มกดขึ้นได้อีก 4 ปุ่ม (Column ที่ 4) เพื่อใช้ในการส่งสัญญาณการบริการประเภทอื่นๆ
4. มีความเหมาะสมที่จะใช้กับชุมสายระบบ Stored Program Control

## 2.7 การเข้ารหัสและถอดรหัสความถี่ของโทรศัพท์ระบบ DTMF

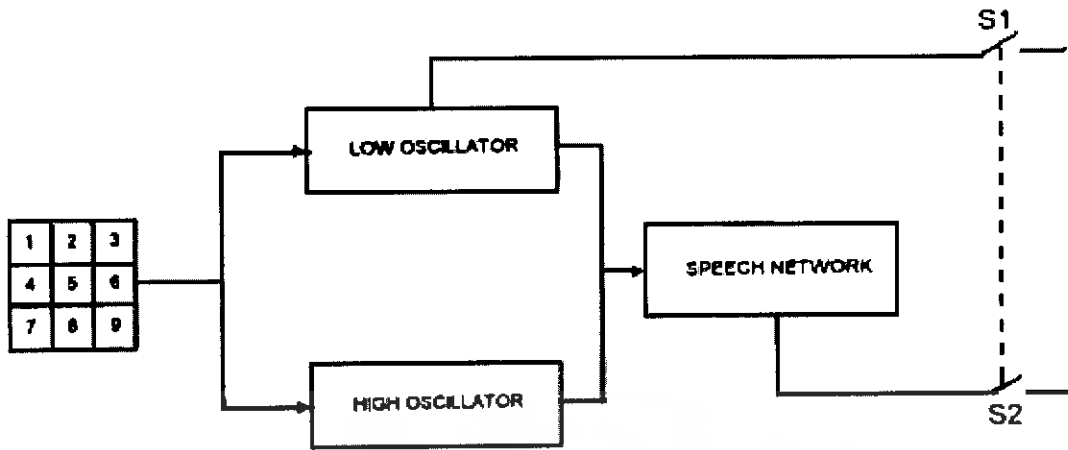
### 2.7.1 การเข้ารหัสความถี่ระบบ DTMF (Dual Tone Multi Frequency encoder)

ระบบโทรศัพท์แบบ DTMF นี้จะใช้การส่งสัญญาณไปบนสายส่งของระบบโทรศัพท์โดยจะมีข้อดีเหนือระบบพัลส์หลายอย่าง เช่น หมุนโทรศัพท์ที่รวดเร็วกว่า และสามารถที่จะส่งสัญญาณไปบนสายส่งเสียงระดับใดๆ ก็ได้ วิธีนี้เป็นการส่งสัญญาณแถบความถี่เสียงที่แตกต่างกัน 16 ค่าโดยแต่ละค่าจะเป็นสัญญาณคลื่นรูปไซน์ 2 แบบ แบ่งเป็น กลุ่มความถี่ต่ำ และ กลุ่มความถี่สูงและจะมีลักษณะแสดงดังตาราง 2 ข้างล่างนี้

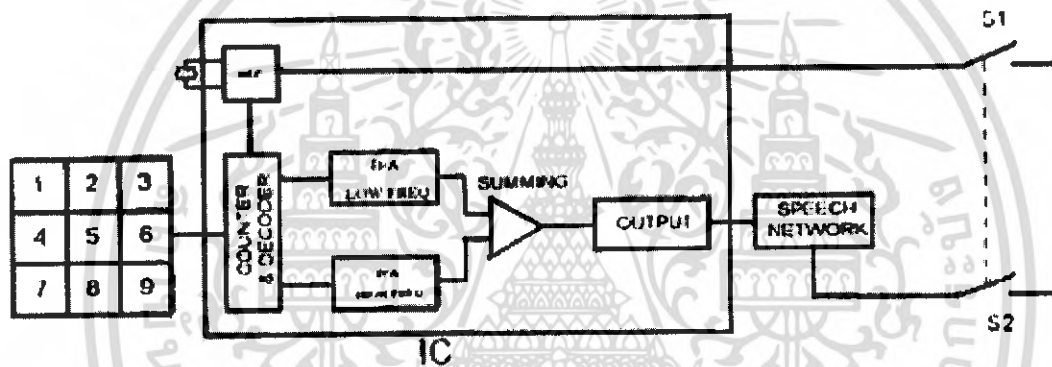
ตารางที่ 2.2 แสดงความถี่ระบบ DTMF

กลุ่มของความถี่ต่ำ (Hz)	กลุ่มของความถี่สูง (Hz)			
	1209	1336	1477	1633
697	1	2	3	A
770	4	5	6	B
852	7	8	9	C
941	*	0	#	D

ภาคนี้อาจเรียกได้ว่า การโทรออกอัตโนมัติ จะใช้การส่งงานจากไมโครคอนโทรลเลอร์โดยออกมาที่พอร์ท แล้วส่งสัญญาณไบนารีไปที่ IC 74LS154 ซึ่งเป็นตัวทำหน้าที่เข้ารหัสสัญญาณโดยจะเปลี่ยนเป็นเลขฐานไบนารี 4 บิต เป็นเลขฐานสิบ แล้วส่งไปที่ IC 4066 ทำหน้าที่สวิตช์ปิดเปิดให้ขา Row กับขา Column ของ IC TCM 5087 จะเป็นตัวกำเนิดสัญญาณความถี่ค่าต่างๆ เพื่อใช้ในการโทรออกแล้วนำสัญญาณที่ได้นี้ไปเชื่อมต่อ Line Telephone เพื่อส่งออกไป ดังรูป 2.4



รูปที่ 2.4 ก แผนภาพแสดงของระบบ DTMF อุปกรณ์จำพวกพาสซีฟ



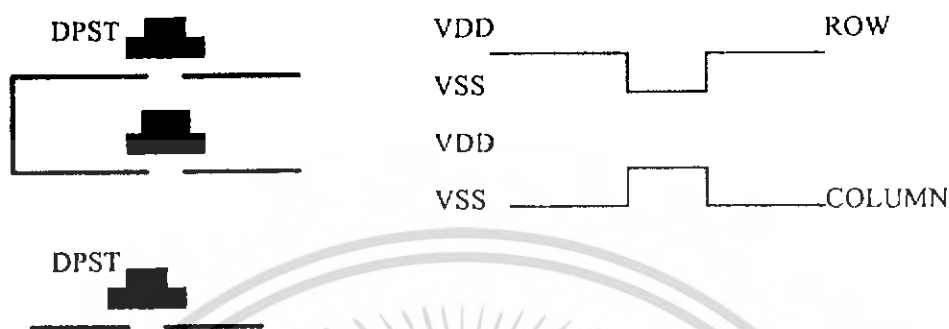
รูปที่ 2.4 ข แผนภาพแสดงของระบบ DTMF ไอซีสำเร็จรูป

ในรูปที่ 2.4 ก. เป็นแผนภาพแสดงของการส่งสัญญาณแบบ DTMF โดยใช้อุปกรณ์จำพวกพาสซีฟ (Passive Element) ในการนำมาสร้างวงจรออสซิลเลเตอร์ซึ่งเราจะพบปัญหาว่าอุปกรณ์เหล่านี้จะมีความคลาดเคลื่อนเนื่องจากสภาพแวดล้อมที่เปลี่ยนไป และอายุการใช้งาน ซึ่งจะส่งผลให้ความถี่ที่ผลิตออกมาความคลาดเคลื่อนไปด้วยทำให้มีความผิดพลาดเกิดขึ้นได้ในการทำงาน

ดังนั้นการสร้างไอซีสำเร็จรูปมาใช้แทนอุปกรณ์พาสซีฟย่อมที่จะแก้ปัญหานี้ได้ในระดับหนึ่ง ในรูปที่ 2.4 ข. เป็นแผนภาพแสดงของไอซีที่นำมาใช้สร้างสัญญาณในระบบ DTMF ซึ่งวงจรภายในจะประกอบด้วยวงจรเลขแต่ละครั้งจะตรงกับตำแหน่งใดบ้างในแนวแถวและแนวคอลัมน์ เมื่อทำการถอดรหัสจากการกดได้แล้วก็นำค่าในแนวแถว และแนวคอลัมน์ไปหารจากค่าความถี่หลัก สัญญาณที่ออกจากวงจรนับและถอดรหัสจะเป็นสัญญาณดิจิทัล สัญญาณที่มีความแตกต่างกันจากนั้นนำไปผ่านวงจรแปลงสัญญาณดิจิทัล ไปเป็นอนาล็อกและนำมารวมกันโดยการนำไปผ่านวงจรรวมและขยายสัญญาณ (Summing Amp) แล้วจึงถูกส่งผ่านไปยังวงจรควบคุมเสียงพูด (Speech Network) และผ่านต่อไปยัง

เอกสารนี้เป็นเอกสารที่สงวนไว้สำหรับการใช้งานเพื่อการศึกษาเท่านั้น ไม่อนุญาตให้นำไปใช้ประโยชน์ด้านการค้าไม่ว่ากรณีใดๆ ทั้งสิ้น อีกทั้งห้ามมิให้ดัดแปลงเนื้อหา และต้องอ้างอิงถึงเจ้าของเอกสารทุกครั้งที่มีการนำไปใช้

ขุมสายโทรศัพท์ในที่สุด ไอซีอาจจะถูกออกแบบมาใช้ร่วมกับเป็นปุ่มหมายเลขชนิด SPST (Single-Pole Single-Throw) ก็ได้ดังรูปที่ 2.5

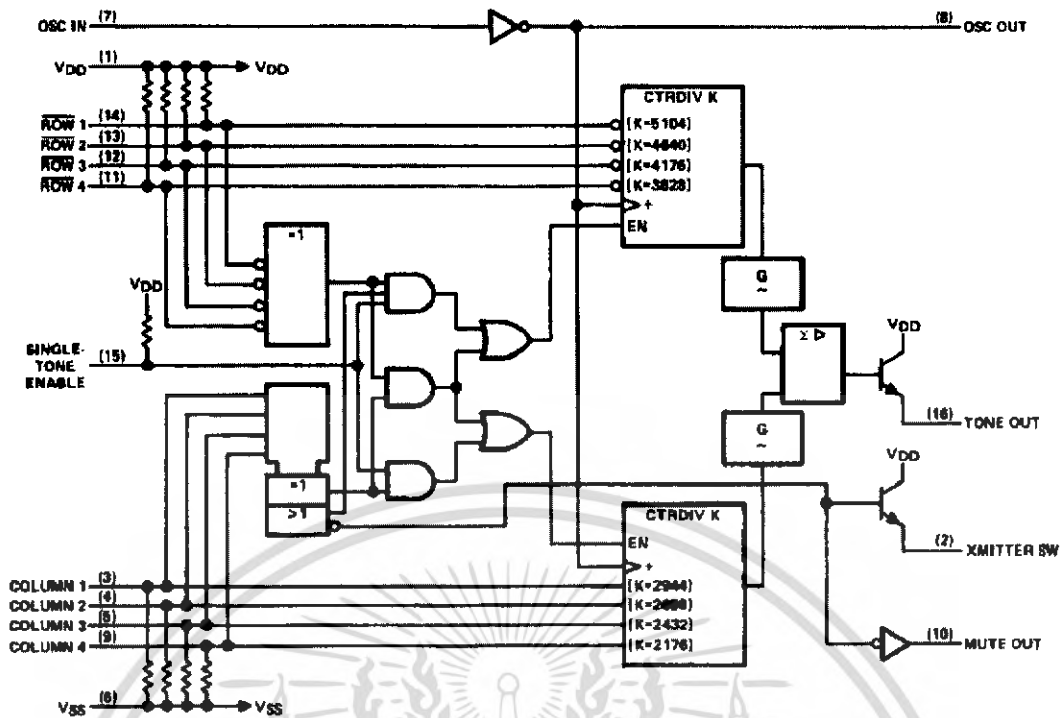


\*\* DPST (dual-pole single throw) ซึ่งเป็นสวิตช์ที่มีสัมผัส 2 ท่อน

### รูปที่ 2.5 แสดงชนิดของปุ่มกดและรูปสัญญาณ

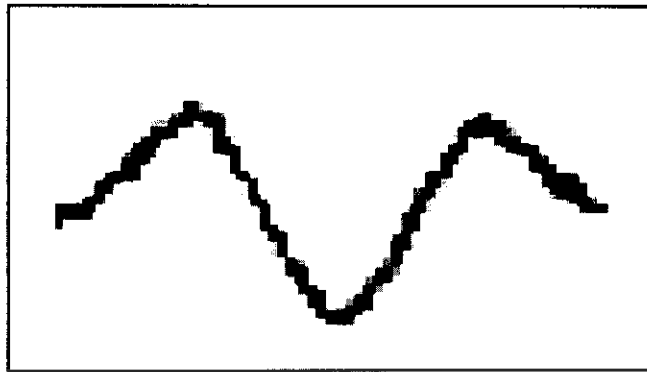
รูปที่ 2.5 เป็นแผนภาพและรูปสัญญาณเมื่อมีการกดปุ่มเลขใดๆ จะสังเกตว่าในการถอดรหัสของแถวแถวจะทำงานที่ลอจิก “0” แต่ในแนวคอลัมน์จะทำงานที่ลอจิก “1” วงจรภายในและขั้นตอนการส่งสัญญาณ

ในรูปที่ 2.6 เป็นแผนภาพแสดงของวงจรภายในไอซีเบอร์ TCM5087 (MK 5087) จะเห็นว่าวงจรภายในจะประกอบด้วยวงจรถอดรหัส ลอจิกเกตและวงจรหารความถี่ (วงจรรนับ) หรือ CTRDTV K การทำงานจะเริ่มเมื่อมีการกดหมายเลขโทรศัพท์จะทำให้มีสัญญาณแถว และสัญญาณคอลัมน์เกิดขึ้นและขาสัญญาณ Single Tone Enable จะต้องถูกทำให้แอกทีฟ (Active) สัญญาณแถวและคอลัมน์จะถูกนำไปเลือกค่า K เพื่อนำไปเป็นตัวหารสัญญาณจากวงจรออสซิลเลเตอร์หลัก ซึ่งจะเลือกใช้ค่าความถี่จากวงจร CTRDIV K เพื่อนำไปเป็นตัวหารสัญญาณจากวงจรออสซิลเลเตอร์หลัก ซึ่งจะเลือกใช้ค่าความถี่จากวงจรออสซิลเลเตอร์ให้มีค่า 3.5579545 MHz โดยจะหารด้วยค่า K จากวงจร CTRDIV K ทั้ง 2 วงจรสำหรับลอจิกเกตนั้นถูกนำมาใช้ในการตรวจสอบเพื่อให้แน่ใจว่าการกดปุ่มหมายเลขแต่ละครั้งเป็นการกดเพียงปุ่มเดียวจริงๆ เมื่อตรวจได้ว่าไม่มีการกดปุ่มในเวลาเดียวกันมากกว่า 1 ปุ่มจึงค่อยเอาสัญญาณลอจิกจากส่วนนี้ไปเป็นสัญญาณอินาเบิล (Enable) ให้แก่วงจร CTRDIV K ทั้ง 2 วงจร

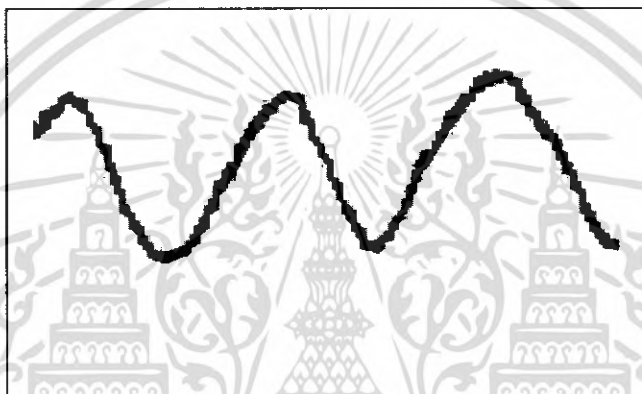


รูปที่ 2.6 แผนภาพแสดงวงจรภายในไอซีเบอร์ TCM 5087

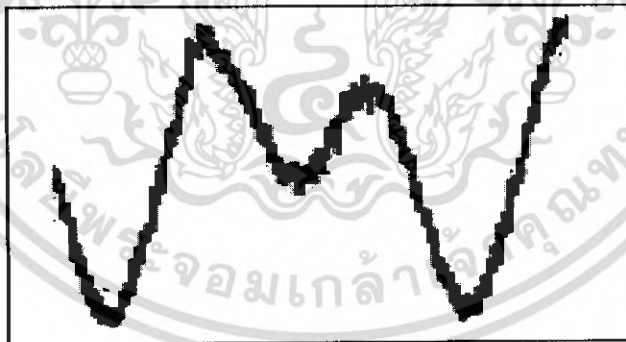
ในส่วนขงลอจิกที่มาจากบัส >1 หมายความว่า เมื่อใดก็ตามที่มีการกดปุ่มหมายเลขใดๆ จะเป็นการสัญญาณไปยังขา 10 (Mute out) ซึ่งจะควบคุมให้มีสัญญาณจากวงจรบวกและขยายสัญญาณผ่านเข้าสู่หูฟังในระดับที่เหมาะสม ส่วนสัญญาณที่ขา 2 (Trans sw.) จะถูกนำไปใช้ควบคุมไม่ให้วงจรของการส่งสัญญาณเสียงพูดทำงานเมื่อมีการกดปุ่มหมายเลขอยู่ เพื่อป้องกันความผิดพลาดในขณะที่ส่งรหัสหมายเลขขงผู้นั้นเอง ย่อมกลับมาคสัญญาณที่ออกมาจากวงจร CTRDIV K ทั้ง 2 จะถูกนำไปเข้าวงจร D/A เพื่อแปลงเป็นสัญญาณรูปคลื่นไซน์ และ นำมาออกคู่เสกกันโดยใช้วงจรบวกและขยายสัญญาณก็จะแทนหมายเลขที่ถูกดขงผู้นั้นเอง



ก. แทวี่ 7



ข. คอส์มันที่ 8



ค. การรวมสัญญาณทั้งสองเข้าด้วยกัน

รูปที่ 2.7 รูปสัญญาณของระบบ DTMF

ในรูปที่ 2.7 เป็นรูปสัญญาณที่เกิดขึ้นในการส่งหมายเลข 8 ซึ่งวงจรถอดรหัสจะให้ตำแหน่งในแนวแถวที่ 3 และคอลัมน์ที่ 2 สัญญาณที่ออกมาจาก D/A ก็จะเป็นไปตามรูป 2.7 ก. และ รูป 2.7 ข. ในรูป 2.7 ค. เป็นการรวมสัญญาณทั้ง 2 เข้าด้วยกัน จะสังเกตเห็นว่ารูปสัญญาณจะไม่ใช่สัญญาณที่ต่อเนื่องจาก D/A นั่นเองจึงทำให้สัญญาณมีลักษณะเป็นขั้นบันไดแต่ก็ไม่มีผลใดๆ ในการส่งสัญญาณไปยังชุมสาย เอกสารนี้เป็นเอกสารที่สงวนไว้สำหรับการใช้งานเพื่อการศึกษาเท่านั้น ไม่อนุญาตให้นำไปใช้ประโยชน์ด้านการค้า ไม่ว่ากรณีใดๆ ทั้งสิ้น อีกทั้งห้ามมิให้ดัดแปลงเนื้อหา และต้องอ้างอิงถึงเจ้าของเอกสารทุกครั้งที่มีการนำไปใช้

### 2.7.2 การถอดรหัสความถี่ระบบ DTMF (DTMF Decoder)

การถอดรหัสความถี่ทางโทรศัพท์ หมายถึง การแปลงสัญญาณความถี่ซึ่งเกิดจากการกดปุ่มตัวเลขทางโทรศัพท์ชนิดกดปุ่ม (ชนิด Tone หรือ DTMF) ให้เป็นสัญญาณดิจิทัล เพื่อนำไปใช้กับระบบดิจิทัล ข้อกำหนดต่าง ๆ ที่จำเป็นเพื่อที่จะไม่ทำให้การถอดรหัส DTMF เกิดความผิดพลาดขึ้นซึ่งผู้ออกแบบวงจรต้องคำนึงถึงเสมอ มีรายละเอียดดังต่อไปนี้

1. วงจรจะยังสามารถถอดรหัสได้อย่างถูกต้องถึงแม้สัญญาณที่รับเข้ามาจะมีความถี่เบี่ยงเบนไปจากค่าที่กำหนดไว้เป็นมาตรฐาน แต่ต้องไม่เกิน 2% และจะไม่ยอมให้สัญญาณที่มีค่าเบี่ยงเบนมากกว่า 3% จากค่ามาตรฐาน ผ่านวงจรกรองความถี่ได้
2. วงจรถอดรหัสจะสามารถถอดรหัสได้ ก็ต่อเมื่อรับสัญญาณเข้ามามีระยะเวลาอย่างน้อย 40 ms.
3. วงจรถอดรหัสจะทำการถอดรหัสได้ถูกต้องก็ต่อเมื่อสัญญาณ DTMF ที่รับเข้ามาในวงจรจะต้องมีช่วงเวลาที่ห่างกับสัญญาณ DTMF ที่รับเข้ามาก่อนหน้านี้เป็นเวลาอย่างน้อย 35 มิลลิวินาที
4. วงจรถอดรหัสจะต้องสามารถถอดรหัสสัญญาณ DTMF ที่มีไดนามิกเรนจ์สูงกว่า 275 dB ได้โดยไม่เกิดการผิดพลาด และยังสามารถทำงานได้ในกรณีที่สัญญาณทั้ง 2 ความถี่ประกอบกันขึ้นเป็นสัญญาณ DTMF มีแอมพลิจูด ต่างกันมากกว่า 6 dB
5. วงจรถอดรหัสยังคงทำงานได้ตลอดเวลาไม่ว่าขณะจะปรากฏเสียงพูดหรือมีสัญญาณรบกวนจากภายนอกเข้ามายังวงจรถอดรหัสให้ไม่ทำให้การถอดรหัสผิดพลาด

### 2.8 ไมโครคอนโทรลเลอร์ MCS-51

ไมโครคอนโทรลเลอร์แบบชิปเดี่ยว (Single Chip Microcontroller) คือไมโครคอมพิวเตอร์แบบที่มีขนาดเล็กโดยบรรจุไว้ในแผงวงจรรวม (Integrated Circuit) เพียงชิปเดียวเหมาะสำหรับควบคุมอุปกรณ์อื่นๆ โดยอัตโนมัติโดยผู้ใช้งานสามารถเขียน โปรแกรมควบคุมได้ตามต้องการซึ่งไมโครคอนโทรลเลอร์ชิปเดี่ยวตระกูล 51 หรือ MCS-51 ที่เลือกใช้ในโครงการนี้ คือเบอร์ AT89S8252 ของบริษัท ATMEL ซึ่งเป็นไมโครคอนโทรลเลอร์ ที่มีหน่วยความจำโปรแกรม (ROM) ภายในแบบ Flash Memory ขนาด 8 Kbytes ซึ่งเป็นหน่วยความจำที่สามารถเขียนและลบข้อมูลได้ใหม่ถึง 1,000 ครั้งและสะดวกต่อการพัฒนาโปรแกรม

#### 2.8.1 คุณสมบัติของไมโครคอนโทรลเลอร์เบอร์ AT89S8252

ไมโครคอนโทรลเลอร์ AT89S8252 ผลิตโดยบริษัท ATMEL เป็นไมโครคอนโทรลเลอร์ขนาด 8 บิต ซึ่งมีคุณสมบัติที่สำคัญที่สำคัญดังนี้

1. มีหน่วยความจำสำหรับเก็บโปรแกรมควบคุมการทำงานอยู่ภายใน 8Kbytes ซึ่งเพียงพอต่อการทำงานของโครงการนี้
2. มีหน่วยความจำสำหรับเก็บข้อมูลในระหว่างการทำงานของโปรแกรม (Internal RAM) ได้ 256x8 – bit
3. มีหน่วยความจำแบบ EEPROM ซึ่งสามารถเขียนและลบได้ 100,000 ครั้ง ขนาด 2 Kbytes

เอกสารนี้เป็นเอกสารที่สงวนไว้สำหรับการใช้งานเพื่อการศึกษาเท่านั้น ไม่อนุญาตให้นำไปใช้ประโยชน์ด้านการค้าไม่ว่ากรณีใดๆ ทั้งสิ้น อีกทั้งห้ามมิให้ดัดแปลงเนื้อหา และต้องอ้างอิงถึงเจ้าของเอกสารทุกครั้งที่มีการนำไปใช้

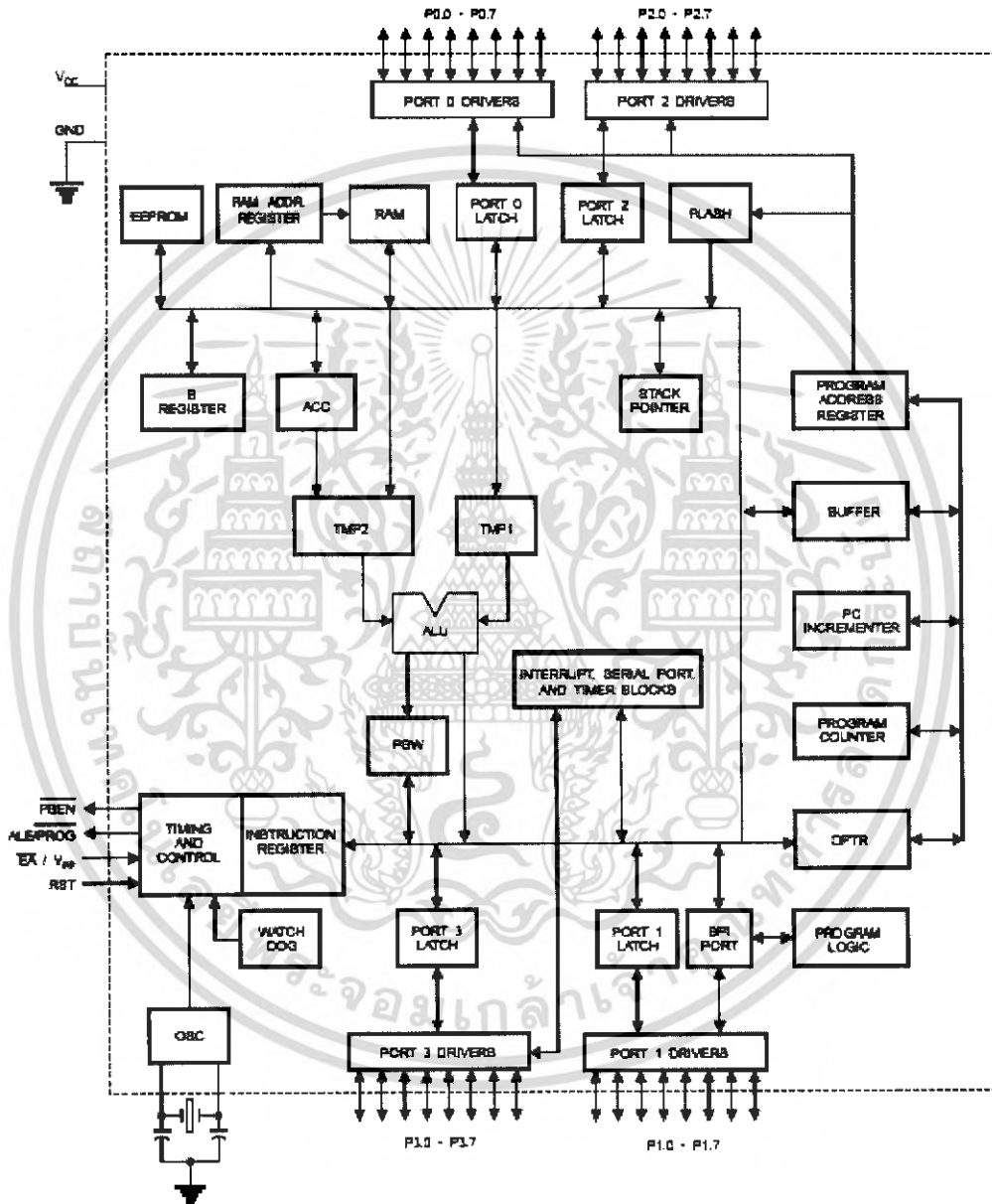
4. ใช้แหล่งจ่ายระหว่าง 4-6 โวลท์
5. ใช้ความถี่ระหว่าง 0-24 MHz
6. มีการติดต่อสื่อสารข้อมูลแบบอนุกรม ( Series) หรือ Universal Asynchronous Receiver Transmitter (UART)
7. มีวงจร Timer /Counter ขนาด 16 บิต 3 ชุด
8. มีการขอขัดจังหวะการทำงานของโปรแกรม (Interrupt Sources) 9 ชุด
9. สามารถเลือกการทำงานให้อยู่ในโหมดของ Idle (การทำงานปกติ) และ Powerdown (การประหยัดพลังงานไฟฟ้า)
10. สามารถโปรแกรมผ่าน SPI (Serial Peripheral Interface)
11. สามารถโปรแกรมแบบ Watchdog Timer

จากคุณสมบัติที่กล่าวถึงทำให้ MCS-51 เป็นที่นิยมใช้ในการควบคุมระบบอัตโนมัติซึ่งบรรจุไว้ในไอซีรวมเดี่ยว (Single Chip) ขนาด 40 ขา ดังนั้นจึงสามารถออกแบบให้ระบบมีขนาดเล็กทำให้ตรวจสอบหาข้อผิดพลาดได้ง่ายรวมถึงการลดต้นทุนการผลิตหากจะต้องมีการผลิตเป็นจำนวนมาก

2.8.2 โครงสร้างของ MCS-51

โครงสร้างภายในของ MCS-51 ประกอบด้วยเกทต่าง ๆ เช่น AND OR และ NOT ซึ่งเกทเหล่านี้ จะถูกออกแบบให้มีหน้าที่การทำงานต่าง ๆ เช่น วงจรถอดรหัสสร้างสัญญาณนาฬิกาโครงสร้างภายใน ของ MCS-51 จะประกอบด้วยส่วนย่อย ๆ ดังบล็อกไดอะแกรมรูปที่ 2.8

Block Diagram



รูปที่ 2.8 บล็อกไดอะแกรมแสดงโครงสร้างของ MCS-51

เอกสารนี้เป็นเอกสารที่สงวนไว้สำหรับการใช้งานเพื่อการศึกษาเท่านั้น ไม่อนุญาตให้นำไปใช้ประโยชน์ด้านการค้า ไม่ว่าจะกรณีใดๆ ทั้งสิ้น อีกทั้งห้ามมิให้ดัดแปลงเนื้อหา และต้องอ้างอิงถึงเจ้าของเอกสารทุกครั้งที่มีการนำไปใช้

จากรูปที่ 2.8 โครงสร้างของ MCS-51 ประกอบด้วย 3 ส่วนใหญ่ๆ คือ

1. CPU (Central Processing Unit) ซึ่งมีส่วนย่อยอีกแต่ละส่วนมีหน้าที่ต่างๆ กัน ได้แก่ ส่วนสร้างสัญญาณควบคุม (Control Unit) ในการติดต่อกับส่วนอื่นๆ ส่วน ประมวลผลทางคณิตศาสตร์ (Arithmetic Unit)
2. หน่วยความจำ (Memory) มีไว้สำหรับจดจำข้อมูล สำหรับไปเก็บไว้และอ่านเอาข้อมูลออกมาจากหน่วยความจำ
3. Input/Output Device ทำหน้าที่ในการรับส่งข้อมูลกับอุปกรณ์ภายนอก

### 2.8.3 การจัดการหน่วยความจำของ MCS-51

หน่วยความจำของ MCS-51 แบ่งออกเป็น 2 แบบ คือ

1. Program Memory เป็นหน่วยความจำที่ใช้สำหรับเก็บ โปรแกรมการทำงานซึ่งจะเป็น ROM (Read Only Memory) เท่านั้นแบ่งเป็นหน่วยความจำภายใน (Internal Memory) ซึ่งจะอยู่ใน MCS-51 เบอร์ 8252 จำนวน 8 กิโลไบต์ ตำแหน่งของหน่วยความจำเนื้อที่ 0000H ถึง 0FFFH และหน่วยความจำภายนอก (External Memory) ตำแหน่งหน่วยความจำจะอยู่ที่ 1FFFH ถึง FFFFH
2. Data Memory แบ่งเป็น 2 ส่วนคือ หน่วยความจำสำหรับเก็บข้อมูลภายในชิพมีเพียง 256 ไบต์สำหรับเบอร์ 8252 หน่วยความจำข้อมูลภายนอกชิพมีความจุ 64 กิโลไบต์

### 2.8.4 สถาปัตยกรรมของ MCS-51

สถาปัตยกรรมภายในของ MCS-51 ซึ่งจะอธิบายถึงส่วนย่อยๆ ภายใน MCS-51 เพียงชิพเดียว ดังรูปที่ 2.8 และสัญญาณจากภายในจะต่อออกมาสู่ภายนอกทางขา (Pin) ต่างๆ ของ MCS-51 ที่มีอยู่ 40 ขา ไมโครคอนโทรลเลอร์ MCS-51 บรรจุอยู่ใน ไอซีวงจรรวมแบบ Dual Inline Package (DIP) มีขาอยู่ข้างละ 20 ขารวมทั้งหมด 40 ขานั้นจะใช้งานต่าง ๆ กันดังนี้

1. Vcc ขา 40 เป็นขาที่ต้องป้อนไฟเลี้ยง +5V
2. Vcc ขา 20 เป็นขาที่ต่อกับกราวด์
3. Port 0 เป็นพอร์ตขนาน 8 บิตอยู่ที่ขา 39 ถึง 32 เริ่มจากบิต 0 ถึง บิต 7 ตามลำดับ (P0.0-P0.7) พอร์ต 0 นี้ใช้ได้ทั้งการรับและส่งตำแหน่งและข้อมูลกับหน่วยความจำหรือใช้เป็นพอร์ตรับ-พอร์ตส่งข้อมูล
4. Port 1 เป็นพอร์ตขนาน 8 บิต คือ ขา P1.0 ถึง P1.7 (ขา 1-8) ใช้ทำหน้าที่รับส่งข้อมูลเท่านั้น
5. Port 2 อยู่ที่ขา 21 ถึง 28 เป็นพอร์ตขนาน 8 บิต คือ ขา P2.0 ถึง P2.7 ใช้งาน 2 ลักษณะ คือ ใช้ส่งค่าตำแหน่งหน่วยความจำภายนอก ค่าตำแหน่งนี้เป็น 8 บิตของค่าตำแหน่งและใช้เป็นพอร์ตรับและส่งข้อมูลกับภายนอก
6. Port 3 คือ ขา P3.0 ถึง P3.7 (ขา 10-17) พอร์ตนี้ทำหน้าที่เป็น I/O Port และอีกหน้าที่หนึ่ง คือ ส่งสัญญาณควบคุมออกมาและรับสัญญาณเข้าไป สัญญาณต่างๆ แต่ละบิตมีดังนี้

เอกสารนี้เป็นเอกสารที่สงวนไว้สำหรับการใช้งานเพื่อการศึกษาเท่านั้น ไม่อนุญาตให้นำไปใช้ประโยชน์ด้านการค้า ไม่ว่าจะกรณีใดๆ ทั้งสิ้น อีกทั้งห้ามมิให้ดัดแปลงเนื้อหา และต้องอ้างอิงถึงเจ้าของเอกสารทุกครั้งที่มีการนำไปใช้

- P3.0/RXD (Serial Input Port ) เป็นขาที่ใช้รับข้อมูลแบบอนุกรม (UART)
- P3.1/TXD (Serial Output Port ) เป็นขาที่ใช้ส่งข้อมูลแบบอนุกรม (UART)
- P3.2/INT0 (External Interrupt 0) ใช้รับสัญญาณขัดจังหวะจากภายนอกเบอร์ 0
- P3.3/INT1 (External Interrupt 1) ใช้รับสัญญาณขัดจังหวะจากภายนอกเบอร์ 1
- P3.4/T0 (Counter0 External Input) ขารับสัญญาณพัลส์อินพุตเข้าไปยังวงจร Counter 0 (เป็น

อินพุตโหมคเคาน์เตอร์)

- P3.5 T1 (Counter1 External Interrupt) ขารับสัญญาณพัลส์อินพุตเข้าไปยังวงจร Counter 1 (เป็นอินพุตโหมคเคาน์เตอร์)

- P3.6/WR (External Data Memory Write Strobe) ขาสัญญาณใช้ในการเขียนข้อมูลลงหน่วยความจำข้อมูลภายนอก

- P3.7/RD (External Data Memory Read Strobe) ขาสัญญาณควบคุมการอ่านข้อมูลลงหน่วยความจำข้อมูลภายนอก

- RST ขา 9 ใช้สำหรับรีเซ็ตการทำงานของ MCS-51

- ALE (Address Latch Enable) อุปกรณ์ภายนอก จะใช้สัญญาณนี้ในการแลตช์ข้อมูลที่ส่งออกมาทาง พอร์ต 0

- PSEN (Program Store Enable) คือ ขาที่ 29 ใช้เมื่อต้องการอ่านคำสั่งที่จะนำไปใช้งานมาจากหน่วยความจำสำหรับ โปรแกรมภายนอก

- EA (External Access) คือ ขาที่ 31 เป็นขาอินพุตที่ต่อเข้าไปยังวงจร Timing and Control เพื่อควบคุมการเลือกหน่วยความจำจากภายนอกหรือภายใน

- XTAL1(ขา 19) ขานี้จะใช้ต่อคริสตอลภายนอกโดยเป็นอินพุตเข้าสู่วงจรออสซิลเลเตอร์ภายใน

- XTAL 2 (ขา 18) ขานี้จะใช้ต่อคริสตอลภายนอกโดยเป็นเอาต์พุตของวงจรออสซิลเลเตอร์ภายใน

ใน

### 2.8.5 การทำงานของ MCS – 51

การทำงานของ MCS-51 ผู้ใช้จะต้องเขียนโปรแกรมเป็นภาษาเครื่องซึ่งอยู่ในรูปเลขฐาน 2 ที่เก็บไว้ในหน่วยความจำประเภท Program Memory แต่ละคำสั่งอาจประกอบด้วย 1, 2 หรือ 3 ไบต์ก็ได้มากระทำตามคำสั่งนั้น โดยจะเริ่มจากการทำงานภายใน MCS-51 เองแล้วช่วงต่อไปจะเป็นช่วงการทำงานตามคำสั่ง (Execute Cycle) ซึ่งการทำงานดังกล่าวจะขึ้นอยู่กับสัญญาณควบคุมที่สร้างจากวงจร Oscillator ทำให้การทำงานต่างๆ เป็นไปตามลำดับ

ในหนึ่งแมชชีนไซเคิล คือช่วงเวลาตั้งแต่ S1 ถึง S6 ซึ่งจะใช้เวลา 12 คาบของสัญญาณออสซิลเลเตอร์ หากใช้ออสซิลเลเตอร์ความถี่ 12 MHz จะได้ว่าใน 1 แมชชีนไซเคิลใช้เวลา 1 ไมโครวินาที ดังนั้นการทำงานใน 1 คำสั่ง ต่ำสุดจะกินเวลาเพียง 1 ไมโครวินาที การทำงานของคำสั่ง INCA ซึ่งเป็นคำสั่ง 1 ไบต์ ทำงานเสร็จภายใน 1 แมชชีนไซเคิล ส่วนการทำงานของคำสั่ง ADD A,# data ซึ่งเป็นคำสั่ง 2 ไบต์ แต่ทำงานเสร็จภายใน 1 แมชชีนไซเคิล ส่วนการทำงานของคำสั่ง MOVX ซึ่งเป็นคำสั่ง 1 ไบต์ แต่ทำงานเสร็จภายใน 2 แมชชีนไซเคิล

เอกสารนี้เป็นเอกสารที่สงวนไว้สำหรับการใช้งานเพื่อการศึกษาเท่านั้น ไม่อนุญาตให้นำไปใช้ประโยชน์ด้านการค้า ไม่ว่าจะกรณีใดๆ ทั้งสิ้น อีกทั้งห้ามมิให้ดัดแปลง หรือทำซ้ำโดยไม่ได้รับอนุญาตจากเจ้าของเอกสารทุกครั้งที่มีการนำไปใช้

### 2.8.6 การอินเทอร์รัพต์

การอินเทอร์รัพต์ของ MCS-51 สามารถรับสัญญาณอินเทอร์รัพต์ที่เกิดขึ้นได้อย่างน้อย 5 ชนิดได้แก่

1. อินเทอร์รัพต์จากภายนอก 0 (External Interrupt 0)
2. อินเทอร์รัพต์จากภายนอก 1 (External Interrupt 1)
3. อินเทอร์รัพต์ของไทมเมอร์ 0 (Timer Flag Interrupt 0)
4. อินเทอร์รัพต์ของไทมเมอร์ 1 (Timer Flag Interrupt 1)
5. อินเทอร์รัพต์ของพอร์ตสื่อสารอนุกรม (Serial Port Interrupt)

การอินเทอร์รัพต์แต่ละชนิดที่ MCS-51 สามารถรับได้ แบ่งกลุ่มดังนี้

1. External Interrupt เป็นอินเทอร์รัพต์ที่เกิดขึ้นจากภายนอก MCS-51 มี 2 ชนิดคือ External Interrupt0 และ External Interrupt1 โดยต่อเข้าที่ขา 12 (INT0) และขา 13 (INT1) ตามลำดับ ซึ่งสัญญาณอินเทอร์รัพต์ชนิดนี้จะทำงานเมื่อสัญญาณภายนอกที่ส่งเข้ามา มีสถานะลอจิกเป็น 0

2. Timer Flag Interrupt อินเทอร์รัพต์ของกลุ่มนี้ประกอบด้วย Timer Flag Interrupt0 และ Timer Flag Interrupt1 เป็นอินเทอร์รัพต์ที่เกิดขึ้นจากภายในตัวเอง จะเกิดขึ้นโดยบิต TFO หรือ TF1 ถูกเซตเมื่อไทมเมอร์ 1 เกิด Overflow ขึ้นทำให้เกิดสัญญาณอินเทอร์รัพต์เข้าไปขัดตัวชิพเอง ภายในจังหวะการทำงานของโปรแกรมที่ทำงานอยู่ขณะนั้นให้ทำงานอื่นแทน

3. Serial Port Interrupt เป็นอินเทอร์รัพต์ที่เกิดขึ้นจากภายในตัวชิพเอง สัญญาณอินเทอร์รัพต์ที่เกิดขึ้นได้มาจากบิต TI หรือ RI บิตที่ควบคุมการอินเทอร์รัพต์ทั้งสองนี้จะไม่ถูกเคลียร์โดยฮาร์ดแวร์ใน MCS-51 เมื่อซีพียูไปทำงานในโปรแกรมบริการอินเทอร์รัพต์ เพราะการเกิดอินเทอร์รัพต์ของพอร์ตสื่อสารอนุกรมอาจเกิดจากบิต RI หรือ TI ก็ได้ ดังนั้น โปรแกรมในส่วนบริการอินเทอร์รัพต์จะต้องตรวจสอบเองว่า สัญญาณอินเทอร์รัพต์ที่เกิดขึ้นได้มาจากบิต TI หรือ RI บิตทั้งสองจะถูกเคลียร์โดยซอฟต์แวร์เท่านั้น

การทำงานเกี่ยวกับการอินเทอร์รัพต์นั้น จะมี Special Function Register ที่เกี่ยวข้องโดยตรง 2 ตัวได้แก่ IE (Interrupt Enable) และ IP (Interrupt Priority) รีจิสเตอร์ IE สามารถควบคุมการอินเทอร์รัพต์ใน MCS-51 ได้ทั้งหมด โดยใช้บิต EA ให้มีค่าเป็น 0 สัญญาณอินเทอร์รัพต์ทุกชนิดที่เกิดขึ้นจะไม่สามารถอินเทอร์รัพต์ MCS-51 ได้สำหรับรีจิสเตอร์ IP นั้น เราสามารถจัดลำดับความสำคัญของการทำอินเทอร์รัพต์ได้โดยเซตบิตเป็น 1 สำหรับอินเทอร์รัพต์ที่มีความสำคัญสูงและเซตบิตให้เป็น 1 สำหรับอินเทอร์รัพต์ที่มีความสำคัญต่ำ

### บทที่ 3

#### การคำนวณและการสร้าง

##### 3.1 โครงสร้างทางฮาร์ดแวร์ (Hardware) และโครงสร้างของระบบ

การออกแบบการทำงานจะมีส่วนทำงานหลักอยู่ที่ไมโครคอนโทรลเลอร์ MCS-51 ซึ่งเป็นตัวควบคุมการทำงานทั้งหมด โดยการออกแบบการทำงานจะแบ่งการทำงานเป็น 2 โหมดการทำงานดังนี้

1. การเตือนภัยและแจ้งเหตุอัตโนมัติ โดยในโหมดนี้จะแยกเป็น 2 กรณี คือ
  - กรณีเกิดเหตุเพลิงไหม้
  - กรณีขโมยเข้าบ้าน
2. การเปลี่ยนแปลงและบันทึกเสียงเพื่อแจ้งเหตุ คือ
  - เปลี่ยนแปลงหมายเลขที่กำหนด
  - ข้อมูลที่เป็นสัญญาณเสียงในไอซีบันทึกเสียง

โดยในการรับคำสั่งต่างๆ ของระบบจะมีส่วนอินพุตรับคำสั่ง 1 ทาง คือ

1. ทางไมโครโฟน ในโหมดการเปลี่ยนแปลงและบันทึกข้อมูลเสียงที่ใช้แจ้งเหตุในไอซีบันทึกเสียง ISD 2590

สำหรับการแสดง แอลอีดี (LED) และ ลำโพงในส่วนของข้อมูลแจ้งเหตุที่เป็นสัญญาณเสียง และ สัญญาณออก ซึ่งเป็นสัญญาณเสียงที่ดังขึ้นเพื่อเตือนภัยเมื่อมีผู้บุกรุก

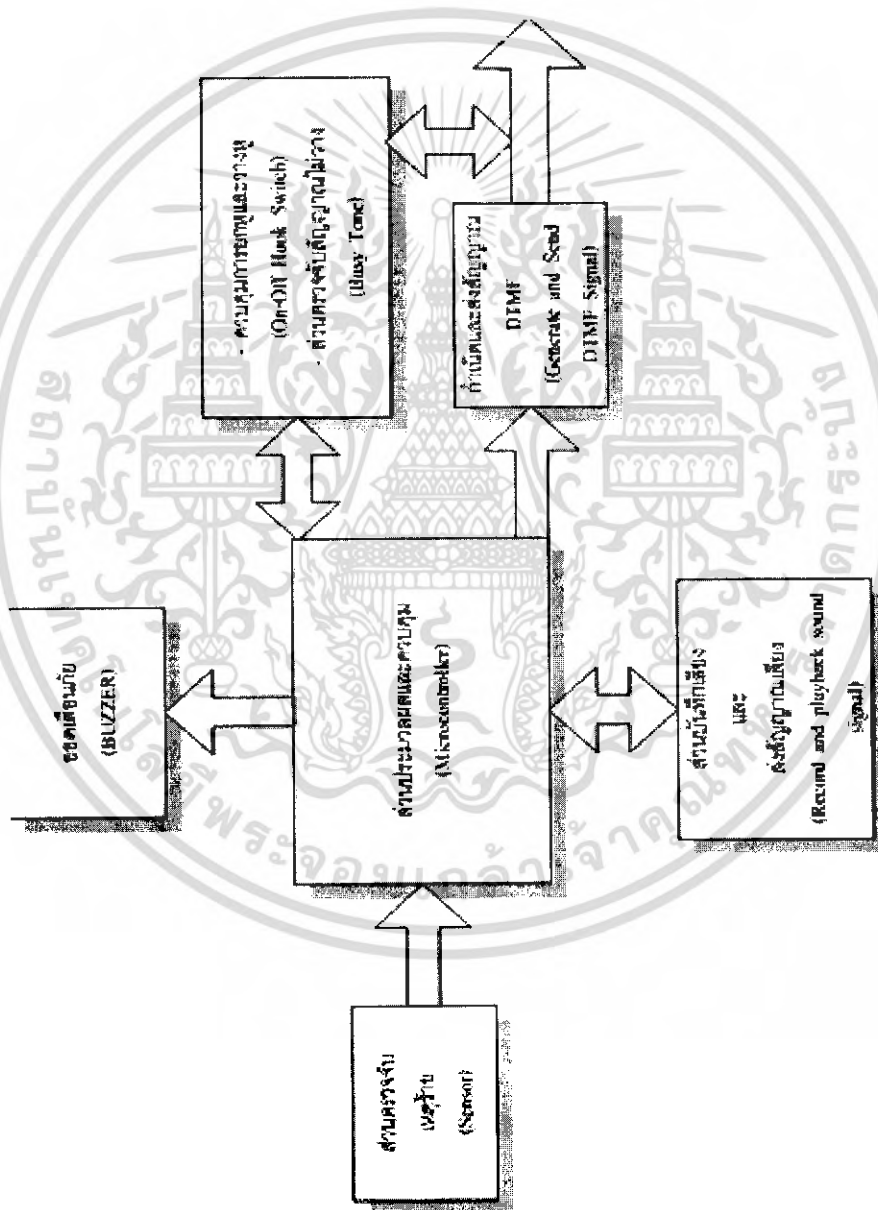
##### 3.2 การทำงานโดยรวมของระบบ

ระบบเตือนภัยภายในอาคารผ่านโทรศัพท์มีการทำงานโดยรวมคือ เมื่อเซ็นเซอร์ ตรวจจับได้ว่าเหตุร้ายเกิดขึ้นก็จะมีสัญญาณส่งไปยัง ส่วนควบคุม (Controller) ซึ่งเป็นไมโครคอนโทรลเลอร์ MCS-51 โดยส่วนควบคุมจะส่งสัญญาณไปยังส่วนควบคุมการยกหู – วางหูโทรศัพท์ เมื่อทำการยกหูโทรศัพท์แล้ว ส่วนตรวจสอบสัญญาณ จะทำการตรวจสอบสัญญาณว่ามีสัญญาณพร้อมหมუნ (Dial Tone) หรือไม่ แล้วส่งข้อมูลกลับไปยังส่วนควบคุม ถ้ามีสัญญาณพร้อมหมუნเข้ามา ส่วนควบคุมจะนำหมายเลขโทรศัพท์ที่ได้บันทึกเก็บไว้ล่วงหน้าแล้ว ออกมาหลังจากนั้นจะส่งสัญญาณไปยังส่วนสร้างและส่งสัญญาณดีทีเอ็มเอฟ เพื่อทำการสร้างสัญญาณดีทีเอ็มเอฟตามหมายเลขที่ได้บันทึกไว้และส่งสัญญาณดีทีเอ็มเอฟ ไปยังคู่สายโทรศัพท์ แต่ถ้าหากภาคตรวจสอบสัญญาณตรวจสอบได้ว่าไม่มีสัญญาณพร้อมหมუნ (Dial Tone) ก็จะส่งสัญญาณไปบอกส่วนควบคุมให้ทำการ วางหูโทรศัพท์ก่อนและยกหูโทรศัพท์ใหม่ จนกว่าจะได้รับสัญญาณพร้อมหมუნ (Dial Tone) เมื่อทำการหมุนเลขหมายแล้วส่วนตรวจสอบสัญญาณ จะตรวจสอบว่าสัญญาณที่ได้รับกลับมาเป็นสัญญาณใด ถ้าเป็นสัญญาณสายไม่ว่าง (Busy Tone) ส่วนควบคุมจะทำการส่งหมายเลขโทรศัพท์มาให้ส่วนสร้างและส่งสัญญาณดีทีเอ็มเอฟ ทำการสร้างสัญญาณดีทีเอ็มเอฟ และ ส่งออกไปอีกครั้งหนึ่ง และหากตรวจสอบได้ว่ามีสัญญาณสายว่าง (Ring Back Tone)

เข้ามาก็จะรอระยะเวลาหนึ่ง ถ้าหากไม่มีผู้รับสาย ส่วนควบคุมก็จะทำการเปลี่ยนหมายเลขใหม่ที่บันทึกเอาไว้จนเป็นเอกสารที่ส่งมอบไว้สำหรับการแจ้งเตือนเพื่อการศึกษาเท่านั้น เมื่อนุญาตให้ไปใช้ประโยชน์ด้านการค้า ไม่ว่าจะกรณีใดๆ ทั้งสิ้น อีกทั้งห้ามมิให้ดัดแปลงเนื้อหา และต้องอ้างอิงถึงเจ้าของเอกสารทุกครั้งที่มีการนำไปใช้

ไว้จนมีผู้รับสาย เมื่อมีผู้รับสาย ส่วนควบคุมจะทำการส่งสัญญาณไปยังส่วนส่งสัญญาณเสียงที่ได้บันทึกไว้ เพื่อทำการส่งเสียงเตือนภัย ส่งไปไปยังผู้รับสายปลายทาง พร้อมส่งเสียงภัยทางออก โดยสามารถกำหนดเวลาในการส่งเสียงเตือนภัยได้ เมื่อส่งสัญญาณเสียงเตือนภัยผ่านโทรศัพท์เรียบร้อยแล้ว ก็จะส่งสัญญาณไปยังส่วนควบคุมให้ทำการหยุดการติดต่อ และ ส่งสัญญาณให้ส่วนควบคุมการยกหูและวางหูโทรศัพท์ทำการวางหูโทรศัพท์ และระบบเตือนภัยจะทำเช่นนี้เรื่อยๆ จนกว่าจะสามารถติดต่อและส่งสัญญาณเตือนภัยได้ ซึ่งโครงสร้างของการทำงานของระบบทั้งหมด แสดงได้ตามบล็อกไดอะแกรมรูปที่

3.1



รูปที่ 3.1 บล็อกไดอะแกรมของระบบเตือนภัยภายในอาคารผ่านโทรศัพท์

เอกสารนี้เป็นเอกสารที่สงวนไว้สำหรับการใช้งานเพื่อการศึกษาเท่านั้น ไม่อนุญาตให้นำไปใช้ประโยชน์ด้านการค้าไม่ว่ากรณีใดๆ ทั้งสิ้น อีกทั้งห้ามมิให้ดัดแปลงเนื้อหา และต้องอ้างอิงถึงเจ้าของเอกสารทุกครั้งที่มีการนำไปใช้

### 3.3 ส่วนควบคุม

ในส่วนนี้จะใช้ไมโครคอนโทรลเลอร์ตระกูล MCS-51 เป็นตัวควบคุมการทำงานทั้งหมดของเครื่อง โดยในโครงการนี้ได้ใช้ไมโครคอนโทรลเลอร์ เบอร์ AT98S8252 ของ ATMEL เป็นตัวควบคุม โดยภายในไมโครคอนโทรลเลอร์มีพอร์ตอินพุต/เอาต์พุต ทั้งหมด 4 พอร์ต และได้ทำการแบ่งการควบคุมแต่ละพอร์ตในโครงการนี้ออกเป็นดังนี้

พอร์ต 0 ทั้งหมด (P0.0 - P0.7) ใช้ควบคุมการส่งสัญญาณของไอซีสร้างสัญญาณคี่ที่เอ็มเอฟ

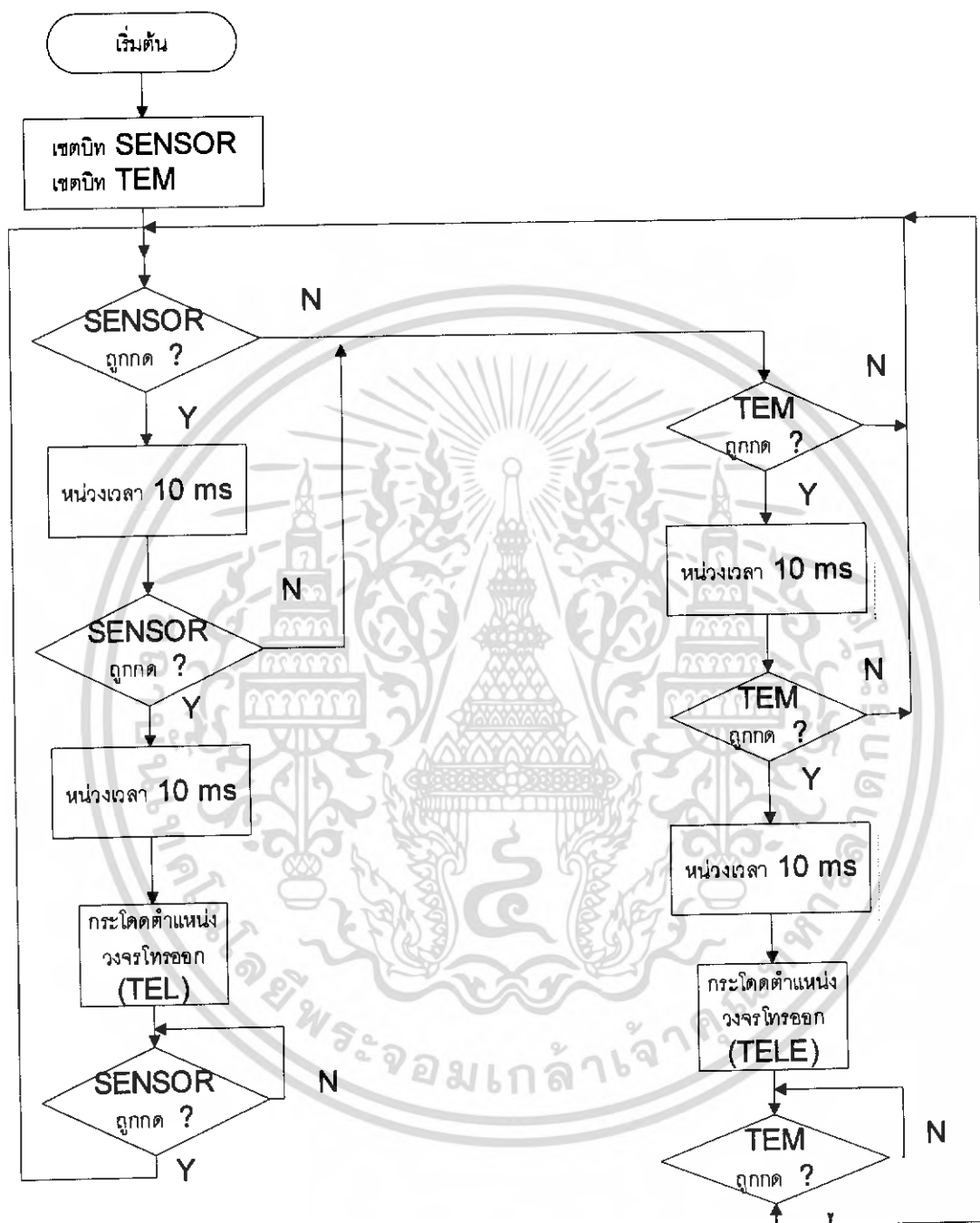
พอร์ต 1 ใช้ควบคุมอุปกรณ์ต่างๆ ดังนี้

- 1.0 ใช้เป็นตัวสวิทช์ของวงจรตรวจจับอินฟราเรด
- 1.1 ใช้เป็นตัวสวิทช์ของวงจรตรวจจับอุณหภูมิ
- 1.2 ใช้เป็นตัวสวิทช์ในการ HOOK SWITCH
- 1.3 ใช้เป็นตัวส่งสัญญาณให้ BUZZER ทำงาน
- 1.4 ใช้ควบคุมการเช็คสัญญาณ BUSY TONE
- 1.5 ใช้ควบคุมการเช็คสัญญาณ RING BACK TONE
- 1.6 ใช้เป็นตัว RESET ของ SOUND\_1
- 1.7 ใช้เป็นตัว PLAY ของ SOUND\_1

พอร์ต 2 ใช้ควบคุมอุปกรณ์ต่างๆ ดังนี้

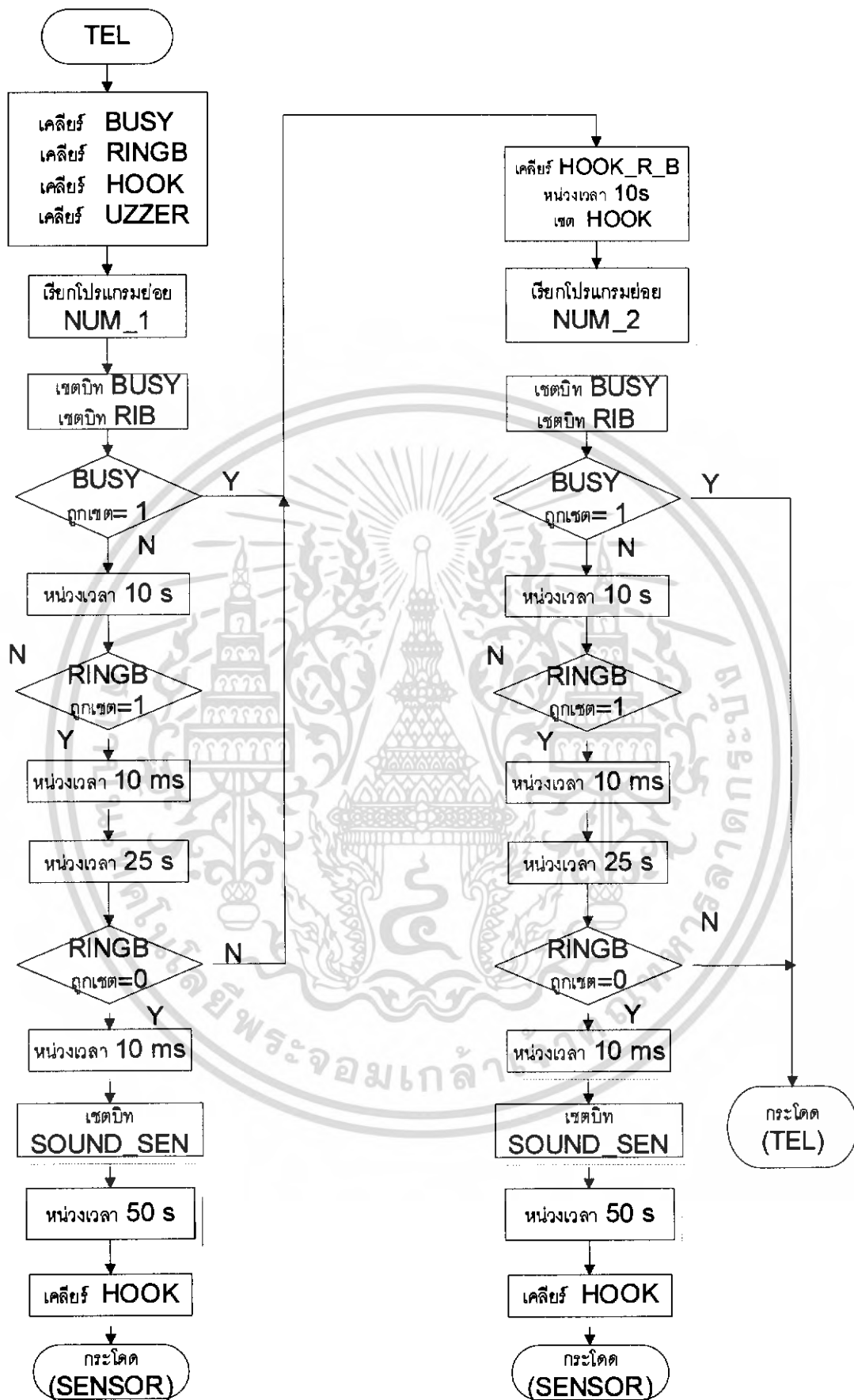
- 2.0 ใช้เป็นตัว RESET ของ SOUND\_2
- 2.1 ใช้เป็นตัว PLAY ของ SOUND\_2
- 2.2 ใช้เป็นตัวควบคุม วงจร RELAY ของ SOUND กับคู่สาย
- 2.3 ใช้เป็นตัวควบคุม วงจร HOOK ของ SOUND กับคู่สาย

## 3.4 โครงสร้างทางซอฟต์แวร์



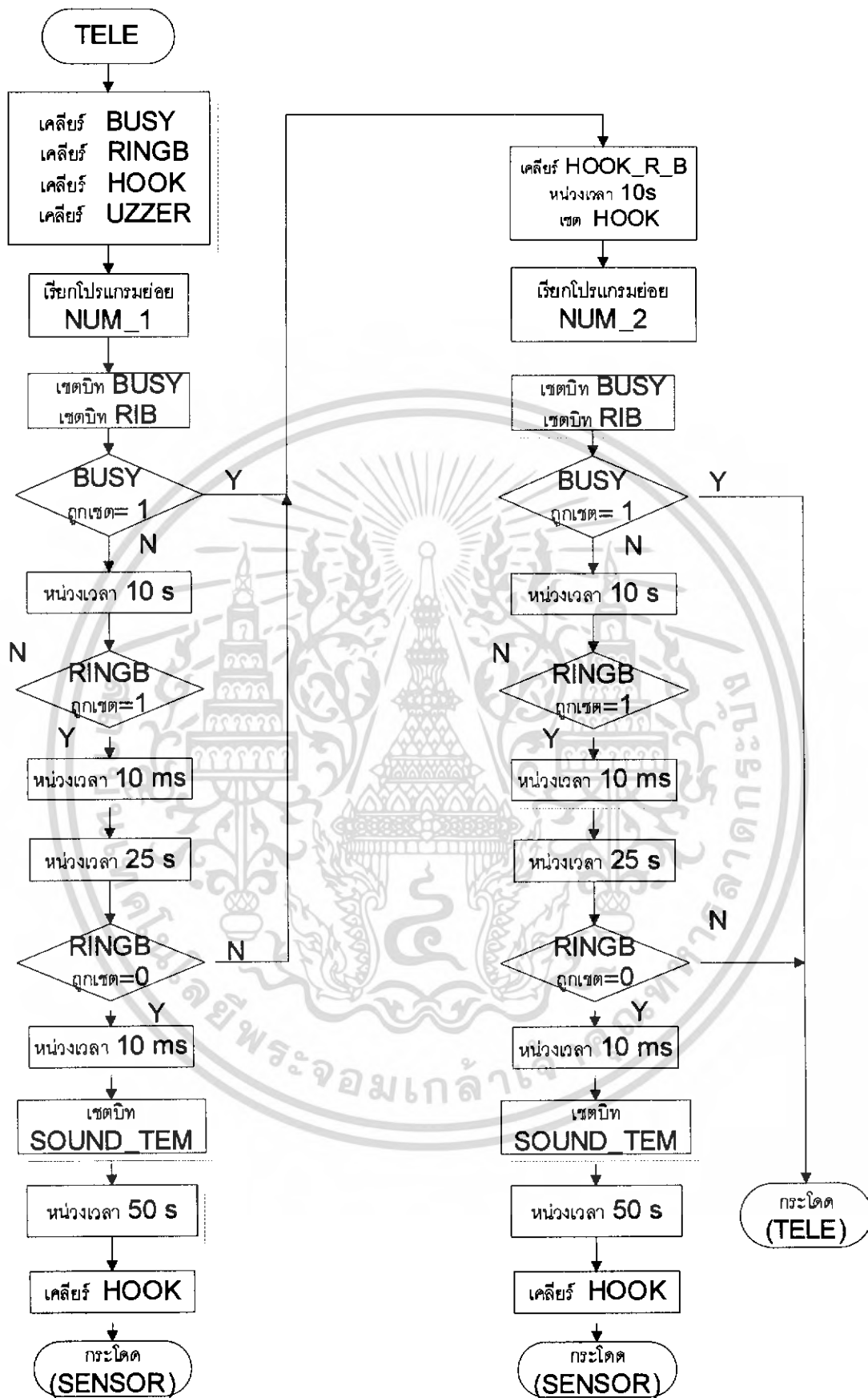
รูปที่ 3.2 โฟลว์ชาร์ตการทำงานของระบบ

เอกสารนี้เป็นเอกสารที่สงวนไว้สำหรับการใช้งานเพื่อการศึกษาเท่านั้น ไม่อนุญาตให้นำไปใช้ประโยชน์ด้านการค้า  
ไม่ว่ากรณีใดๆ ทั้งสิ้น อีกทั้งห้ามมิให้ดัดแปลงเนื้อหา และต้องอ้างอิงถึงเจ้าของเอกสารทุกครั้งที่มีการนำไปใช้



รูปที่ 3.2 โฟลว์ชาร์ตการทำงานของระบบ (ต่อ)

เอกสารนี้เป็นเอกสารที่สงวนไว้สำหรับการใช้งานเพื่อการศึกษาเท่านั้น เมื่ออนุญาตให้นำไปใช้ประโยชน์ด้านการค้าไม่ว่ากรณีใดๆ ทั้งสิ้น อีกทั้งห้ามมิให้ดัดแปลงเนื้อหา และต้องอ้างอิงถึงเจ้าของเอกสารทุกครั้งที่มีการนำไปใช้

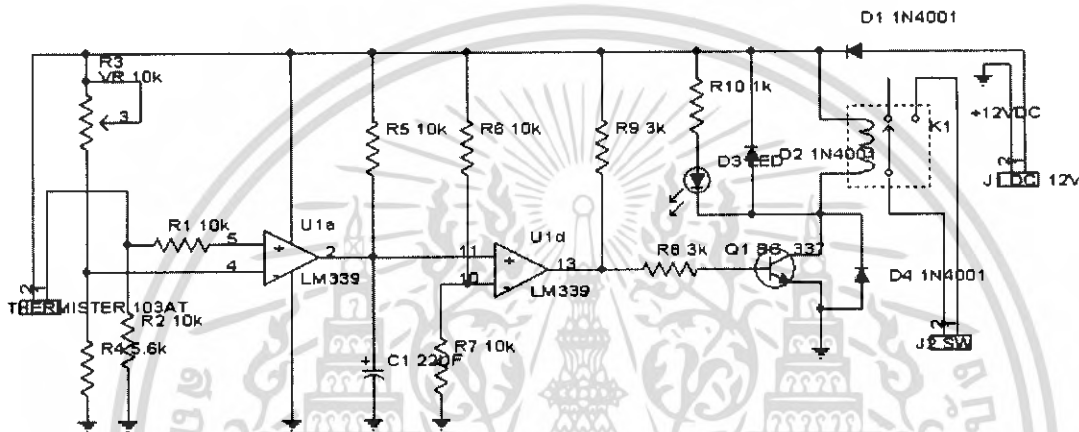


รูปที่ 3. 2 โฟลว์ชาร์ตการทำงานของระบบ (ต่อ)

เอกสารนี้เป็นเอกสารที่สงวนไว้สำหรับการใช้งานเพื่อการศึกษาเท่านั้น ไม่อนุญาตให้นำไปใช้ประโยชน์ด้านการค้า  
ไม่ว่ากรณีใดๆ ทั้งสิ้น อีกทั้งห้ามมิให้ดัดแปลงเนื้อหา และต้องอ้างอิงถึงเจ้าของเอกสารทุกครั้งที่มีการนำไปใช้

### 3.5 หลักการทำงานของวงจรตรวจจับอุณหภูมิ

การใช้หลักการไอซี OP - AMP เบอร์ LM 339 ที่เป็นตัวเปรียบเทียบรับค่าของแรงดัน (Voltage Signal) ที่เปลี่ยนแปลงตามอุณหภูมิจากเทอร์มิสเตอร์แบบ NTC 103AT อาศัยหลักการการเปลี่ยนแปลงกระแสแล้วนำค่าแรงดันมาเปรียบเทียบกับค่าที่กำหนดไว้เป็นค่าอ้างอิงโดยใช้ VR เป็นตัวปรับค่าแรงดันที่สามารถเลือกค่าได้การตั้งแรงดันค่าอ้างอิง (Vref) คือการตั้งค่าจุดตัดต่อของอุณหภูมินั้นเอง ผลการเปรียบเทียบค่าแรงดันโดย LM339 จะส่งไปยังเบสของ Q1 ทำหน้าที่ขับรีเลย์ใช้ไฟ 12Vdc. เพื่อทดสอบวงจรเทอร์โมสแตทความยืดหยุ่นในการตั้งค่าอุณหภูมิที่ทำการควบคุมได้

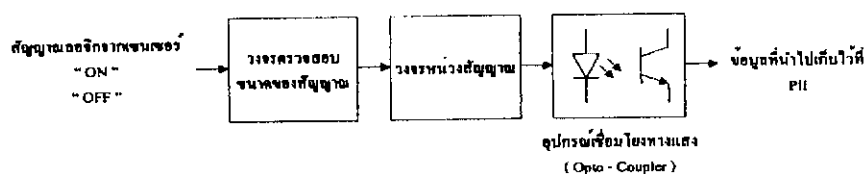


รูปที่ 3.3 วงจรตรวจจับอุณหภูมิ

### 3.6 ส่วนอุปกรณ์ตรวจจับ

#### 3.6.1 อินฟราเรดเซ็นเซอร์สำหรับสัญญาณลอจิก

อินฟราเรดเซ็นเซอร์แบบนี้จะทำหน้าที่เชื่อมต่อระหว่างหน่วยประมวลผลกับอุปกรณ์อินพุทภายนอกที่มีลักษณะเป็นสัญญาณ ไบนารีหรือดิจิทัลเท่านั้น แล้วนำสัญญาณหรือข้อมูลเหล่านั้นมาปรับแต่งให้มีระดับสัญญาณที่เหมาะสมกับการทำงานของหน่วยประมวลผลเพื่อใช้ข้อมูลเหล่านั้นในการประมวลผลตามโปรแกรมที่ผู้ใช้สร้างขึ้น ซึ่งตรงสร้างภายในของอินพุทโมดูลสำหรับสัญญาณลอจิกจะแบ่งออกเป็น 2 ชนิด คือ แบบ DC ลอจิกและแบบ AC ลอจิก การเลือกใช้งานขึ้นอยู่กับความต้องการของผู้ใช้



รูปที่ 3.4 บล็อกไดอะแกรมแสดงส่วนประกอบของการทำงานของโมดูลอินพุทแบบลอจิก

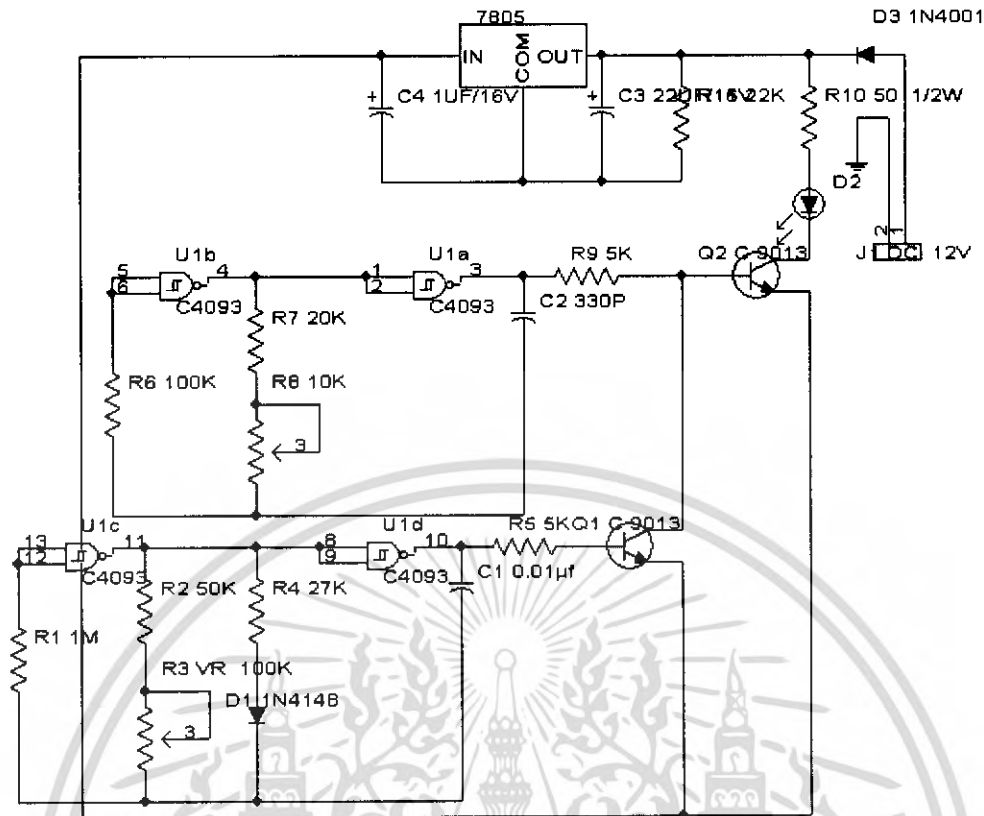
เอกสารนี้เป็นเอกสารที่สงวนลิขสิทธิ์ไว้สำหรับการเรียนเพื่อการศึกษาเท่านั้น ไม่นำไปเผยแพร่โดยไม่ได้รับอนุญาต  
ไม่ว่ากรณีใดๆ ทั้งสิ้น อีกทั้งห้ามมิให้ตัดแปลงเนื้อหา และต้องอ้างอิงถึงเจ้าของเอกสารทุกครั้งที่มีการนำไปใช้

ส่วนประกอบหลักของอินฟราเรดเซ็นเซอร์ คือ อุปกรณ์เชื่อมต่อโยงทางแสง (Opto-coupler) ซึ่งจะทำหน้าที่ส่งผ่านข้อมูลจากด้านหนึ่งโดยใช้แสงในการส่งผ่านข้อมูล ดังนั้นจึงทำให้สามารถแยกสัญญาณไฟฟ้าระหว่างอุปกรณ์ภายนอกกับส่วนประมวลผลของโปรแกรมไมโครคอนโทรลเลอร์ออกจากกัน ทำให้สามารถป้องกันวงจรอิเล็กทรอนิกส์ไม่ให้เกิดความเสียหายในกรณีที่เกิดการลัดวงจรที่ภายนอก นอกจากนั้นที่โมดูลอินพุทยังมีส่วนประกอบที่สำคัญอีกก็คือส่วนที่ทำหน้าที่ตรวจวัดระดับของสัญญาณจากภายนอกที่เหมาะสมกับ โมดูลหรือไมโครและส่วนที่ทำหน้าที่หน่วงสัญญาณอินพุทเพื่อลดสัญญาณกวนจากภายนอก

วงจรอินฟราเรด (Infrared) ในโครงงานนี้นำมาใช้เพื่อตรวจจับความเคลื่อนไหวโดยติดตั้งตัวส่งและตัวรับที่บริเวณหน้าต่างหรือประตูบางจุดที่เป็นทางเข้าออก โดยใช้สัญญาณอินฟราเรดจากตัวส่ง ส่งไปยังตัวรับซึ่งในสภาวะปกติที่ไม่มีอะไรมาบังระหว่างตัวส่งกับตัวรับ แสดงว่าไม่มีความเคลื่อนไหวแต่ถ้ามีการบังเกิดขึ้นแสดงถึงมีความเคลื่อนไหวภายในบ้านหรืออาคาร โดยจะมีการส่งเป็นความถี่คงที่เพื่อจะป้องกันปัญหาเกี่ยวกับแสงอินฟราเรดที่มาจากแหล่งอื่น (เช่น แสงอินฟราเรดจากแสงอาทิตย์) ที่เราไม่ต้องการได้

### 3.6.2 หลักการทำงานของวงจรอินฟราเรดด้านภาคส่ง

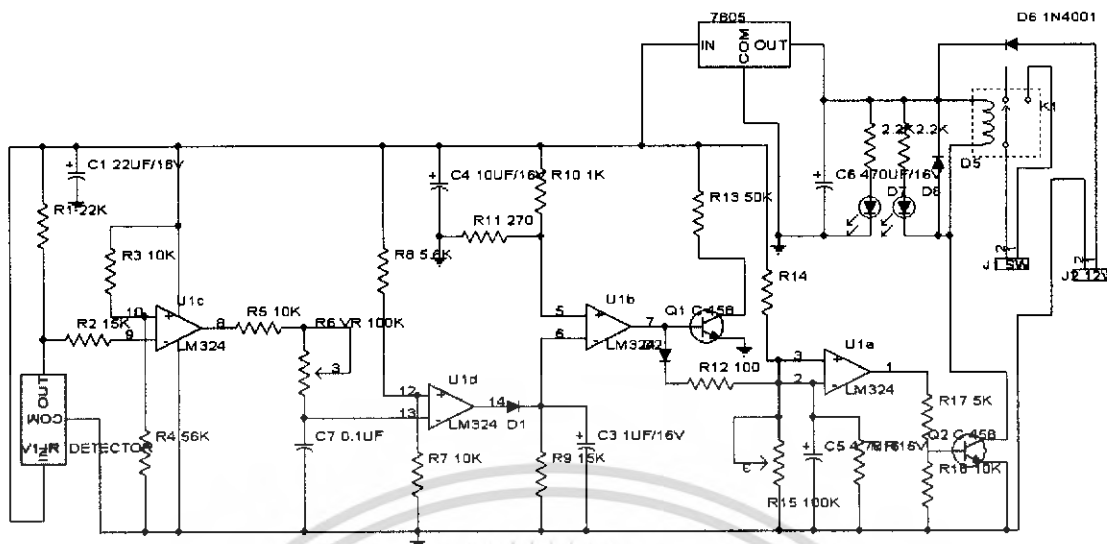
ได้ใช้ IC 4093 เป็น NAND GATE มีทั้ง 4 ตัวภายในตัว IC 4093 NAND GATE 2 ตัวแรกคือ U1c และ U1d จะทำการผลิต Pulse ความถี่ประมาณ 1 KHz สามารถใช้ R และ C เป็นตัวปรับความถี่ โดยปรับค่าที่ VR 100 K ให้ได้ความถี่ 1 KHz เป็นสัญญาณโทนหรือเป็น Signal ที่ฝากไปกับคลื่นพาหะ และจะใช้ทรานซิสเตอร์ Q1 เบอร์ C9013 เป็นตัวสวิทช์ความถี่ 560 Hz NAND GATE อีก 2 ตัวคือ U1b และ U1a จะทำการผลิต PULSE ความถี่ประมาณ 40 KHz สามารถใช้ R และ C เป็นตัวปรับความถี่ โดยปรับค่าที่ VR 10 K ให้ได้ความถี่ 40 KHz เป็นสัญญาณคลื่นพาหะที่ใช้ในการติดต่อระหว่างตัวรับตัวส่ง ทรานซิสเตอร์ Q2 เบอร์ C9013 จะทำหน้าที่สวิทช์สัญญาณโทนความถี่ 1 KHz ที่ฝากมากับสัญญาณคลื่นพาหะ 40 KHz ดังรูปที่ 3.5



รูปที่ 3.5 วงจรอินฟราเรดด้านภาคส่ง

### 3.6.3 หลักการทำงานวงจรอินฟราเรดด้านภาครับ

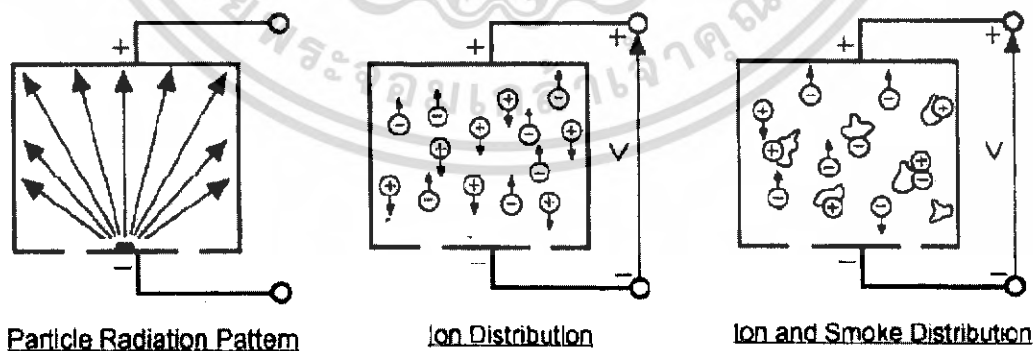
IR Detector จะทำหน้าที่ดีเทคสัญญาณความถี่คลื่นพาหะ 40 KHz และสัญญาณโทนที่ฝากมากับคลื่นพาหะด้วยเป็นสัญญาณที่ต่ำจะขยายด้วย IC LM324 โดยภายในประกอบด้วย Op-Amp 4 ตัวซึ่งทำหน้าที่เป็นชุด Active Filter 2 ตัว เป็นภาคขยาย 2 ตัว ซึ่ง U1c เป็นตัวขยายสัญญาณที่ดีเทศมาได้เพื่อเพิ่มความแรงของสัญญาณมากขึ้นซึ่งสามารถปรับเพื่อให้เหมาะสมกับความเร็วของวัตถุที่ผ่านโดยใช้ VR1 ส่วน U1d,U1b เป็นตัว Active Filter และ U1a ตัวสุดท้ายเป็นภาคขยายสัญญาณที่จะไปขับทรานซิสเตอร์ Q1 C458 ทำให้รีเลย์ทำงานให้ไฟ LED สีเขียวติดเมื่อมีกระแสไหลผ่านแสดงสถานะ โดยสามารถปรับค่าได้เพื่อหน่วงเวลาหยุดการทำงานของรีเลย์ได้โดยใช้ VR2 โดยที่ถ้าดีเทคได้ความถี่ 40 KHz ได้ตรงจะให้เอาต์พุตเป็น Low สถานะเป็น “0” คือไม่มีสิ่งกีดขวาง แต่ในทางกลับกันถ้าดีเทคแล้วได้ความถี่ไม่ตรงก็จะให้เอาต์พุตเป็น High สถานะเป็น “1” คือมีสิ่งกีดขวาง ก็จะส่งสถานะเอาต์พุตไปที่ขา 1 ของ IC LM324 นี้จะส่งไปให้ MCS-51 เพื่อทำการตรวจสอบเงื่อนไขต่อไป



รูปที่ 3.6 วงจรอินฟราเรดด้านภาครับ

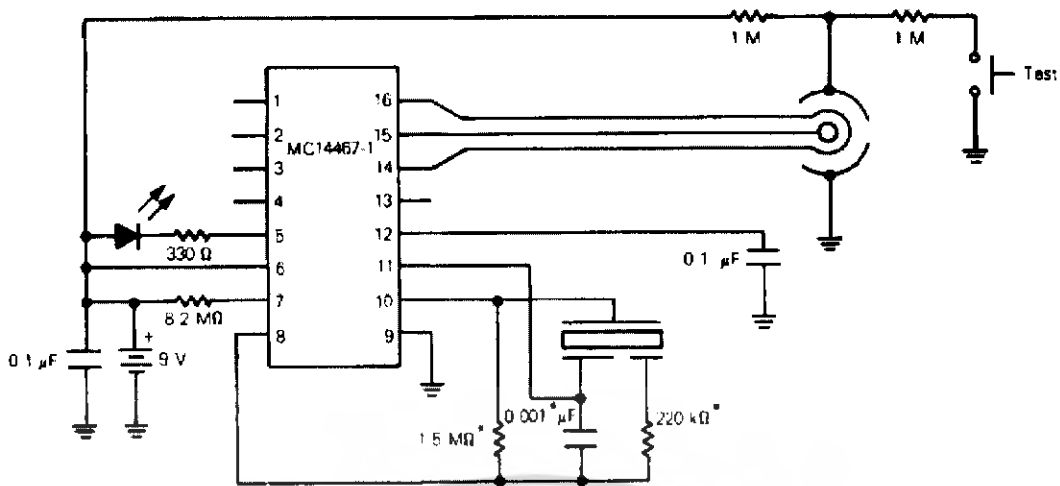
3.7 หลักการทำงานของวงจรตรวจจับควัน

อุปกรณ์ตรวจจับควัน (Ionization Smoke detectors Sensor) เป็นอุปกรณ์การตรวจจับควันแบบ Ionization ที่เหมาะสำหรับใช้ตรวจจับสัญญาณควันในระยะเริ่มต้นที่มีอนุภาคของควันเล็กมากที่เกิดจากเปลวไฟอย่างรวดเร็วก่อให้เกิดอนุภาคเล็กประมาณ 0.01 ถึง 0.3 Micron Ionization Detector ทำงานโดยใช้หลักการเปลี่ยนแปลงคุณสมบัติทางไฟฟ้าโดยใช้สารกัมมันตภาพรังสีปริมาณน้อยมากซึ่งอยู่ใน Chamber ซึ่งจะทำปฏิกิริยากับอากาศที่อยู่ระหว่างขั้วบวกและลบ ทำให้ความนำไฟฟ้า (Conductivity) เพิ่มขึ้นมีผลให้กระแสสามารถไหลผ่านได้โดยสะดวกเมื่อมีอนุภาคของควันเข้ามาใน Sensing Chamber อนุภาคของควันจะไปรวมตัวกับไอออนจะมีผลทำให้การไหลของกระแสลดลงด้วยซึ่งทำให้ตัวตรวจจับแจ้งสถานะ ทั้งนี้ดังรูปที่ 3.7 และสามารถนำไปประยุกต์มาทำเป็นวงจรใช้งานได้ดังรูปที่ 3.8



รูปที่ 3.7 แสดงการการแตกตัวของไอออนและการรวมตัวกับอนุภาคควัน

เอกสารนี้เป็นเอกสารที่สงวนไว้สำหรับการใช้งานเพื่อการศึกษาเท่านั้น ไม่อนุญาตให้นำไปใช้ประโยชน์ด้านการค้า ไม่ว่าจะกรณีใดๆ ทั้งสิ้น อีกทั้งห้ามมิให้ดัดแปลงเนื้อหา และต้องอ้างอิงถึงเจ้าของเอกสารทุกครั้งที่มีการนำไปใช้

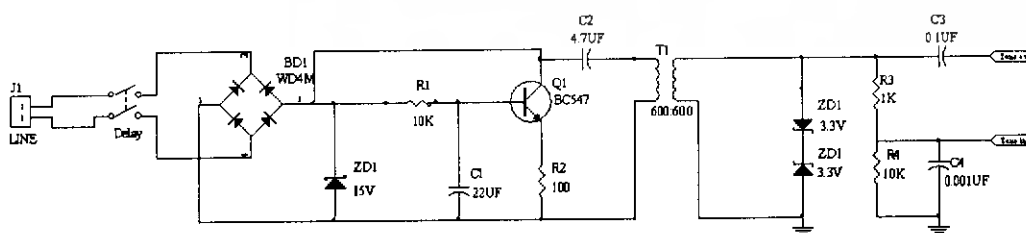


รูปที่ 3.8 วงจรตรวจอัปเดตวัน

### 3.8 ส่วนควบคุมการยกหูวางหูโทรศัพท์

ในการที่จะทำให้ระบบสามารถส่งเบอร์โทรศัพท์หรือสัญญาณดีทีเอ็มเอฟออกไปแจ้งเหตุโดยอัตโนมัติได้ตลอดเวลาเมื่อเกิดเหตุร้ายขึ้นว่าเจ้าของบ้านพักอาศัยหรือสำนักงานจะอยู่หรือไม่ก็ตาม เครื่องโทรศัพท์ที่จะต้องสามารถ ส่งสัญญาณดีทีเอ็มเอฟออกไปยังชุมสายโทรศัพท์โดยไม่ต้องทำการยกหูโทรศัพท์

เมื่อทำการยกหูโทรศัพท์ ชุมสายก็จะมองเห็นว่าเครื่องโทรศัพท์นั้นมีความต้านทานอยู่ 600 โอห์ม จากนั้นชุมสายก็จะจ่ายกระแสให้กับเครื่องโทรศัพท์ ทำให้สามารถกำเนิดสัญญาณดีทีเอ็มเอฟและส่งหมายเลขโทรศัพท์ติดต่อสื่อสารกันได้ จากหลักการนี้เอง ในโครงการนี้จึงได้ใช้หม้อแปลงขนาด 600 โอห์ม มาทำการต่อในวงจร โดยปกติเมื่อระบบยังไม่ได้เข้าสู่โหมดการทำงานเพื่อแจ้งเหตุและเตือนภัยโดยอัตโนมัติ นั้น ระบบจะต่อคู่สายโทรศัพท์เข้ากับชุมสายซึ่งสามารถใช้โทรศัพท์ได้ตามปกติ แต่เมื่อระบบได้รับสัญญาณให้ทำการส่งหมายเลขโทรศัพท์เพื่อเตือนภัย หม้อแปลงจะถูกต่อขนานเข้ากับระบบโดยที่เครื่องโทรศัพท์ไม่ได้ทำการยกหู แต่ชุมสายจะมองเห็นโทรศัพท์เสมือนว่าได้ยกหูขึ้น ดังนั้นชุมสายจะจ่ายกระแสไปยังเครื่องโทรศัพท์และรอรับสัญญาณดีทีเอ็มเอฟจากเครื่องโทรศัพท์

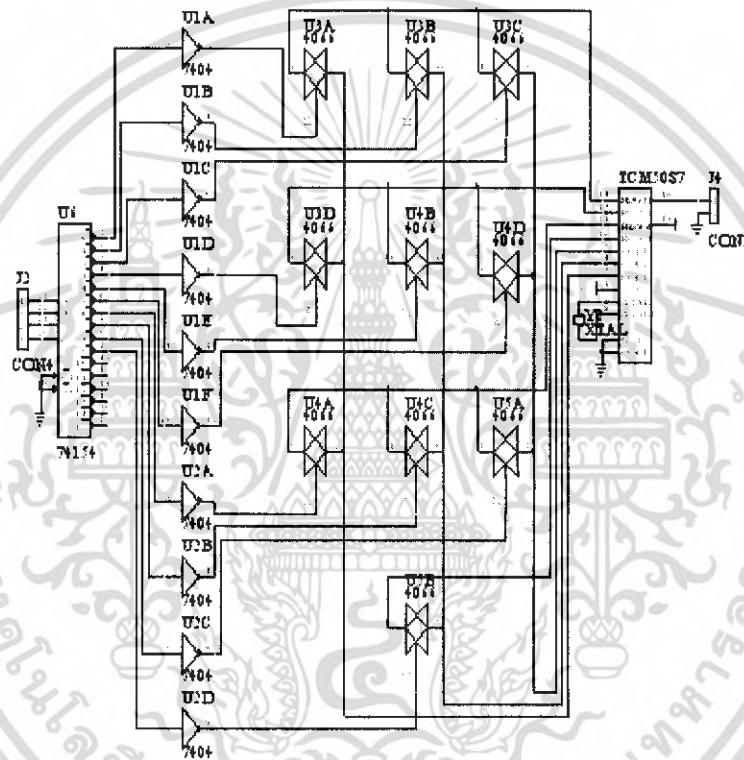


รูปที่ 3.9 วงจรควบคุมการวางหู-ยกหูโทรศัพท์

เอกสารนี้เป็นเอกสารที่สงวนไว้สำหรับการใช้งานเพื่อการศึกษาเท่านั้น ไม่อนุญาตให้นำไปใช้ประโยชน์ด้านการค้าไม่ว่ากรณีใดๆ ทั้งสิ้น อีกทั้งห้ามมิให้ดัดแปลงเนื้อหา และต้องอ้างอิงถึงเจ้าของเอกสารทุกครั้งที่มีการนำไปใช้

### 3.9 ส่วนสร้างสัญญาณตีที่เอ็มเอฟ

เป็นส่วนของการสร้างของสัญญาณตีที่เอ็มเอฟโดยอัตโนมัติโดยการควบคุมจากส่วนควบคุมซึ่งส่วนสร้างสัญญาณนี้จะทำการเช็คทางด้าน Column 0-3 ถ้าสวิทช์ของ Keypad เกิดการกดเกิดขึ้นจะทำให้เกิดการผสมกันระหว่างความถี่ต่ำกับความถี่สูงทำให้ได้สัญญาณตีที่เอ็มเอฟออกมาทางขา 16 ของ IC TCM 5087 ค่าของความถี่จะได้ออกมาตามตารางที่ 2 การกด Keypad จะใช้ไมโครคอนโทรลเลอร์กดแทนสวิทช์ โดยสามารถกำหนดการทำงานของไอซีจากขา 15 (Signal Tone Enable) โดยสถานะ "0" จะไม่มีสัญญาณที่ Tone Out และสถานะ "1" จะมีสัญญาณที่ Tone Out ดังรูปที่ 3.10



รูปที่ 3.10 แสดงวงจรสร้างสัญญาณ DTMF

### 3.10 ส่วนวงจรตรวจสอบสัญญาณจากสายโทรศัพท์ (Tone Detector)

วงจรนี้เราจะใช้ ไอซีเบอร์ LM 567 ที่เป็นไอซีประเภทเฟสล็อกคูลูป (Phase lock loop) ขา 8 ที่เป็นขาเอาต์พุตจะให้ลอจิกเป็น "0" เมื่อความถี่ของอินพุตที่เข้ามาทางด้านอินพุตคือขา 3 ตรงกับความถี่ภายในตัวไอซีคือความถี่ "fo" ความถี่ fo นี้ได้มาจากค่า R และค่า C ที่ต่อระหว่างขา 5 กับขา 6 และค่า C ที่ต่อระหว่างขา 2 ลงกราวด์โดยความถี่ fo นี้ได้จากการคำนวณ  $1.1 / RC$  ค่า R ในที่นี้ให้อยู่ระหว่าง 3K-20K ไอซีเบอร์ LM 567 สามารถใช้ในการตรวจจับความถี่ต่ำๆ ตั้งแต่ ขนาด 0.01 Hz สูงจนถึง 500 Hz ได้ ถ้าเราใช้ความถี่เพื่อลอคเวลา 1 วินาทีหรือกว่านี้

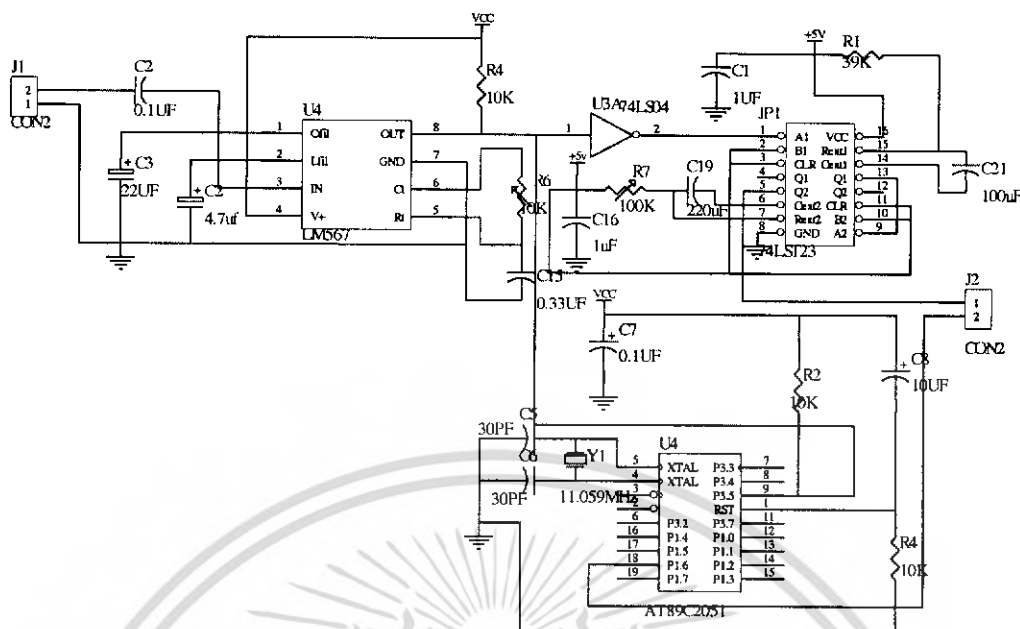
เอกสารนี้เป็นเอกสารที่สงวนไว้สำหรับการใช้งานเพื่อการศึกษาเท่านั้น ไม่อนุญาตให้นำไปใช้ประโยชน์ด้านการค้าไม่ว่ากรณีใดๆ ทั้งสิ้น อีกทั้งห้ามมิให้ดัดแปลงเนื้อหา และต้องอ้างอิงถึงเจ้าของเอกสารทุกครั้งที่มีการนำไปใช้

วงจรตรวจจับสัญญาณเรียกกลับจะใช้ในการตรวจสอบสัญญาณเรียกกลับเมื่อมีสัญญาณเรียกกลับ แสดงว่าติดต่อเสร็จ แต่ทางด้านปลายทางยังไม่ได้ยกหูโทรศัพท์ ซึ่งสัญญาณที่ออกทางขาเอาต์พุตเป็น 1 จนกระทั่งมีการยกหูโทรศัพท์ เอาต์พุตจะเป็น 0 ซึ่งเราจะใช้สถานะนี้ร่วมกับ Status Flag จาก Main Program ในการตัดสินใจสถานะในขณะเวลานั้นๆ ว่าปลายทางยกหูขึ้นจริงหรือไม่ เมื่อเช็คแล้วพบว่าปลายทางยกหูขึ้นจริงก็จะส่งสัญญาณไปยัง MCS-51 แล้วจึงส่งสัญญาณไปควบคุมส่วนของ Voice memory ให้ส่งข้อมูลไปยังปลายทางซึ่งข้อมูลที่ส่งไปนั้นจะสอดคล้องกับเหตุการณ์ที่เกิดขึ้น

วงจรนี้ใช้ไอซีเบอร์ LM567 ซึ่งเป็น Phase Lock Loop (PLL) ไอซีเบอร์นี้จะมีลอจิกเป็น 1 ในสถานะปกติและจะเปลี่ยนแปลงเป็นลอจิก 0 (Pulse ขอบขาลง) เมื่อมีความถี่ 400 Hz เข้ามาที่ขาอินพุต และเอาต์พุตที่ออกจากไอซีเบอร์ LM567 จะส่งไปให้กับวงจรโมโนสเตเบิล (Monostable) ชุดที่ 1 ของไอซีเบอร์ 74LS123 (Retriggable Monostable) ซึ่งมีวงจรโมโนสเตเบิล (Monostable) อยู่ 2 ชุด โดยเซต (Set) ให้ trig ที่ขอบขาลงเอาต์พุตจะเป็นลอจิก 1 ตลอด จนกว่าเรียกกลับจะหมดไป เมื่อสัญญาณเรียกกลับหมดไปจะมีพัลส์ที่ขอบขาลงไปกระตุ้นทำให้วงจรโมโนสเตเบิล (Monostable) ของชุดที่ 2 มีเอาต์พุต เปลี่ยนจากลอจิก 1 เป็นลอจิก 0

จากรูปที่ 3.11 เนื่องจาก Ring Back Tone เป็นสัญญาณที่มีความถี่ 400 Hz ดัง 1 วินาที หยุด 4 วินาที เราจึงต้องเซตเวลาของไอซี 74LS123 ให้มี function ที่เป็นบวกจาก  $T_w = 0.28RC (1+0.7/R)$  โดยที่ R ในวงจรโมโนสเตเบิล (Monostable) ชุดที่ 1 มีค่า  $T_w$  น้อยกว่าวงจรชุดที่ 2 ทำให้สัญญาณเอาต์พุตลอจิกเป็น 1 ต่อเนื่องกัน ไปตลอดช่วงที่มีสัญญาณจนกว่าสัญญาณเรียกกลับจะหายไปสัญญาณที่เอาต์พุตจึงเปลี่ยนเป็นลอจิก 0

อีกกรณีหนึ่งจะทำการ Check Busy Tone เมื่อสัญญาณที่เข้ามานั้นเป็นสัญญาณ Busy Tone ซึ่งมีค่าระยะห่างระหว่างพัลส์ประมาณ 1Sec จะใช้ไมโครคอนโทรลเลอร์เบอร์ AT89C2051 ในการจับสถานะทำให้สัญญาณที่เอาต์พุตมีลอจิกเป็น 1 ตลอดช่วงที่มีสัญญาณ



รูปที่ 3.11 แสดงวงจรตรวจจับสัญญาณ Busy tone และ Ring back tone

3.11 ส่วนไอซีบันทึกเสียง ISD 2590

ไอซีบันทึกเสียง ISD 2590 เป็นไอซีบันทึกเสียงในตระกูล ISD 2500 ซึ่งไอซีบันทึกเสียงนี้เป็นวิวัฒนาการของการบันทึกเสียงแบบไร้เส้นเทป ซึ่งมีศักยภาพในการบันทึกมากและมีองค์ประกอบภายนอกที่เรียบง่ายกว่าการบันทึกเสียงแบบเส้นเทป

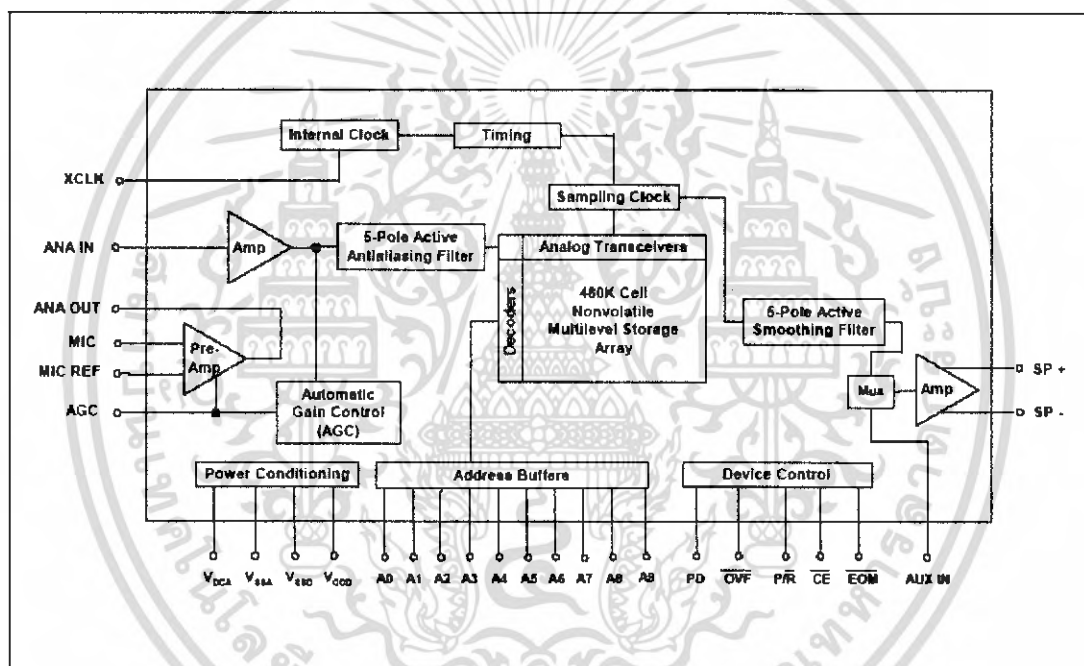
3.11.1 คุณสมบัติของ ISD 2590 และไอซีในตระกูล ISD 2500

1. ใช้ไอซีเพียงตัวเดียวก็สามารถบันทึกและเล่นกลับได้
2. ไม่ต้องมีอุปกรณ์ประเภทไอซีอื่นๆ ประกอบร่วมภายนอก
3. ไม่ต้องพัฒนาระบบอื่นขึ้นมาเสริมเพื่อให้ใช้งานได้
4. มีประสิทธิภาพในการบันทึกและเล่นกลับโดยให้เสียงได้เหมือนต้นกำเนิดเสียง
5. สามารถต่อкасаскеด (Cascade) กัน เพื่อเพิ่มหน่วยความจำในการเก็บข้อมูลให้ได้มากขึ้น
6. สามารถควบคุมการบันทึกและเล่นกลับด้วยไมโครคอนโทรลเลอร์ได้
7. จะปิดโดยอัตโนมัติเมื่อไม่มีการบันทึกหรือเล่นกลับนานเกินไป
8. สามารถเก็บความจำไว้ได้นาน 100 ปี โดยไม่ต้องมีแบตเตอรี่สำรอง
9. สามารถบันทึกซ้ำได้ถึง 100,000 ครั้ง
10. มีวงจรกำเนิดสัญญาณภายในตัว
11. สามารถโปรแกรมควบคุมการเล่นกลับเสียงอย่างเดียว เพื่อพัฒนารูปแบบการใช้งานได้
12. ระยะเวลาในการบันทึก/เล่นกลับตั้งแต่ 45, 60, 75 และ 90 นาที ตามแต่เบอร์ในตระกูล ISD

เอกสารนี้เป็นเอกสารที่สงวนไว้สำหรับการใช้งานเพื่อการศึกษาเท่านั้น ไม่อนุญาตให้นำไปใช้ประโยชน์ด้านการค้า ไม่ว่าจะกรณีใดๆ ทั้งสิ้น อีกทั้งห้ามมิให้ตัดแปลงเนื้อหา และต้องอ้างอิงถึงเจ้าของเอกสารทุกครั้งที่มีการนำไปใช้

จากคุณสมบัติต่างๆ ที่รวมอยู่ในไอซีเพียงตัวเดียวนี้ จึงทำให้ง่ายต่อการใช้งานไอซีบันทึกเสียง เนื่องจากตั้งแต่วงจรขยายสัญญาณจากไมโครโฟนจนถึงหน่วยจัดเก็บข้อมูลที่ทำการบันทึกและขับออก ลำโพงได้รวมไว้ในเพียงไอซีตัวเดียวหมดแล้ว

ในส่วนของการทำงานบันทึกและจัดเก็บข้อมูลเสียงไว้ในไอซีบันทึกเสียงนั้น ข้อมูลจะถูกเก็บไว้ในหน่วยความจำที่เป็นเซลล์แบบไม่ต้องการแรงดันสำรองข้อมูลไม่ให้สูญหาย (Nonvolatile Memory Cells) โดยที่สัญญาณเสียงซึ่งมีคุณสมบัติเป็นสัญญาณอนาล็อก (Analog) จะถูกบันทึกไว้ในหน่วยจัดเก็บโดยตรง โดยอาศัยเทคโนโลยี DAST (Direct Analog Storage Technology) และการจัดเก็บข้อมูลเสียงจะถูกจัดเก็บในลักษณะที่เป็นสัญญาณอนาล็อกอยู่เช่นเดิมจึงทำให้สัญญาณเสียงที่ได้จากการเล่นกลับมีคุณสมบัติเหมือนต้นกำเนิดเสียง เพราะไม่มีกระบวนการเปลี่ยนสัญญาณอนาล็อกเป็นสัญญาณดิจิทัล (Digital) เข้ามาเกี่ยวข้อง



รูปที่ 3.12 บล็อกไดอะแกรมภายในของไอซี ISD 25XX

จากรูปที่ 3.12 แสดงบล็อกไดอะแกรมภายในของ ISD 25XX เมื่อพิจารณาดูบล็อกไดอะแกรมแล้วก็มีลักษณะคล้ายคลึงกับตระกูล ISD 12XX/14XX มาก หากแต่มีความแตกต่างกันอยู่ในส่วนของบล็อกแอดแดรสบัฟเฟอร์ และบล็อกส่วนการควบคุม นอกจากนั้นยังมีบล็อกมัลติเพล็กซ์สัญญาณอินพุตของเพาเวอร์แอมป์ภายในไอซี เพื่อทำการเลือกที่จะขยายสัญญาณที่ถูกบันทึกเก็บไว้ หรือขยายสัญญาณจากภายนอกที่ขา AUX IN ทั้งหมดนี้เป็นข้อแตกต่างของ ISD 25XX ก็แตกต่างกันดังแสดงข้อมูลทางด้านการทำงานสัญญาณของไอซีในตระกูลไว้ในตารางที่ 3.1

ตารางที่ 3.1 คุณสมบัติทางไฟฟ้าบางอย่างที่แตกต่างกันของไอซีในตระกูล ISD 25XX

เบอร์ไอซี	ระยะเวลาบันทึก	การสุ่มสัญญาณทางอินพุต	ความถี่ที่ผ่านวงจรกรอง	ความถี่สัญญาณนาฬิกาภายใน
ISD2545	45 วินาที	10.6 กิโลเฮิร์ตซ์	4.5 กิโลเฮิร์ตซ์	1365.3 กิโลเฮิร์ตซ์
ISD2560	60 วินาที	8.0 กิโลเฮิร์ตซ์	3.4 กิโลเฮิร์ตซ์	1024 กิโลเฮิร์ตซ์
ISD2575	75 วินาที	6.4 กิโลเฮิร์ตซ์	2.7 กิโลเฮิร์ตซ์	819.2 กิโลเฮิร์ตซ์
ISD2590	90 วินาที	5.33 กิโลเฮิร์ตซ์	2.3 กิโลเฮิร์ตซ์	682.7 กิโลเฮิร์ตซ์

### 3.11.2 การทำงานเบื้องต้น

เบื้องต้นของการทำงานนั้นต้องทำความเข้าใจหรือทราบรายละเอียดของคุณสมบัติทางเทคนิคของไอซีตระกูลนี้เสียก่อนดังแสดงตารางคุณสมบัติทางเทคนิคหรือไฟฟ้าไว้ในในตารางที่ 3.2 รายละเอียดในตารางที่มีความสำคัญมากต่อการใช้เป็นค่าอ้างอิงในการออกแบบใช้งานและการทำงานเบื้องต้นในที่นี้จะกล่าวถึงหน้าที่การใช้งานของแต่ละขาทั้งหมด เพราะหากกล่าวถึงการทำงานธรรมดาก็คือใช้บันทึกเสียงนั้นคือการทำงาน แต่การทำงานของแต่ละขาและหน้าที่ของแต่ละขานั้นมีความสำคัญมากกว่า เพราะจะสามารถนำไอซีไปใช้งานได้ถูกต้องและปลอดภัย (ไอซีไม่เสียหายก่อนจะใช้งานได้)

ตารางที่ 3.2 แสดงคุณสมบัติทางไฟฟ้า ISD 2590

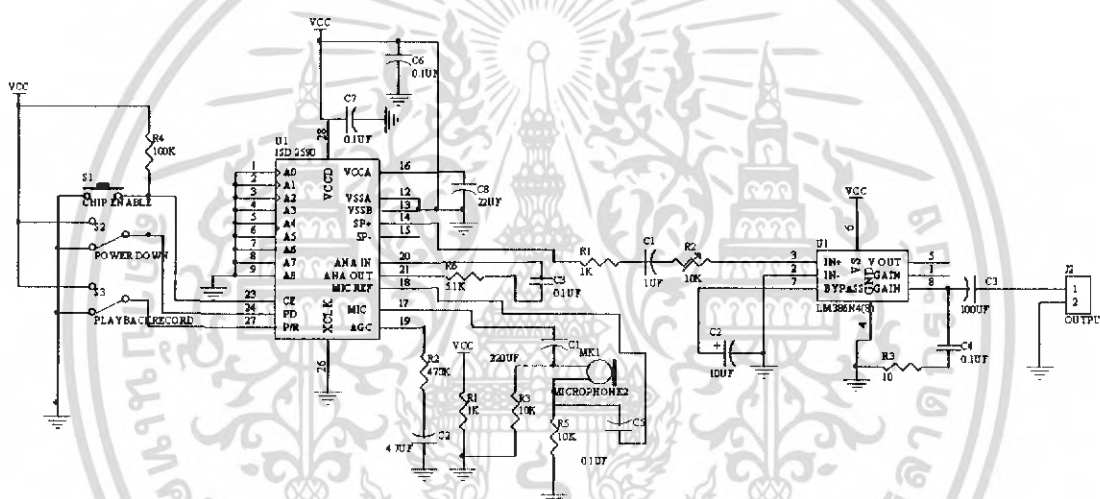
พารามิเตอร์	สัญลักษณ์	ค่า	หน่วย
แรงดันอินพุตด้านต่ำ "0"	Vil	0.8	โวลต์
แรงดันอินพุตด้านสูง "1"	Vih	2	โวลต์
แรงดันเอาต์พุตด้านต่ำ	Vol	0.4	โวลต์
แรงดันเอาต์พุตด้านสูง	Voh	Vcc -0.4	โวลต์
แรงดันเอาต์พุตด้านสูงที่ขา OVF	Vch1	2.4	โวลต์
แรงดันเอาต์พุตด้านสูงที่ขา EOM	Vch2	Vcc-1.0	โวลต์
กระแสของแรงดันไฟเลี้ยงที่ Vcc = 5 โวลต์	Icc	25	มิลลิแอมป์
กระแสขณะสแตนด์บายที่ Vcc = 5 โวลต์	Isb	1-10	ไมโครแอมป์
กระแสรั่วไหลทางอินพุต	Iil	-1,+1	ไมโครแอมป์
อิมพีแดนซ์ของโหลดเอาต์พุต	Rext	16	โอห์ม
ความต้านทานอินพุตของปริแอมป์ไมโครโฟน	Rmic	10	กิโลโอห์ม
ความต้านทานอินพุตของขาอินพุตภายนอก	Raux	10	กิโลโอห์ม
ความต้านทานอินพุตของขาอินพุตอะนาล็อก	Rana in	3	กิโลโอห์ม
อัตราขยายของปริแอมป์ 1	Apr1	24	เดซิเบล

เอกสารนี้เป็นเอกสารที่สงวนไว้สำหรับการใช้งานเพื่อการศึกษาเท่านั้น ไม่อนุญาตให้นำไปใช้ประโยชน์ด้านการค้าไม่ว่ากรณีใดๆ ทั้งสิ้น อีกทั้งห้ามมิให้ดัดแปลงเนื้อหา และต้องอ้างอิงถึงเจ้าของเอกสารทุกครั้งที่มีการนำไปใช้

ตารางที่ 3.2 แสดงคุณสมบัติทางไฟฟ้า ISD 2590 (ต่อ)

พารามิเตอร์	สัญลักษณ์	ค่า	หน่วย
อัตราการขยายของปรีแอมป์ 2	Apr2	5	เดซิเบล
อัตราการขยายของขา AUX (สัญญาณภายนอก)	Aaux	1	โวลต์ต่อโวลต์
อัตราการขยายของภาคขยายเอาท์พุทลำโพง	Aarp	22	เดซิเบล
ความต้านทานเอาท์พุทของขา AGC	Ragc	5	กิโลโอห์ม
แรงดันไฟเลี้ยงตัว ไอซีทั้งหมด	Vcc	5-7	โวลต์
อุณหภูมิขณะทำงาน	Ts	-65 - 150	องศาเซลเซียส

### 3.11.3 วงจรใช้งานของวงจร ISD 25XX



รูปที่ 3.13 แสดงวงจรประยุกต์ใช้งาน ISD 25XX

- Address/Mode Input (A0 – A9)/M4 – M6)

ขา 1-10 ขาแอดเดรสและทั้งหมดอินพุทจะมีอยู่สองฟังก์ชันที่ขึ้นอยู่กับระดับของสอง MSBs ของแอดเดรส ถ้าแอดเดรสใดแอดเดรสหนึ่งของสอง MSBs เป็น "0" อินพุตก็จะมาปรากฏที่แอดเดรสทั้งหมดและใช้เป็นแอดเดรสเริ่มต้นสำหรับวงรอบการบันทึกและเล่นกลับ และแอดเดรสจะเกิดการแลตซ์โดยขอบขาของพัลส์ที่ขา CE และถ้า MSBs มีสถานะเป็น "1" ขาแอดเดรส/โหมคอินพุท จะมาขึ้นอยู่ที่โหมคบิตทั้งหมด และเกิดการแลตซ์เมื่อพัลส์ขอบขาปรากฏที่ขา CE

- Auxiliary Input (AUX IN)

ขา 11 จะเป็นขารับอินพุทจากภายนอกเพื่อทำการมัลติเพล็กซ์สัญญาณผ่านออกไปทางเอาท์พุทลำโพง โดยขั้นตอนการทำงานนี้เกิดขึ้นเมื่อขา CE มีสถานะเป็น 1 วงรอบของการเล่นกลับก็จะสิ้นสุดลงหรือเมื่อสัญญาณที่บันทึกไว้ถูกเล่นกลับจนหมดแล้ว มีการต่อคาสเคด ISD 25XX กันหลาย ๆ ขา AUX

เอกสารนี้เป็นเอกสารที่สงวนไว้สำหรับการใช้งานเพื่อการศึกษาเท่านั้น ไม่อนุญาตให้นำไปใช้ประโยชน์ด้านการค้าไม่ว่ากรณีใดๆ ทั้งสิ้น อีกทั้งห้ามมิให้ดัดแปลงเนื้อหา และต้องอ้างอิงถึงเจ้าของเอกสารทุกครั้งที่มีการนำไปใช้

IN จะถูกใช้เมื่อต่อเข้ากับสัญญาณเล่นกลับที่ออกมาจากขาเอาต์พุตลำโพงของตัวก่อนหน้านี้หรือจากตัวอันดับแรก

- Ground Input (Vssa, Vssd)

ขา 12 และขา 13 โดยมีคุณสมบัติของไอซีในตระกูล ISD 25XX จะมีการแยกกันระหว่างกราวด์ของสัญญาณอนาล็อกและกราวด์ของสัญญาณดิจิทัล ขากราวด์ทั้งสองข้างนี้จะถูกต่อและปิดไว้ในที่เข้าบรรจุของไอซี การใช้งานของกราวด์ทั้งสองจะเลือกต่อกับกราวด์ของเพาเวอร์ซัพพลายในส่วนที่ได้ อิมพีแดนซ์ เพื่อไม่ต้องการให้เกิดค่าแรงดันที่แตกต่างกันระหว่างกันระหว่างกราวด์ทั้งสอง

- Speaker Output (Sp+, Sp-)

ขา 14 และ 15 เป็นขาเอาต์พุตต่อออกลำโพง ในตระกูล ISD 25XX นี้จะมีวงจรขับสัญญาณความแตกต่างออกสู่ลำโพง ซึ่งประกอบอยู่ในตัวไอซีเรียบร้อยแล้ว โดยมีความสามารถในการขับลำโพงเอาต์พุตได้ 50 มิลลิวัตต์ ที่โหลดลำโพง 16 โอห์มขาต่อลำโพงเอาต์พุตทั้งสองนี้จะไม่ต่อขนานกันโดยตรงเด็ดขาดเมื่อต้องถูกใช้ต่ออากาศแตกต่างกันหลาย ๆ ตัว และไม่เหมาะในการต่อลำโพงขนานกันทางเอาต์พุตหลายตัว โดยเฉพาะในบางครั้งขาเอาต์พุตลำโพงสามารถต่ออากาศเดียวกับไอซีอีกตัวได้โดยตรง เพราะมีตัวเก็บประจุคัปปลิงอยู่ภายในเรียบร้อยแล้ว

- Voltage Input (Vcca, Vccd)

ขา 16 และ 28 เป็นขารับแรงดันที่จะต้องแยกกันระหว่างขารับแรงดันของวงจรมอนาล็อกและวงจรมอนาล็อกที่ปรากฏอยู่ในตัวไอซีแล้ว ขารับแรงดันต้องการแรงดันต้องการแรงดันไฟเลี้ยง +5 โวลต์และต้องเป็นแรงดันไฟเลี้ยงที่มีสัญญาณรบกวนต่ำมาก

- Microphone Input (MIC)

ขา 17 จะรับสัญญาณอินพุตที่ผ่านเข้ามาซึ่งไมโครโฟนแล้วส่งผ่านสัญญาณเข้าสู่วงจรปรีแอมป์ที่ประกอบอยู่ในตัวไอซี ภายในประกอบด้วยวงจรควบคุมอัตราขยายอัตโนมัติ (AGC) โดยวงจรนี้จะทำหน้าที่ควบคุมอัตราขยายปรีแอมป์ให้มีอัตราขยายอยู่ในช่วง -15 ถึง 24 เดซิเบล ไมโครโฟนภายนอกจะถูกคัปปลิงผ่านตัวเก็บประจุภายนอกในลักษณะอนุกรมกับขา 17 นี้ ค่าความจุของตัวเก็บประจุคัปปลิงจะกำหนดค่าโดยคำนึงถึงค่าความต้านทาน 10 กิโลโอห์ม ที่ต่ออยู่ภายในกับขา 17 ของไอซีเพื่อทำให้เกิดการคัตออฟที่ความถี่ต่ำ

- Automatic Gain Control Logic (AGC)

ขา 19 เป็นขาอินพุตเพื่อควบคุมการปรับอัตราขยายของปรีแอมป์ของไมโครโฟนทางด้านไดนามิก เพื่อให้เกิดความเหมาะสมกับระดับสัญญาณที่ทำการบันทึกที่มีความผิดเพี้ยนน้อยที่สุดขา AGC นี้จะต้องต่อร่วมกับอุปกรณ์ RC เพื่อกำหนดค่าเวลาซึ่งโดยมีค่าความต้านทานภายใน 5 กิโลโอห์มและจะต่อร่วมกับตัวเก็บประจุ ค่าที่เหมาะสมบางครั้งกำหนดไว้ที่ค่าความต้านทาน 470 กิโลโอห์มและตัวเก็บประจุ 4.7 ไมโครฟารัด

- Analog Input (ANA IN)

ขา 20 จะรับสัญญาณที่ผ่านวงจรปรีแอมป์ออกมาทางขา 21 โดยผ่านตัวเก็บประจุคัปปลิงภายนอกคัปปลิงสัญญาณเข้าที่ขา 20 นี้เพื่อผ่านสัญญาณเข้าไปทำการบันทึกไว้ในตัวไอซีตัวเก็บประจุคัปปลิง

เอกสารนี้เป็นเอกสารที่สงวนไว้สำหรับการใช้งานเพื่อการศึกษาเท่านั้น ไม่อนุญาตให้นำไปใช้ประโยชน์ด้านการค้าไม่ว่ากรณีใดๆ ทั้งสิ้น อีกทั้งห้ามมิให้ดัดแปลงเนื้อหา และต้องอ้างอิงถึงเจ้าของเอกสารทุกครั้งที่มีการนำไปใช้

ภายนอกจะต้องสัมพันธ์กันกับค่าความต้านทานภายในค่า 3 กิโลโอห์ม ซึ่งเป็นอินพุตอินพีแดนซ์ เพื่อที่จะทำให้เป็นวงจรกรองความถี่ต่ำแบบคัตออฟ

- Analog Output (ANA OUT)

ขา 21 เป็นขาเอาต์พุตของวงจรปรีแอมป์ขยายสัญญาณจากไมโครโฟนที่ได้รับสัญญาณควบคุมอัตราการขยายจากวงจร AGC ภายในแล้ว

- Overflow Output (OVF)

ขา 22 สัญญาณพัลส์ “0” จะปรากฏออกมาทางขาเอาต์พุตนี้เป็นการแสดงว่าสิ้นสุดการเล่นกลับหรือหน่วยความจำภายในตัวไอซีได้ถูกอ่านออกมาหมดแล้วและจะแสดงเป็นสถานะหยุดการเล่นกลับพัลส์เอาต์พุตจากขา OVF นี้จะจ่ายให้กับขา CE อินพุตจนกว่าขา PD จะได้รับพัลส์เพื่อทำการรีเซตและเริ่มวงรอบการเล่นกลับใหม่อีกครั้ง พัลส์ที่ขา OVF นี้สามารถใช้เริ่มต้นการทำงาน ISD 25XX ในตัวถัดไปได้เมื่อถูกต่อคาสเคดกันอยู่หลายตัว

- Chip Enable Input (CE)

ขา 23 ขา CE จะต้องได้รับสัญญาณพัลส์ “0” เพื่อทำให้เกิดการเปลี่ยนแปลงระหว่างการเล่นกลับและการบันทึก ที่ขาแอดแอสอินพุตและขา P/R อินพุตจะถูกแลตซ์จากพัลส์ขอบขาของพัลส์ที่ขา CE

- Power Down Input (PD)

ขา 24 ในขณะที่ไม่มีการบันทึกหรือเล่นกลับที่ขา PD จะมีสถานะเป็น “1” ก็จะเป็นการรักษาระดับการสิ้นเปลืองกำลังงานในระดับต่ำมากๆ แต่เมื่อขา OVF มีสถานะเป็น “0” ที่แสดงถึงการเล่นกลับสิ้นสุดลงปรากฏขึ้น ขา PD ปกติจะเป็น “1” อยู่ในขณะนั้นก็จะถูกรีเซตและจะเริ่มกระบวนการบันทึกหรือเล่นกลับใหม่อีกครั้ง

- End-Of-Message / Run Output (EOM)

ขา 25 เป็นส่วนของอุปกรณ์ non-volatile ภายในตัวไอซีที่จะใช้กำหนดหรือระบุการสิ้นสุดของการเก็บข้อมูลที่ทำการบันทึก ขา EOM นี้จะให้เอาต์พุตออกมาเป็น “0” เมื่อข้อมูลที่ถูกบันทึกอยู่ถูกเล่นกลับออกมาหมดแล้ว

- External Clock Input (XCLK)

ขา 26 เป็นขารับสัญญาณนาฬิกาภายนอกเพื่อกำหนดค่าความถี่สัญญาณนาฬิกาในการสุ่มสัญญาณ แต่โดยปกติได้ระบุไว้ว่าสัญญาณนาฬิกาการสุ่มสัญญาณถูกกำหนดไว้ภายในแล้ว ซึ่งจะไม่ขึ้นกับอุณหภูมิภายนอกหรือย่านแรงดันไฟเลี้ยงที่ไม่คงที่การใช้งานปกติแล้วจะต่อขา 25 นี้เข้ากับกราวด์ของไฟเลี้ยง

- Playback/Record Input (P/R)

ขา 27 เมื่อขาอินพุตควบคุมการเล่นกลับและบันทึกได้รับพัลส์ “1” จะเป็นวงรอบของการเล่นกลับ และถ้าเป็นพัลส์ “0” จะเป็นการเลือกวงรอบการบันทึก ถ้าหากได้รับพัลส์ที่ขอบขาของขา CE จะเป็นการแลตซ์อินพุตที่ขา P/R

เมื่อการทำงานทุกอย่างเชื่อมโยงกันอยู่แค่ภายในตัวไอซีเพียงอย่างเดียวก็จะมีผลกระทบต่ออุปกรณ์ภายนอก  
ร่วมน้อยมากก็เป็นการง่ายที่จะประยุกต์เอาไอซีในตระกูลนี้ไปใช้งาน

### 3.11.4 การประยุกต์ใช้งาน

การประยุกต์ใช้งานไอซีตระกูล ISD 25XX นี้ก็ง่ายมากดังการทำงานแต่ละขาใช้งานของไอซีที่  
ได้อธิบายมาแล้วและวงจรประยุกต์ใช้งานแสดงไว้ในรูป 3.15 จะสังเกตเห็นวงจรที่มีความเรียบง่ายและ  
อุปกรณ์ประกอบรวมน้อยมาก สังเกตวงจรนับตั้งแต่ลำโพงที่สามารถต่อโดยตรงกับไอซีเลย  
ไมโครโฟนนั้นหากใช้แบบไดนามิกไมโครโฟนก็สามารถต่อเข้ากับอินพุตไมโครโฟนหรือไอซีได้โดย  
ตรง หากเป็นแบบคอนเดนเซอร์ไมโครโฟนจะต้องมีการไบแอสค่าแรงดันให้กับไมโครโฟนอย่างเหมาะ  
สม ดังที่ได้แสดงไว้ในวงจรประยุกต์ใช้งานนี้ การทำงานนอกเหนือจากนี้คงไม่ต้องอธิบาย เพราะได้  
กล่าวถึงแล้วในการทำงานและหน้าที่ใช้งานของแต่ละขา การประยุกต์ใช้งานไอซีนอกเหนือจากนั้นก็คือ  
การประยุกต์ใช้งานร่วมกับระบบไมโครคอนโทรลเลอร์ควบคุม และการพัฒนาโปรแกรมเพื่อควบคุมผ่าน  
ไมโครคอนโทรลเลอร์ก็สามารถที่จะทำให้ ISD 25XX ทำการบันทึกและเล่นกลับได้ในหลากหลายของ  
ฟังก์ชันการทำงานขึ้นกับความสามารถและประสิทธิภาพของ โปรแกรมควบคุม ลำดับขั้นตอนในการ  
บันทึกและเล่นกลับ แสดงดังตารางที่ 3.3

ตารางที่ 3.3 การใช้งานและควบคุมการทำงานของ ISD 2590

ขั้นตอนการควบคุม	หน้าที่	การปฏิบัติ
10	จ่ายไฟเลี้ยงและเลือกโหมดการ บันทึกหรือเล่นกลับ	(1) PD = 0 (2) เลือกบันทึก / เล่นกลับ
2	Set จุดเริ่มต้นของการบันทึก หรือเล่นกลับ	Set ขา address A0-A9
3A	เริ่มต้นการเล่นกลับ	PR = 1 และ CE = 0
3B	เริ่มต้นการบันทึก	PR = 0 และ CE = 0
4A	สิ้นสุดการเล่นกลับ	อัตรโนมัติ
4B	สิ้นสุดการบันทึก	PD หรือ CE = 1

### 3.11.5 การกำหนดตำแหน่งแอดเดรสเพื่อใช้ในการบันทึกและเล่นกลับ

ISD 2590 สามารถอ้างแอดเดรสเพื่อกำหนดช่วงในการบันทึกและเล่นกลับได้ โดยการควบคุมที่  
ขา A9 ถึง A0 โดยค่าของ A9 ถึง A0 จะถูกควบคุมโดยการกำหนดสถานะให้เป็น "1" หรือ "0" เพื่อเป็น  
การกำหนดตำแหน่งเริ่มต้นของข้อความที่บันทึกหรือเล่นกลับดูตารางที่ 3.4 ซึ่งแสดงตำแหน่งของแอด  
เดรสต่าง ๆ ดังต่อไปนี้

เอกสารนี้เป็นเอกสารที่สงวนไว้สำหรับการใช้งานเพื่อการศึกษาเท่านั้น ไม่อนุญาตให้นำไปใช้ประโยชน์ด้านการค้า  
ไม่ว่ากรณีใดๆ ทั้งสิ้น อีกทั้งห้ามมิให้ดัดแปลงเนื้อหา และต้องอ้างอิงถึงเจ้าของเอกสารทุกครั้งที่มีการนำไปใช้

จากตารางที่ 3.4 ถ้ากำหนดให้แอดเดรส A9 ถึง A0 มีสถานะเป็น “0” ทั้งหมด การบันทึกการเล่น กลับจะเริ่มต้นในวินาทีที่ 0 ในการออกแบบจะใช้ไอซี ISD 2590 2 ตัว โดยให้ทำหน้าที่ในการบันทึก เสียงที่กำหนดไว้ส่งเป็นเสียงเตือนภัยในโทรศัพท์

ตารางที่ 3.4 การกำหนดแอดเดรสของ ISD 2590

เลขฐานสิบ	เลขฐานสอง										วินาที
	A9	A8	A7	A6	A5	A4	A3	A2	A1	A0	
0	0	0	0	0	0	0	0	0	0	0	0
120	0	0	0	1	1	1	1	0	0	0	18
240	0	0	1	1	1	1	0	0	0	0	36
360	0	1	0	1	1	0	1	0	0	0	54
480	0	1	1	1	1	0	0	0	0	0	72

เอกสารนี้เป็นเอกสารที่สงวนไว้สำหรับการใช้งานเพื่อการศึกษาเท่านั้น ไม่อนุญาตให้นำไปใช้ประโยชน์ด้านการค้า ไม่ว่ากรณีใดๆ ทั้งสิ้น อีกทั้งห้ามมิให้ดัดแปลงเนื้อหา และต้องอ้างอิงถึงเจ้าของเอกสารทุกครั้งที่มีการนำไปใช้

## บทที่ 4

### การทดลองและผลการทดลอง

#### 4.1 ผลการทดลองของวงจรอุณหภูมิ

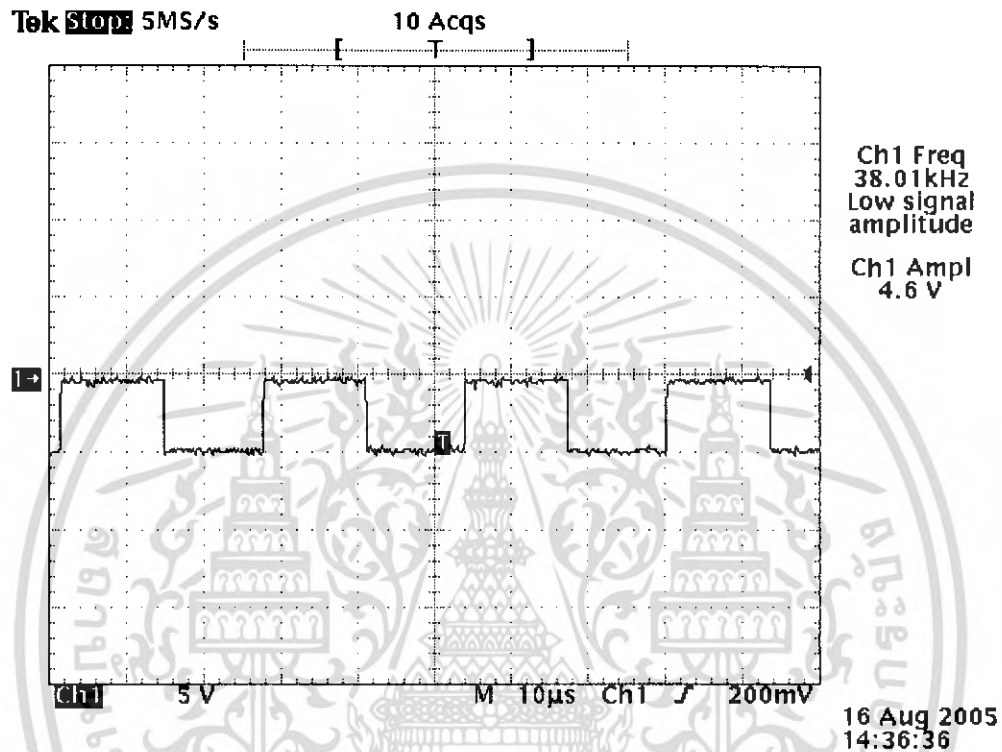
จากวงจรอุณหภูมิจะทำการทดลองโดยการตั้งค่าแรงดันอ้างอิง ( $V_{ref}$ ) ตามค่าแรงดันตามตาราง จากนั้นจะทำการจ่ายแรงดันที่ขั้วของเทอร์มิสเตอร์แล้วนำค่าแรงดันมาเปรียบเทียบกับไอซีเบอร์ LM339 ซึ่งถ้าแรงดันมันแตกต่างกับค่าแรงดันอ้างอิงประมาณ 1 โวลต์ก็จะถึงจุดที่สามารถทำให้ตัวทรานซิสเตอร์ทำงานได้โดยการขับรีเลย์ซึ่งจะทำการส่งสถานะ “1” ไปให้ไมโครคอนโทรลเลอร์ และ จะไม่ทำงานจะแสดงสถานะเป็น “0”

ตารางที่ 4.1 เปรียบเทียบอุณหภูมิกับความต้านทานและแรงดัน

อุณหภูมิ(องศาเซลเซียส)	R(K $\Omega$ )	Vตกคร่อม R reference(V)	Vตกคร่อม thermister(V)
30	2.32	2.4	3.0
40	2.92	3.8	4.0
50	3.66	4.3	4.5
60	4.519	5.1	5.3

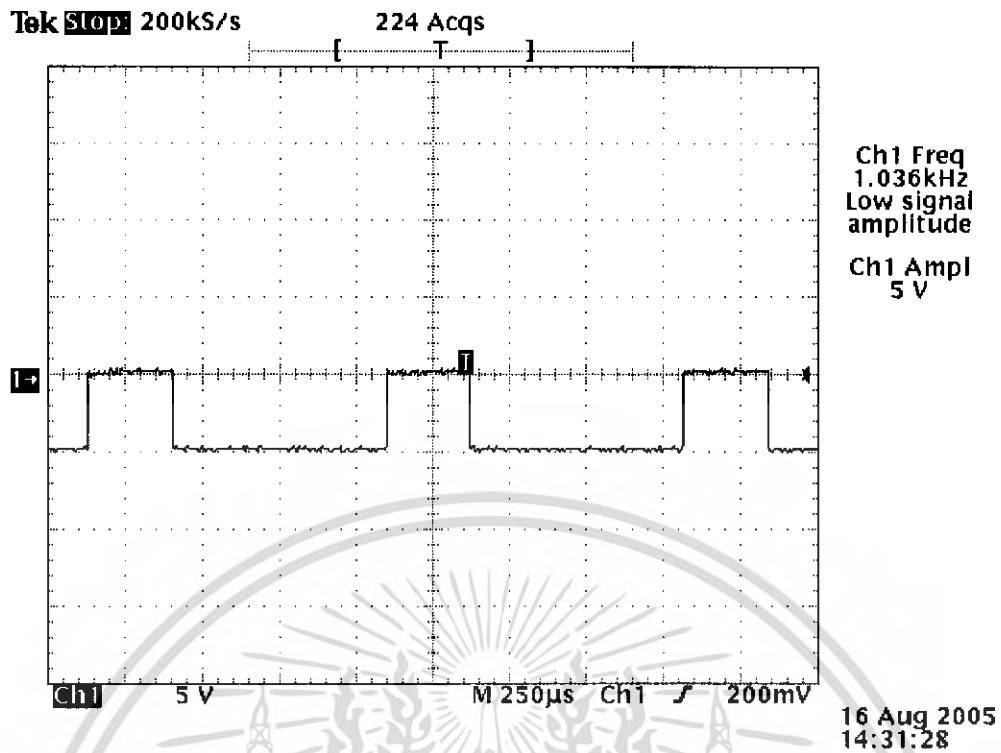
#### 4.2 ผลการทดลองภาคส่งของวงจรอินฟราเรด

ทำการจ่ายแรงดันให้กับภาคส่งอินฟราเรด โดยการผลิตสัญญาณโทนเป็นความถี่ 1KHz โดยใช้ NAND GATE ตามค่าของ R และ C โดยการปรับค่าที่ VR 100K ให้ได้ความถี่ที่ต้องการแล้วนำมาคูณเลขกับความถี่พาหะ (Carrier) ความถี่ 40KHz นำค่าสัญญาณโทนผสมไปกับคลื่นพาหะส่งไปยัง LED Infrared ส่งแสงออกไปดังรูปที่ 4.1

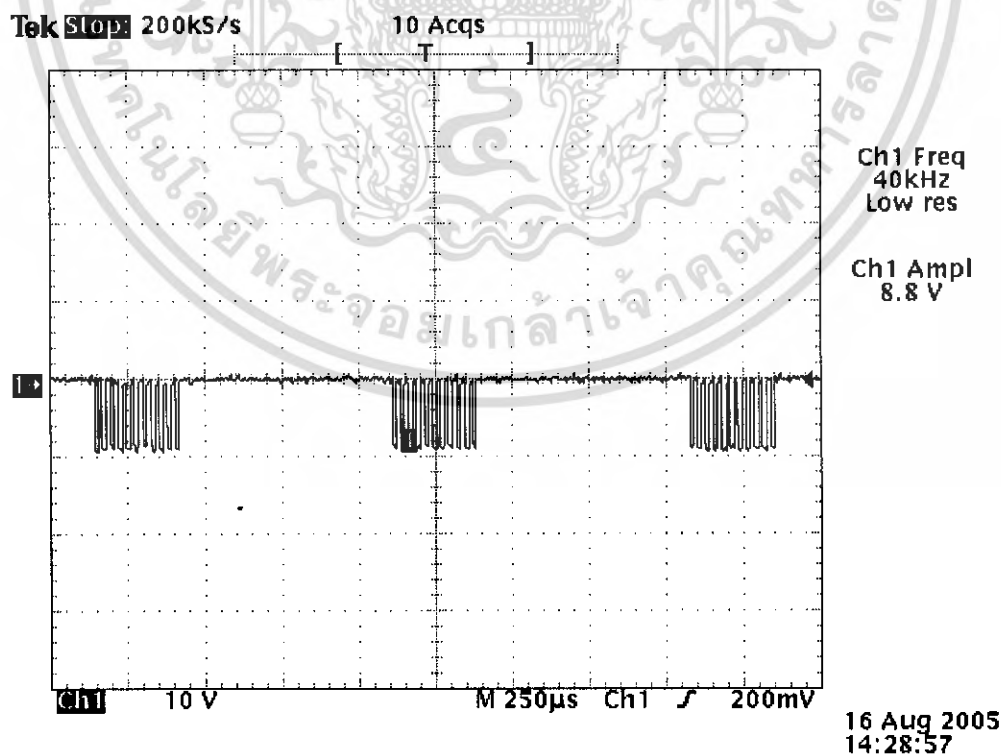


รูปที่ 4.1 ผลิตความถี่สัญญาณคลื่นพาหะ 40 KHz ปรับค่าที่ VR 100 K

เอกสารนี้เป็นเอกสารที่สงวนไว้สำหรับการใช้งานเพื่อการศึกษาเท่านั้น ไม่อนุญาตให้นำไปใช้ประโยชน์ด้านการค้าไม่ว่ากรณีใดๆ ทั้งสิ้น อีกทั้งห้ามมิให้ดัดแปลงเนื้อหา และต้องอ้างอิงถึงเจ้าของเอกสารทุกครั้งที่มีการนำไปใช้



รูปที่ 4.2 ผลึกความถี่ของสัญญาณโทนสามารถปรับค่า VR 100 K ป้อนให้ได้ 1 KHz

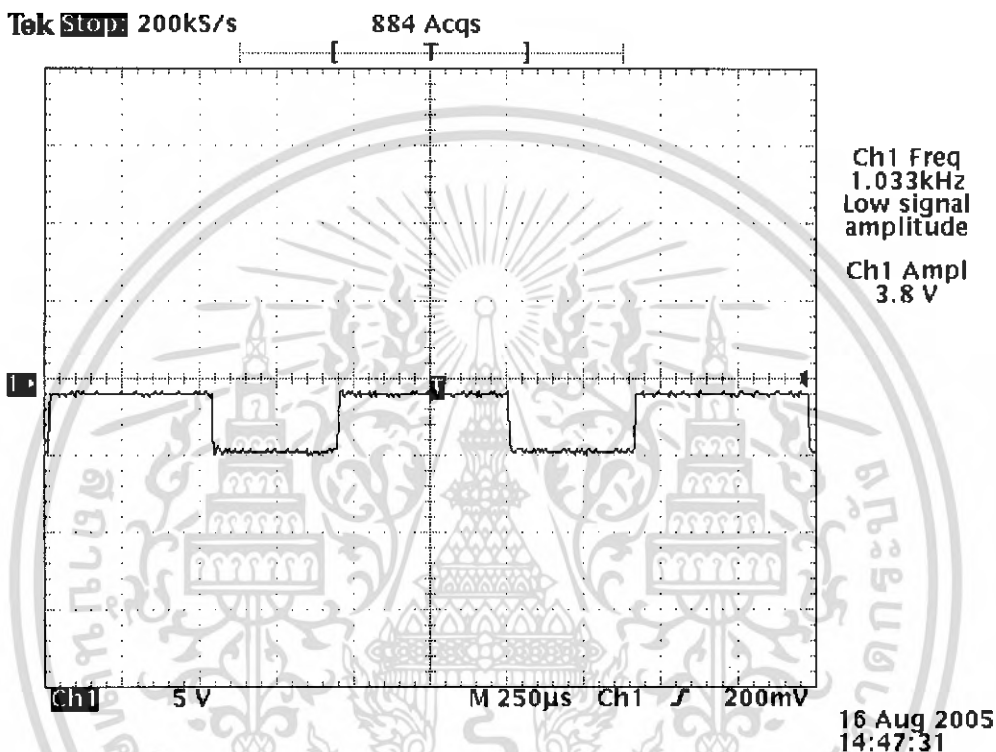


รูปที่ 4.3 ภาดส่งอินฟราเรด

เอกสารนี้เป็นเอกสารที่สงวนไว้สำหรับการใช้งานเพื่อการศึกษาเท่านั้น ไม่อนุญาตให้นำไปใช้ประโยชน์ด้านการค้าไม่ว่ากรณีใดๆ ทั้งสิ้น อีกทั้งห้ามมิให้ดัดแปลงเนื้อหา และต้องอ้างอิงถึงเจ้าของเอกสารทุกครั้งที่มีการนำไปใช้

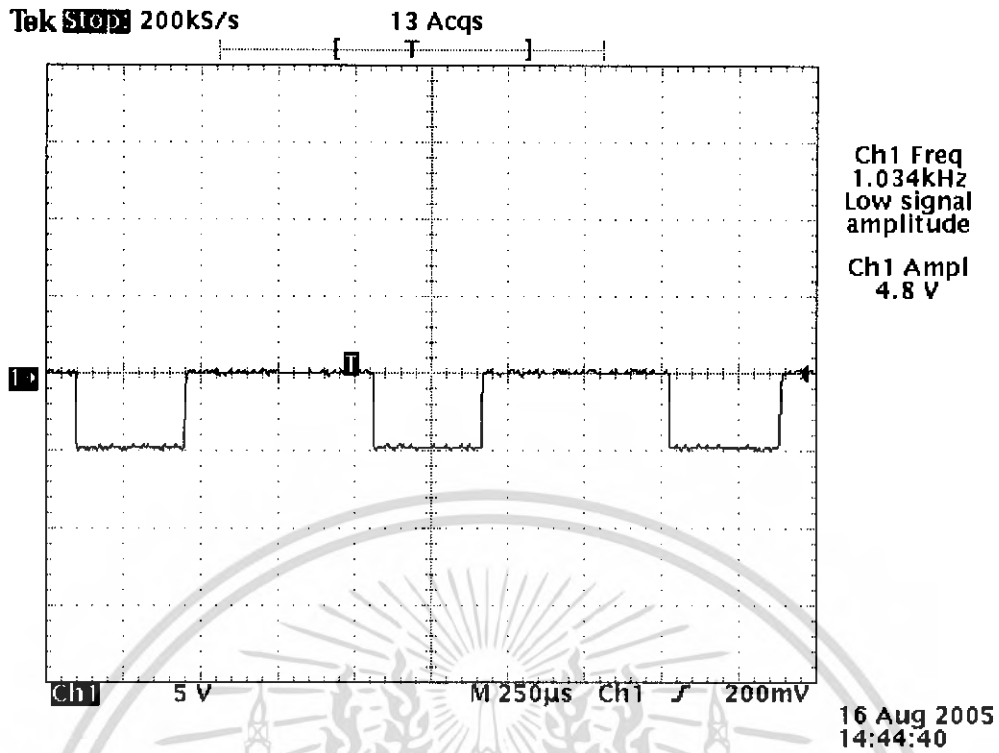
### 4.3 ผลการทดลองภาครับของวงจรอินฟราเรด

ทำการจ่ายไฟให้แก่ภาครับอินฟราเรดด้วยตัว IR Detector จะรับเอาความถี่มาทุกความถี่และทำการดิเทคเฉพาะความถี่ 1KHz ออกมาโดยใช้ Low Pass Filter จะให้ความถี่คลื่นพาหะเป็นความถี่สูงจะทำการตัดทิ้งไปเหลือแต่สัญญาณ 1KHz นำมาเปรียบเทียบกับแรงดันก่อนที่จะขยายให้มีความแรงมากขึ้นเพื่อจะไปทริกให้ทรานซิสเตอร์ทำให้กระแสไหลผ่านรีเลย์และจะส่งสถานะให้ไมโครคอนโทรลเลอร์

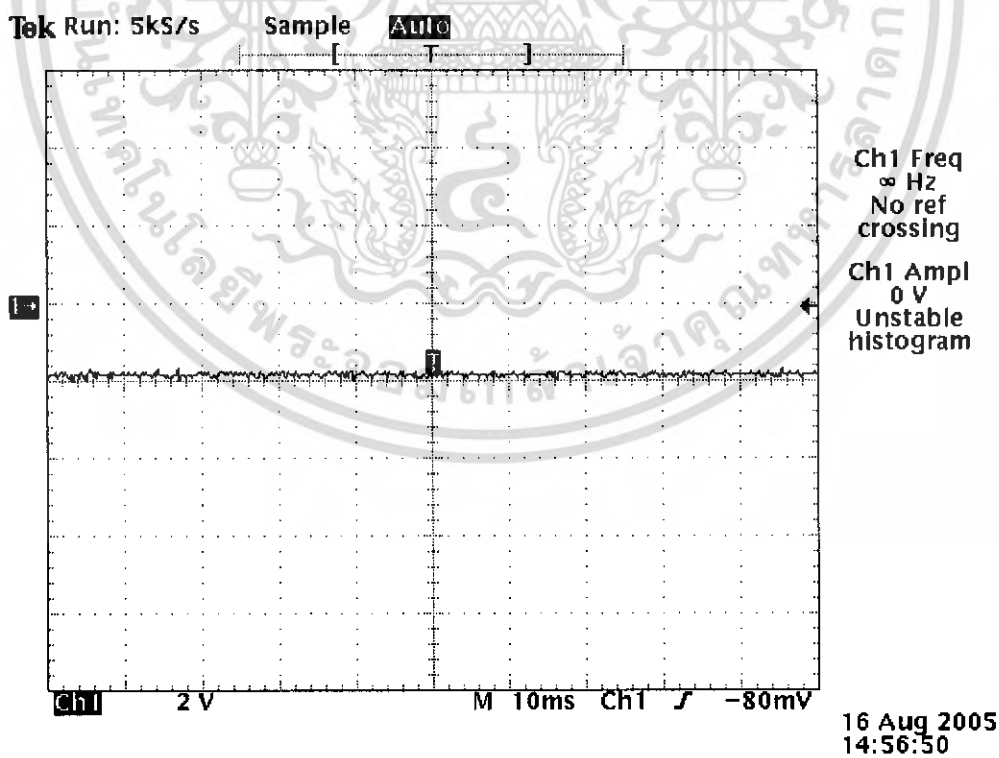


รูปที่ 4.4 ภาครับอินฟราเรด

เอกสารนี้เป็นเอกสารที่สงวนไว้สำหรับการใช้งานเพื่อการศึกษาเท่านั้น ไม่อนุญาตให้นำไปใช้ประโยชน์ด้านการค้าไม่ว่ากรณีใดๆ ทั้งสิ้น อีกทั้งห้ามมิให้ดัดแปลงเนื้อหา และต้องอ้างอิงถึงเจ้าของเอกสารทุกครั้งที่มีการนำไปใช้

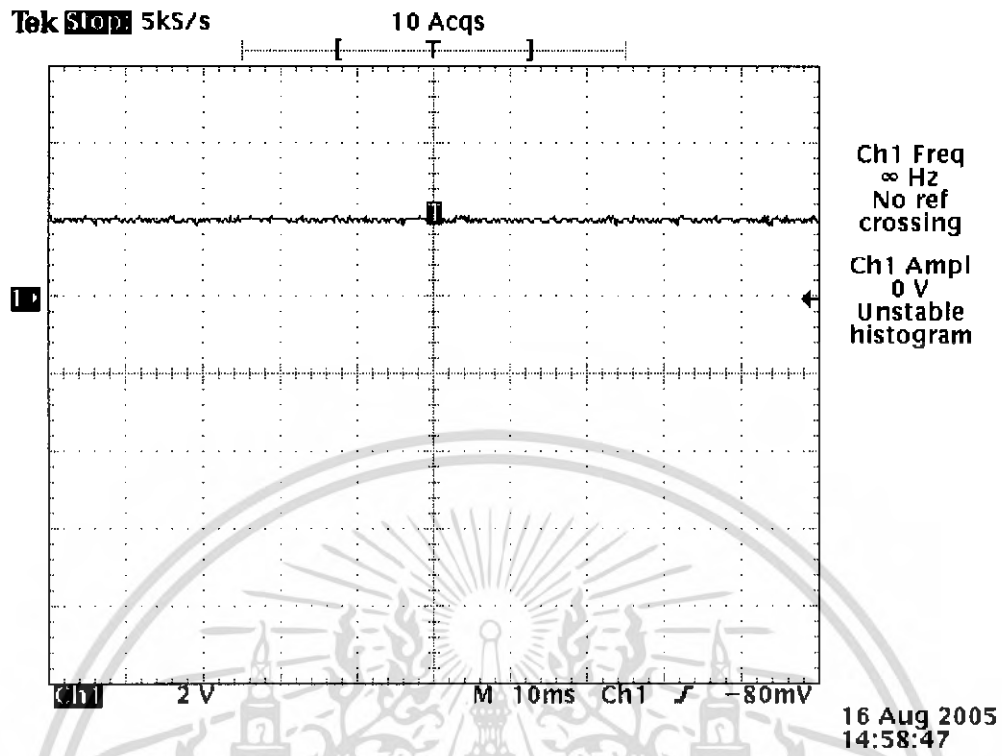


รูปที่ 4.5 ขยายความถี่ที่รับมาได้ให้มีความแรงขึ้น



รูปที่ 4.6 ขณะมีสิ่งกีดขวางของ IC แสดงสถานะ “1”

เอกสารนี้เป็นเอกสารที่สงวนไว้สำหรับการใช้งานเพื่อการศึกษาเท่านั้น ไม่อนุญาตให้นำไปใช้ประโยชน์ด้านการค้าไม่ว่ากรณีใดๆ ทั้งสิ้น อีกทั้งห้ามมิให้ดัดแปลงเนื้อหา และต้องอ้างอิงถึงเจ้าของเอกสารทุกครั้งที่มีการนำไปใช้

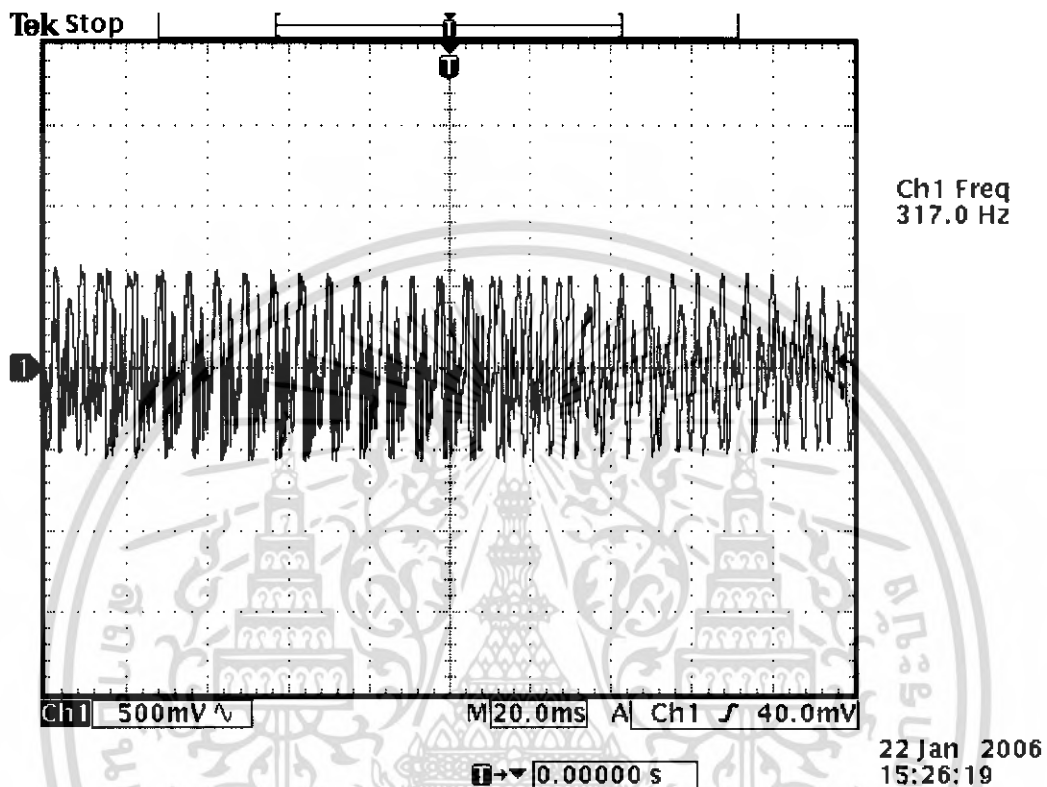


รูปที่ 4.7 ขณะไม่มีสิ่งกีดขวางของ IC แสดงสถานะ “0”

เอกสารนี้เป็นเอกสารที่สงวนไว้สำหรับการใช้งานเพื่อการศึกษาเท่านั้น ไม่อนุญาตให้นำไปใช้ประโยชน์ด้านการค้า  
ไม่ว่ากรณีใดๆ ทั้งสิ้น อีกทั้งห้ามมิให้ดัดแปลงเนื้อหา และต้องอ้างอิงถึงเจ้าของเอกสารทุกครั้งที่มีการนำไปใช้

#### 4.4 ผลการทดลองจากวงจรบันทึกเสียง

ในส่วนของวงจรบันทึกเสียงจะทำงานก็ต่อเมื่อมีผู้รับสายวงจรบันทึกก็จะทำงานโดยการส่งสัญญาณเสียงที่เราได้ทำการบันทึกไว้ส่งไปในคู่สายโทรศัพท์เพื่อทำการเตือนภัยซึ่งได้ทำการวัดผลการทดลองเป็นตัวอย่างการบันทึกเสียงทางด้าน Output ได้ดังรูปที่ 4.8



รูปที่ 4.8 ตัวอย่างสัญญาณเสียงที่ได้จากการบันทึกลงในไอซี ISD 2590

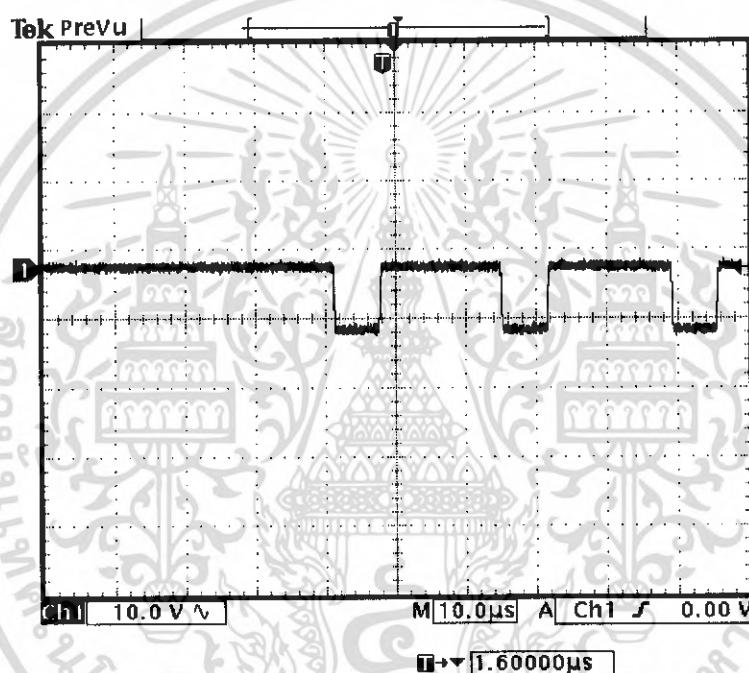
เอกสารนี้เป็นเอกสารที่สงวนไว้สำหรับการใช้งานเพื่อการศึกษาเท่านั้น ไม่อนุญาตให้นำไปใช้ประโยชน์ด้านการค้าไม่ว่ากรณีใดๆ ทั้งสิ้น อีกทั้งห้ามมิให้ดัดแปลงเนื้อหา และต้องอ้างอิงถึงเจ้าของเอกสารทุกครั้งที่มีการนำไปใช้

#### 4.5 ผลการทดลองจากวงจรตรวจจับควัน

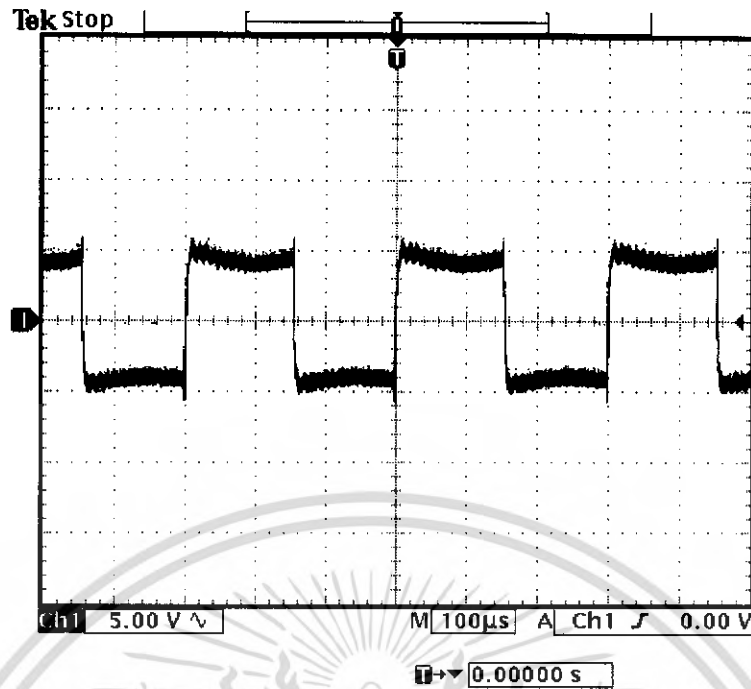
อุปกรณ์ตรวจจับควันจะทำได้ก็ต่อเมื่อมีควันมาทำปฏิกิริยากับ Chamber Detector Sensor ซึ่งทำให้ค่ากระแสไฟฟ้าเกิดการเปลี่ยนแปลงซึ่งจะไปตามคุณสมบัติของไอซีเบอร์ MC14467P1 โดยเมื่อค่ากระแสไฟฟ้าลดลงอุปกรณ์ตรวจจับควันก็จะทำงานดังผลการทดลองดังต่อไปนี้ โดยเราสามารถทดลองได้ 2 กรณีคือ

1. จากการใช้ Test Mode ในวงจร
2. จากการวัดค่าจริงโดยใช้ควัน

รูปแสดงเปรียบเทียบสัญญาณ Detector Output ขา 1 ขณะที่ไม่มีความระหว่าง Test mode กับ ควันจริง

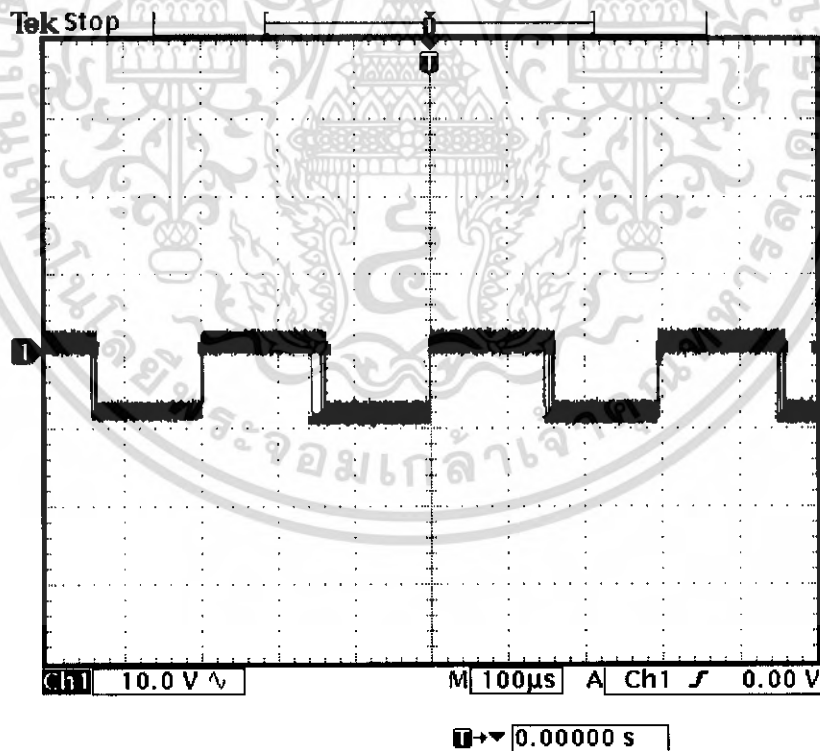


รูปที่ 4.9 สัญญาณ Detector Output ขา 1 ของไอซี MC14467P1 ขณะที่ไม่มีความ (Test mode)



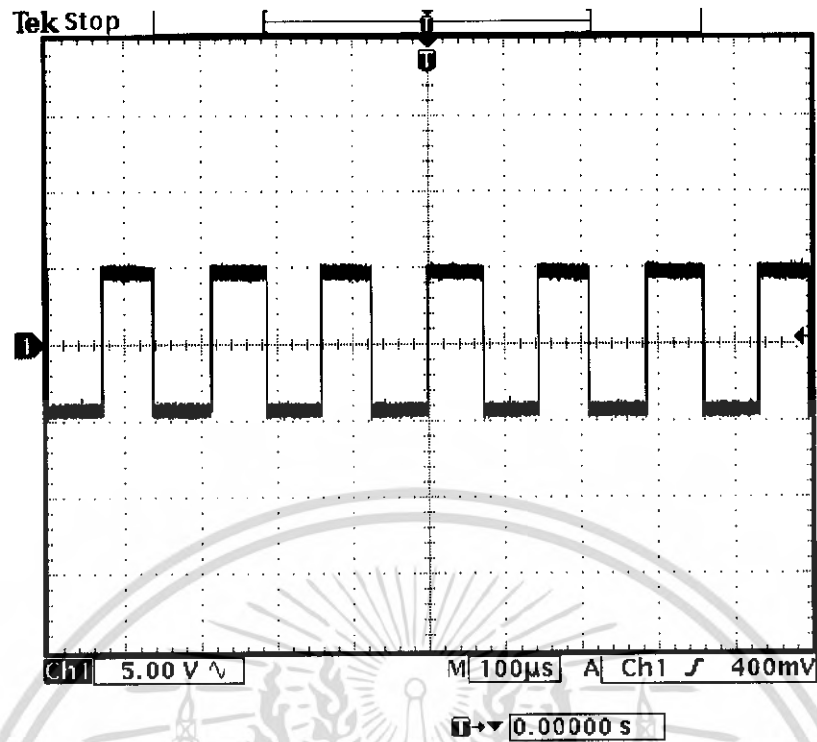
รูปที่ 4.10 สัญญาณ Detector Output ขา 1 ของไอซี MC14467P1 ขณะที่ไม่มีความถี่ (จากคลื่นจริง)

รูปแสดงเปรียบเทียบสัญญาณ Output ขา 10 ขณะที่มีความถี่ระหว่าง Test mode กับ คลื่นจริง



รูปที่ 4.11 สัญญาณ Output ขา 10 ของไอซี MC14467P1 ที่ใช้ขับทรานซิสเตอร์เพื่อขับ Relay ขณะที่มีความถี่ (Test mode)

เอกสารนี้เป็นเอกสารที่สงวนไว้สำหรับการใช้งานเพื่อการศึกษาเท่านั้น ไม่อนุญาตให้นำไปใช้ประโยชน์ด้านการค้าไม่ว่ากรณีใดๆ ทั้งสิ้น อีกทั้งห้ามมิให้ดัดแปลงเนื้อหา และต้องอ้างอิงถึงเจ้าของเอกสารทุกครั้งที่มีการนำไปใช้

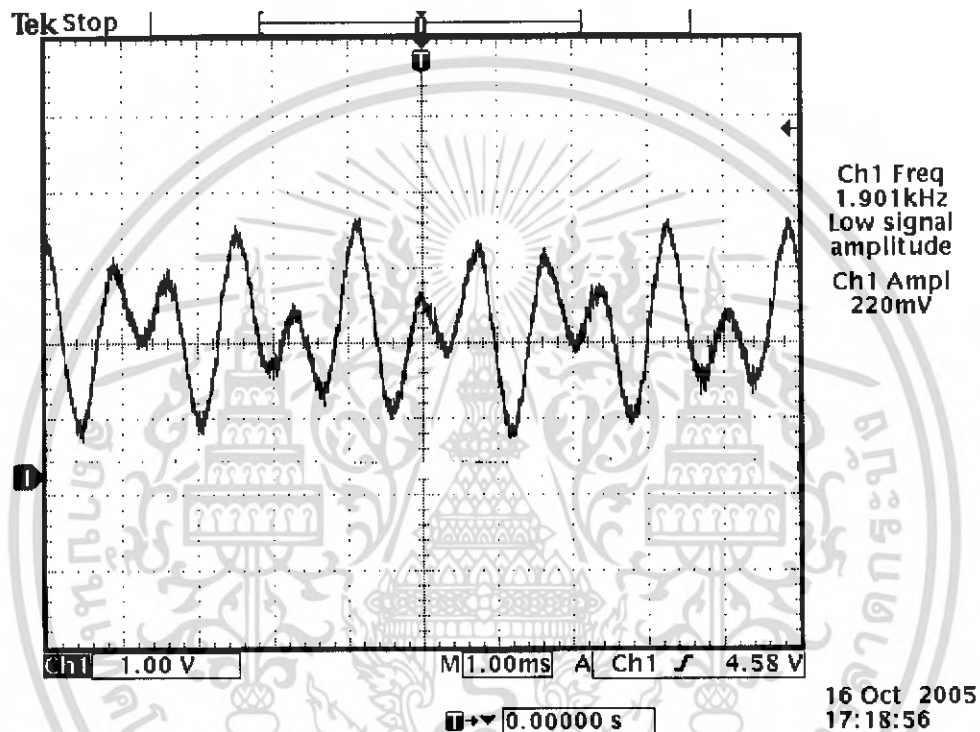


รูปที่ 4.12 สัญญาณ Output ขา 10 ของไอซี MC14467P1 ที่ใช้ขับทรานซิสเตอร์เพื่อขับ Relay ขณะที่มีควีน (จากควีนจริง)

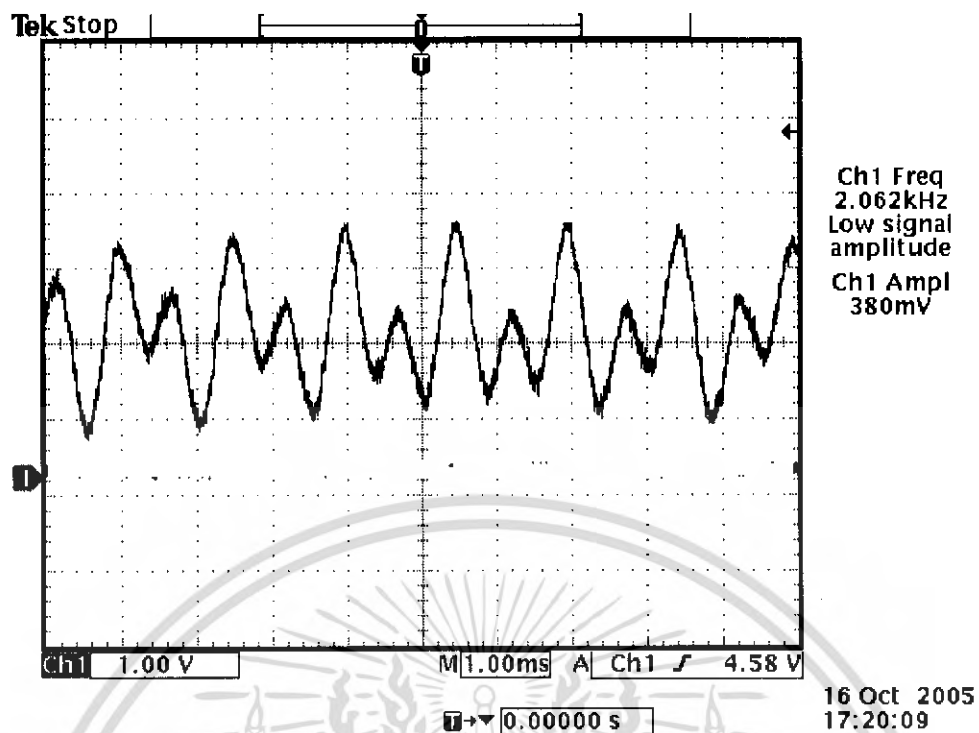
เอกสารนี้เป็นเอกสารที่สงวนไว้สำหรับการใช้งานเพื่อการศึกษาเท่านั้น ไม่อนุญาตให้นำไปใช้ประโยชน์ด้านการค้าไม่ว่ากรณีใดๆ ทั้งสิ้น อีกทั้งห้ามมิให้ดัดแปลงเนื้อหา และต้องอ้างอิงถึงเจ้าของเอกสารทุกครั้งที่มีการนำไปใช้

#### 4.6 ผลการทดลองจากการกดสัญญาณดีทีเอ็มเอฟ

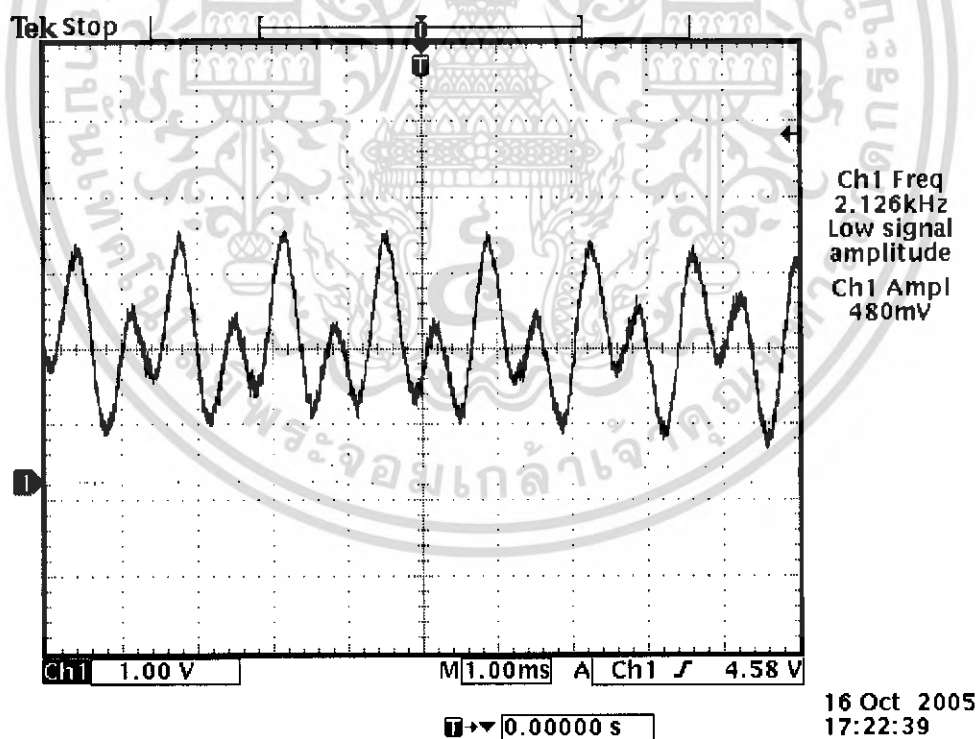
การกำเนิดสัญญาณดีทีเอ็มเอฟออกไปยังขุมสายเพื่อติดต่อสถานีปลายทางนั้น ระบบจะกำเนิดสัญญาณดีทีเอ็มเอฟออกจาก TCM 5087 แล้วส่งออกไปยังขุมสายโทรศัพท์ เพื่อให้ระบบสามารถติดต่อกับผู้ที่ต้องการแจ้งเหตุต่างๆ จากการทดลองทำการวัดรูปคลื่นของสัญญาณที่ออกจาก TCM 5087 พบว่าสัญญาณที่ถูกส่งออกไปนั้น เป็นรูปคลื่นที่ประกอบด้วย 2 ความถี่ผสมกัน ดังผลการวัดสัญญาณดีทีเอ็มเอฟตั้งแต่หมายเลข 1 ถึง 3 ดังรูปที่ 4.13 ถึง 4.15



รูปที่ 4.13 ลักษณะรูปคลื่นของสัญญาณเลข 1 ที่กำเนิดจาก TCM 5087ซึ่งมีความถี่ 697 Hz และ 1209Hz



รูปที่ 4.14 ลักษณะรูปคลื่นของสัญญาณเลข 2 ที่กำเนิดจาก TCM 508 ซึ่งมีความถี่ 697 Hz และ 1336 Hz

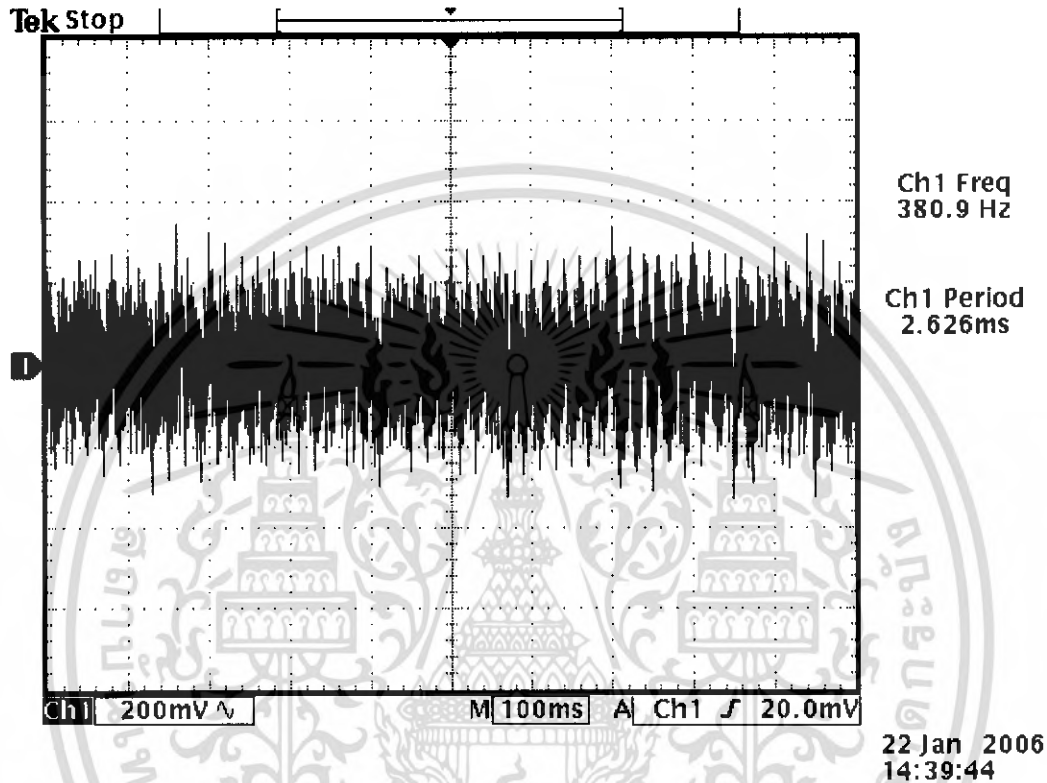


รูปที่ 4.15 ลักษณะรูปคลื่นของสัญญาณเลข 3 ที่กำเนิดจาก TCM 5087 ซึ่งมีความถี่ 697 Hz และ 1477 Hz

เอกสารนี้เป็นเอกสารที่สงวนไว้สำหรับการใช้งานเพื่อการศึกษาเท่านั้น ไม่อนุญาตให้นำไปใช้ประโยชน์ด้านการค้าไม่ว่ากรณีใดๆ ทั้งสิ้น อีกทั้งห้ามมิให้ดัดแปลงเนื้อหา และต้องอ้างอิงถึงเจ้าของเอกสารทุกครั้งที่มีการนำไปใช้

#### 4.7 ผลการทดลองจากการวัดสัญญาณยกหู (Dial Tone)

เมื่ออุปกรณ์ตรวจจับทำงานแล้วสั่งให้ไมโครคอนโทรลเลอร์ทำการโทรออก ในการยกหูจะใช้หม้อแปลงอิมพีแดนซ์ 600:600 เป็นตัวคัปปลิ่งสัญญาณดีทีเอ็มเอฟออกไปเมื่อทำการยกหูค่าโวลต์จาก 48 โวลต์ตกลงมาเหลือ 9 โวลต์ซึ่งทำให้ชุมสายรับรู้ว่าจะมีการยกหูก็จะทำให้ชุมสายส่งสัญญาณ (Dial Tone) ออกมาให้เพื่อส่งดีทีเอ็มเอฟดังรูปที่ 4.16

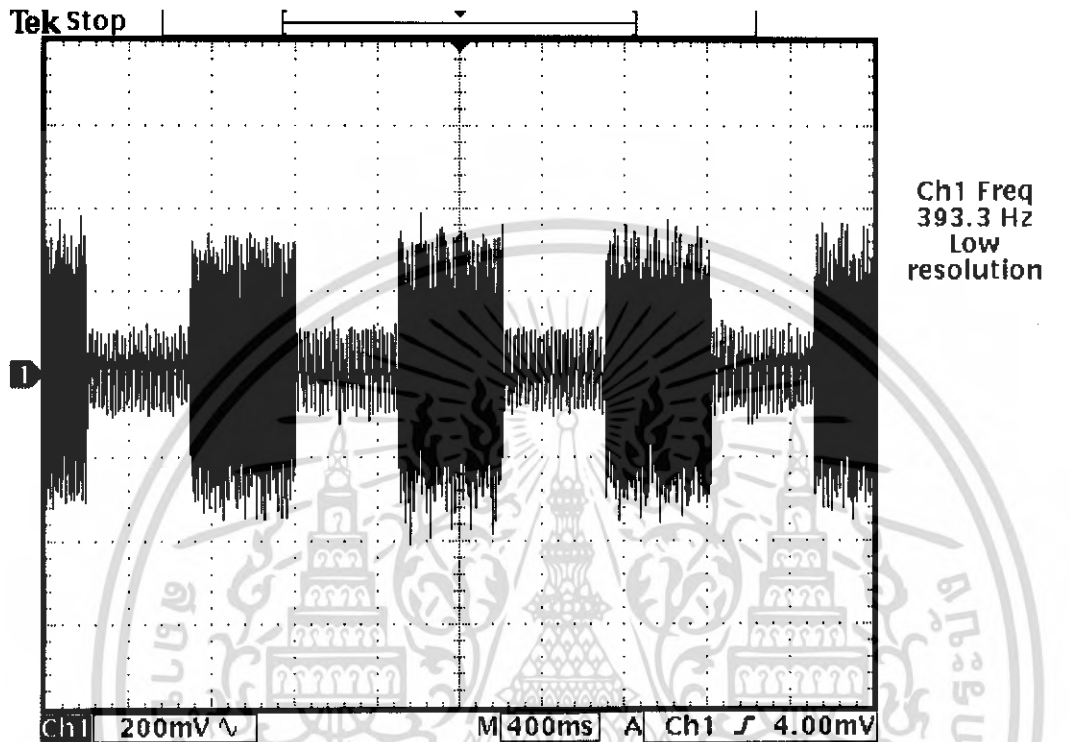


รูปที่ 4.16 รูปสัญญาณยกหู (Dial Tone)

เอกสารนี้เป็นเอกสารที่สงวนไว้สำหรับการใช้งานเพื่อการศึกษาเท่านั้น ไม่อนุญาตให้นำไปใช้ประโยชน์ด้านการค้าไม่ว่ากรณีใดๆ ทั้งสิ้น อีกทั้งห้ามมิให้ดัดแปลงเนื้อหา และต้องอ้างอิงถึงเจ้าของเอกสารทุกครั้งที่มีการนำไปใช้

#### 4.8 ผลการทดลองจากการวัดสัญญาณไม่ว่าง (Busy Tone)

เมื่อทำการโทรออกชุมสายจะทำการตรวจสอบ หากคู่สายไม่ว่างหรือโทรออกไปไม่มีคนรับสายส่วนของชุมสายก็จะทำการส่งสัญญาณไม่ว่าง (Busy Tone) มายังต้นทางหรือผู้ที่ทำการโทรออก สัญญาณไม่ว่าง (Busy Tone) มีความถี่ประมาณ 400 Hz



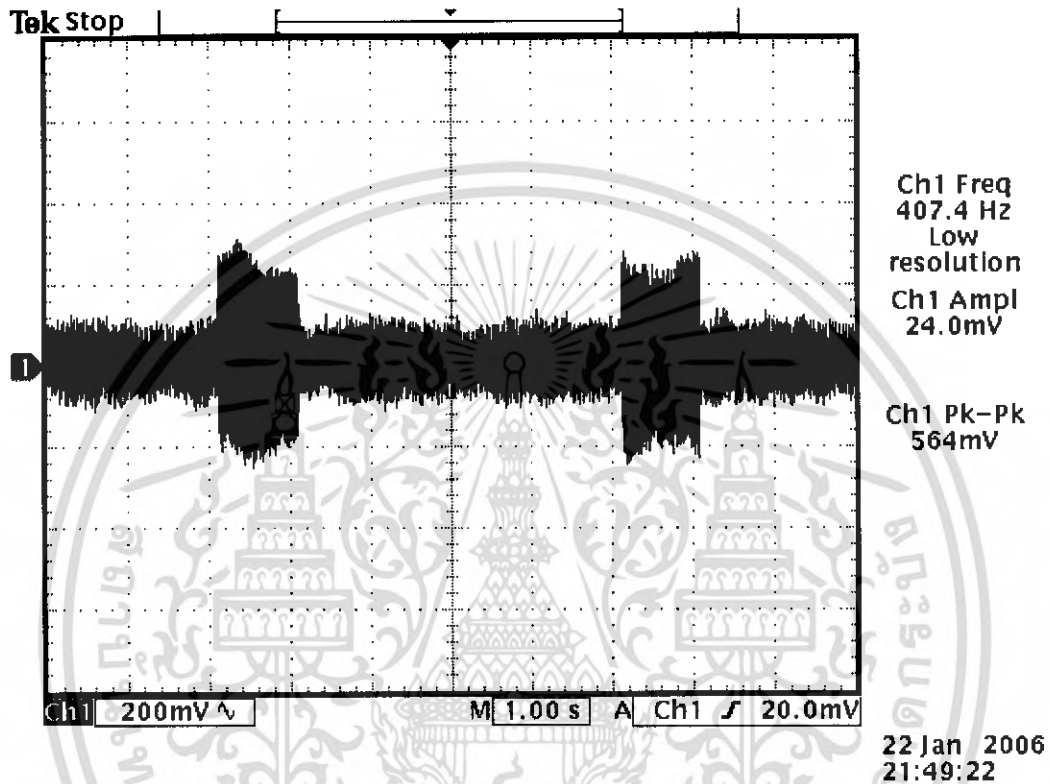
22 Jan 2006  
15:14:37

รูปที่ 4.17 รูปสัญญาณไม่ว่าง (Busy Tone)

เอกสารนี้เป็นเอกสารที่สงวนไว้สำหรับการใช้งานเพื่อการศึกษาเท่านั้น ไม่อนุญาตให้นำไปใช้ประโยชน์ด้านการค้าไม่ว่ากรณีใดๆ ทั้งสิ้น อีกทั้งห้ามมิให้ดัดแปลงเนื้อหา และต้องอ้างอิงถึงเจ้าของเอกสารทุกครั้งที่มีการนำไปใช้

#### 4.9 ผลการทดลองจากการวัดสัญญาณเรียกกลับ (Ring Back Tone)

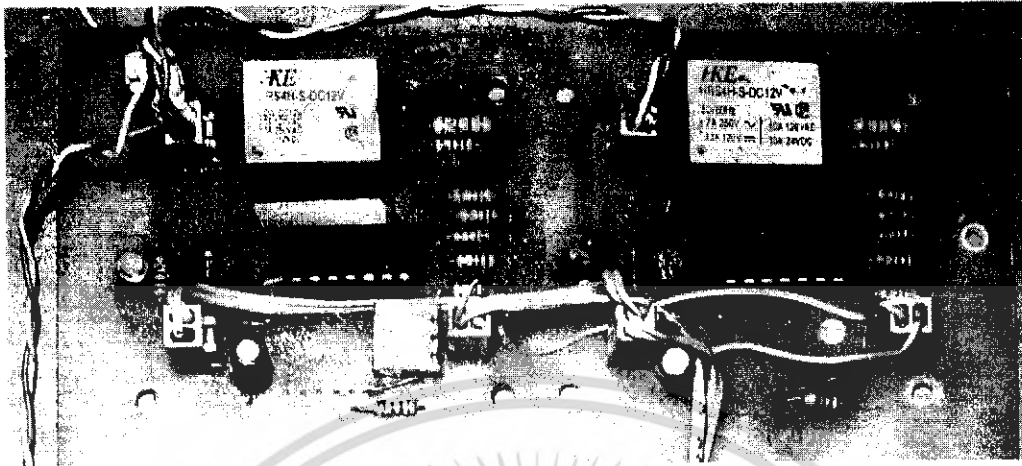
เมื่อทำการโทรออกไปยังชุมสาย และชุมสายก็จะส่งก็จะตรวจสอบว่าคู่สายปลายทางว่างหรือไม่ ถ้าคู่สายว่างก็จะทำการส่งสัญญาณเรียกกลับ (Ring Back Tone) มายังต้นทางสัญญาณเรียกกลับ (Ring Back Tone) มีความถี่ประมาณ 400 Hz และก็จะทำการส่งสัญญาณกระดิ่ง (Ringing Tone) ไปยังปลายทาง



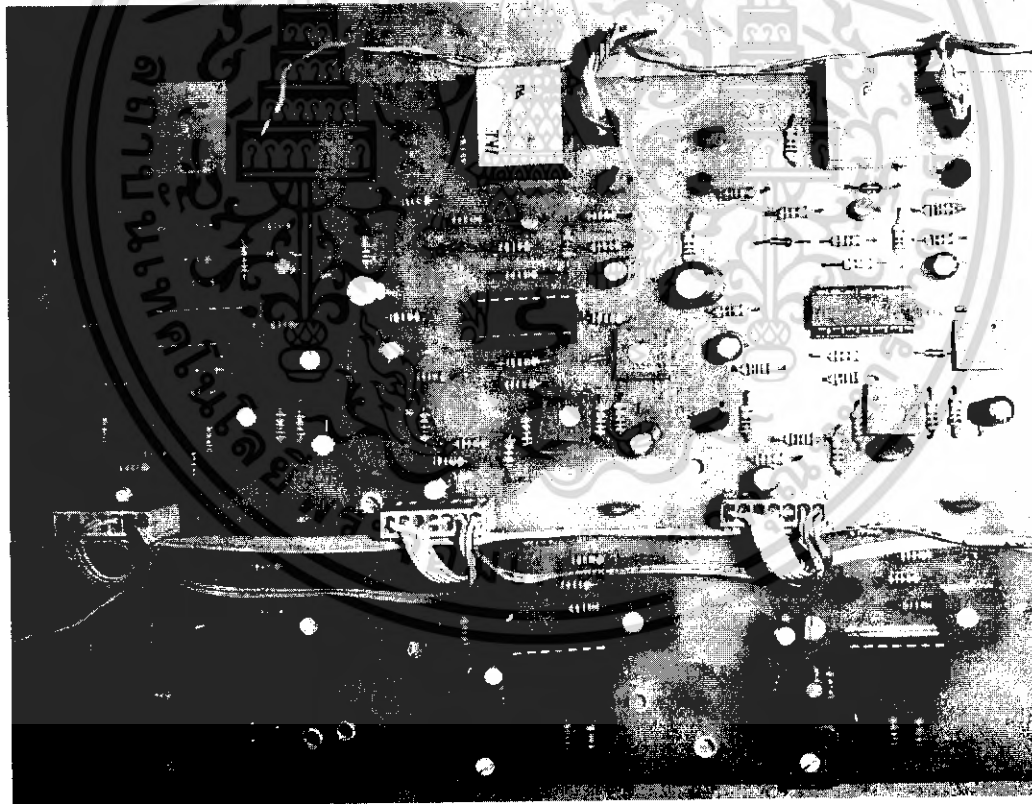
รูปที่ 4.18 รูปสัญญาณเรียกกลับ (Ring Back Tone)

เอกสารนี้เป็นเอกสารที่สงวนไว้สำหรับการใช้งานเพื่อการศึกษาเท่านั้น ไม่อนุญาตให้นำไปใช้ประโยชน์ด้านการค้า  
ไม่ว่ากรณีใดๆ ทั้งสิ้น อีกทั้งห้ามมิให้ดัดแปลงเนื้อหา และต้องอ้างอิงถึงเจ้าของเอกสารทุกครั้งที่มีการนำไปใช้

## รูปภาพจากวงจรจริงที่เสร็จสมบูรณ์

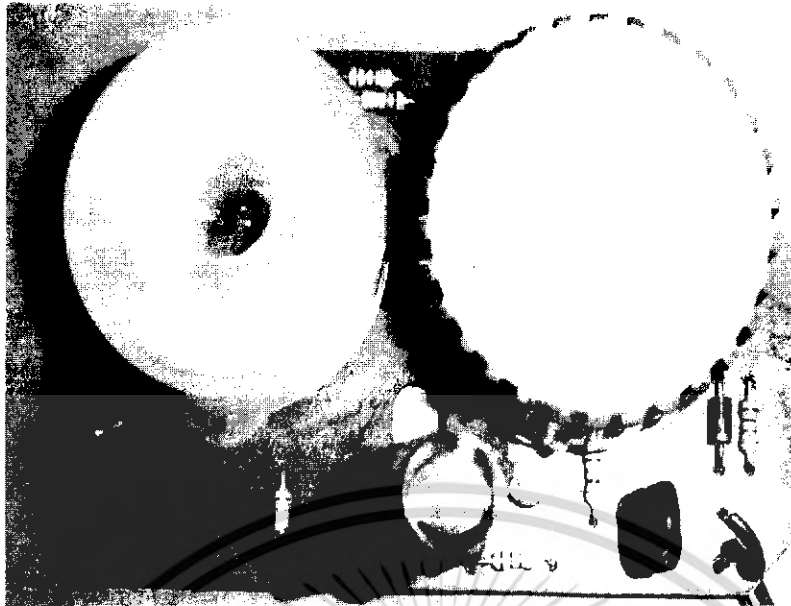


รูปที่ 4.19 แสดงภาพวงจรจริงของตัวตรวจจับอุณหภูมิ

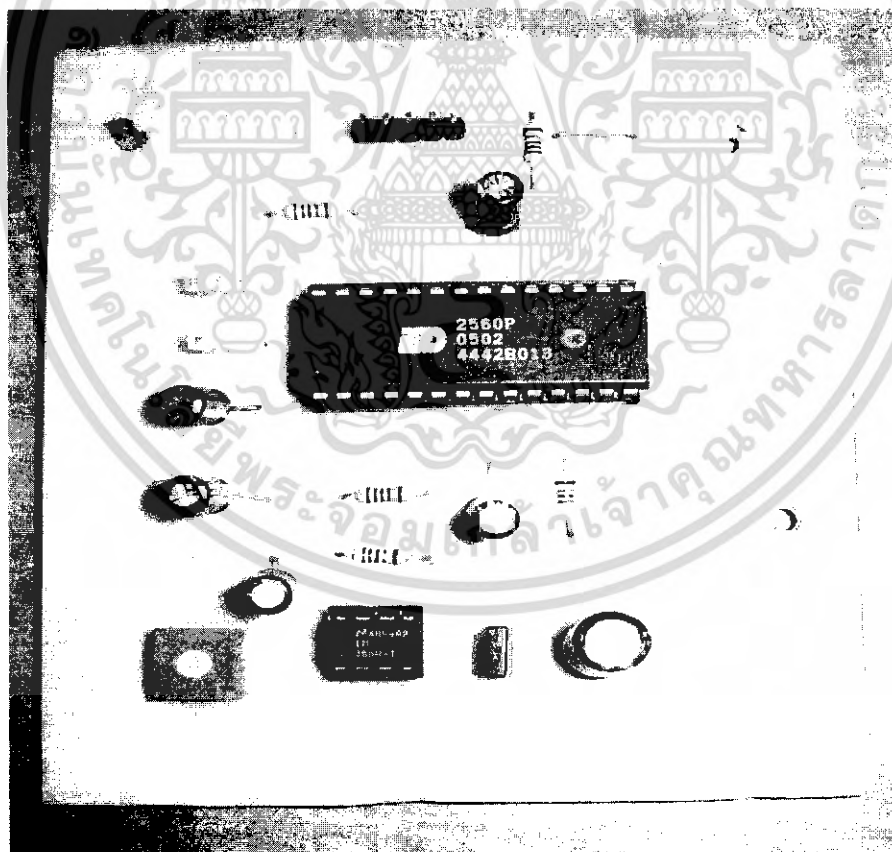


รูปที่ 4.20 แสดงภาพวงจรจริงของตัวตรวจจับอินฟราเรด

เอกสารนี้เป็นเอกสารที่สงวนไว้สำหรับการใช้งานเพื่อการศึกษาเท่านั้น ไม่อนุญาตให้นำไปใช้ประโยชน์ด้านการค้าไม่ว่ากรณีใดๆ ทั้งสิ้น อีกทั้งห้ามมิให้ดัดแปลงเนื้อหา และต้องอ้างอิงถึงเจ้าของเอกสารทุกครั้งที่มีการนำไปใช้

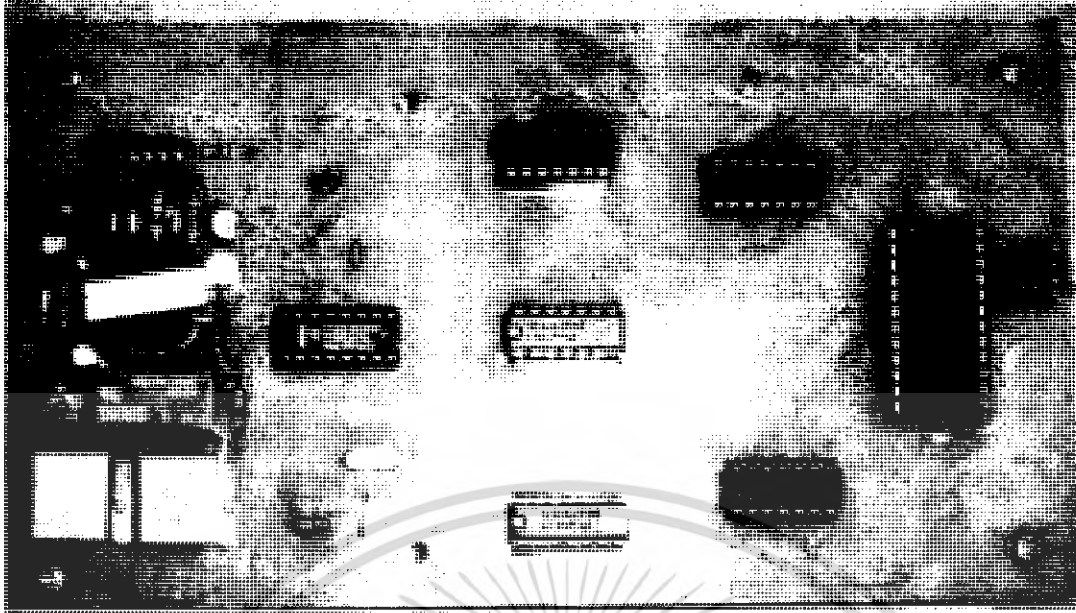


รูปที่ 4.21 แสดงภาพวงจรจริงของตัวตรวจจับควัน

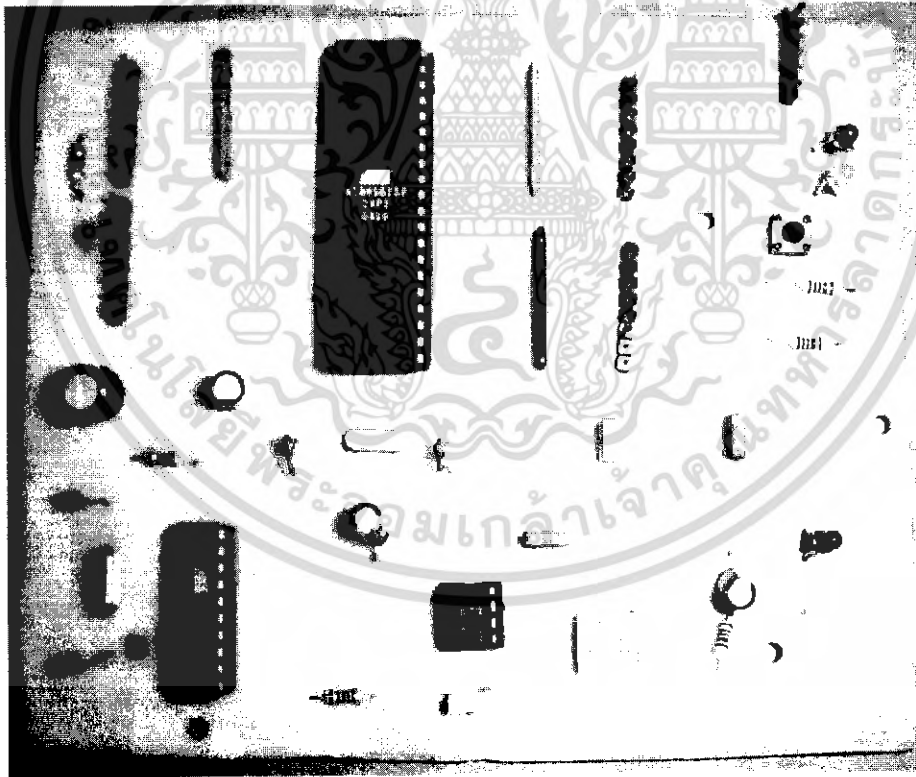


รูปที่ 4.22 แสดงภาพวงจรจริงของตัวบันทึกเสียง

เอกสารนี้เป็นเอกสารที่สงวนไว้สำหรับการใช้งานเพื่อการศึกษาเท่านั้น ไม่อนุญาตให้นำไปใช้ประโยชน์ด้านการค้าไม่ว่ากรณีใดๆ ทั้งสิ้น อีกทั้งห้ามมิให้ดัดแปลงเนื้อหา และต้องอ้างอิงถึงเจ้าของเอกสารทุกครั้งที่มีการนำไปใช้

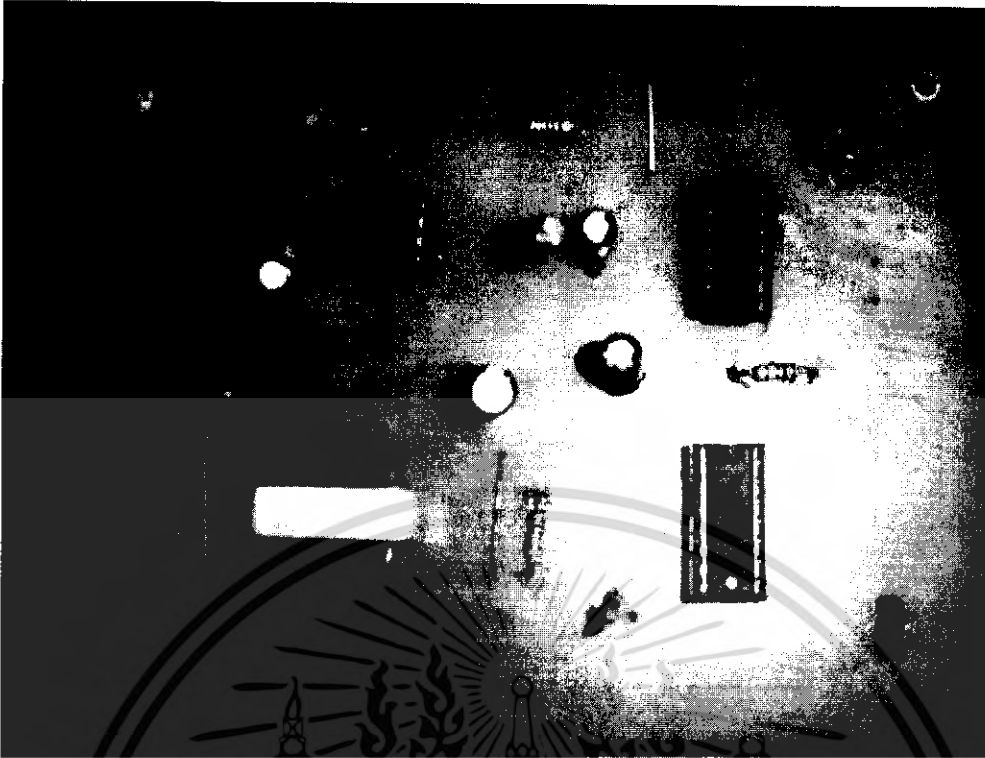


รูปที่ 4.23 แสดงภาพวงจรจริงของตัววงจรสัญญาณพร้อมหมูน และ สร้างสัญญาณคิตีเอ็มเอฟ



รูปที่ 4.24 แสดงภาพวงจรจริงของวงจรตรวจจับ Busy tone และ ส่วนของการประมวลผล

เอกสารนี้เป็นเอกสารที่สงวนไว้สำหรับการใช้งานเพื่อการศึกษาเท่านั้น ไม่อนุญาตให้นำไปใช้ประโยชน์ด้านการค้า ไม่ว่ากรณีใดๆ ทั้งสิ้น อีกทั้งห้ามมิให้ดัดแปลงเนื้อหา และต้องอ้างอิงถึงเจ้าของเอกสารทุกครั้งที่มีการนำไปใช้



รูปที่ 4.25 แสดงภาพวงจรจริงของวงจรตรวจจับ Ring back tone



รูปที่ 4.26 แสดงภาพวงจรจริงของ “ระบบเตือนภัยภายในอาคารผ่านโทรศัพท์” แบบสมบูรณ

เอกสารนี้เป็นเอกสารที่สงวนไว้สำหรับการใช้งานเพื่อการศึกษาเท่านั้น ไม่อนุญาตให้นำไปใช้ประโยชน์ด้านการค้าไม่ว่ากรณีใดๆ ทั้งสิ้น อีกทั้งห้ามมิให้ดัดแปลงเนื้อหา และต้องอ้างอิงถึงเจ้าของเอกสารทุกครั้งที่มีการนำไปใช้



รูปที่ 4.27 ภาพแสดงแบบจำลองโครงสร้างอาคาร



รูปที่ 4.28 ภาพการติดตั้งอุปกรณ์ตรวจจับภายในอาคาร

เอกสารนี้เป็นเอกสารที่สงวนไว้สำหรับการใช้งานเพื่อการศึกษาเท่านั้น ไม่อนุญาตให้นำไปใช้ประโยชน์ด้านการค้าไม่ว่ากรณีใดๆ ทั้งสิ้น อีกทั้งห้ามมิให้ดัดแปลงเนื้อหา และต้องอ้างอิงถึงเจ้าของเอกสารทุกครั้งที่มีการนำไปใช้

## บทที่ 5 บทวิจารณ์และสรุป

หลังจากที่ได้ศึกษาถึงโครงสร้างของหัวข้อโครงการจนเข้าใจถึงหลักการทำงานและขอบเขตการทำงานทั้งหมดของอุปกรณ์ ระบบเตือนภัยภายในอาคารผ่านโทรศัพท์ เราจะแบ่งการทำงานของระบบออกเป็น 2 กรณี คือ กรณีเกิดเหตุเพลิงไหม้และขโมยเข้ามาในอาคาร ซึ่งในแต่ละกรณีระบบสามารถติดต่อกับผู้ที่ต้องการแจ้งเหตุตามที่ได้บันทึกไว้ในหน่วยความจำได้ โดยระบบจะโทรวนจนกว่าหมายเลขที่ได้บันทึกเอาไว้มีผู้รับสาย และระบบส่งข้อมูลเสียงที่เราบันทึกเสียงไว้ส่งไปเตือนในกรณีต่างๆ ได้อย่างถูกต้อง

จากการศึกษาและทำการทดลองสามารถได้ผลดังนี้

### 5.1 จากการทดลองในส่วนวงจรชุมสายโทรศัพท์

1 วงจรสัญญาณพร้อมหมุน (Dial Tone) เมื่อทำการยกหูโทรศัพท์ ชุมสายก็จะมองเห็นว่าเครื่องโทรศัพท์นั้นมีความต้านทานอยู่ 600 โอห์ม จากนั้นชุมสายก็จะจ่ายกระแสให้กับเครื่องโทรศัพท์ ทำให้สามารถกำเนิดสัญญาณดีทีเอ็มเอฟและส่งหมายเลขโทรศัพท์ติดต่อสื่อสารกันได้

2 วงจรตรวจจับสัญญาณไม่ว่าง และ สัญญาณเรียกกลับ เนื่องจากสัญญาณทั้งสองเป็นสัญญาณที่มีความถี่ประมาณ 400 Hz ปรากฏอยู่เท่านั้นจะต่างกันเพียงแค่ระยะเวลาของการมีพัลส์และไม่มีพัลส์ของแต่ละสัญญาณ จึงใช้ไอซีเบอร์ LM 567 ซึ่งเป็นไอซีเฟสล็อกลูป (Phase Lock Loop)

3 วงจรสร้างสัญญาณดีทีเอ็มเอฟ ซึ่งใช้ไอซีเบอร์ TCM 5087 เป็นตัวกำเนิดความถี่ผสมกันระหว่างความถี่สูง และความถี่ต่ำ เป็นสัญญาณดีทีเอ็มเอฟออกมาเป็นเลขฐานสิบตามตารางความถี่เพื่อให้ทราบว่าเป็นเลขอะไร

### 5.2 จากการทดลองในส่วนของอุปกรณ์ตรวจจับต่างๆ

1 วงจรตรวจจับอุณหภูมิ มีปัญหาจากการวัดค่าแรงดันที่ใช้เปรียบเทียบกับอุณหภูมิเพราะว่าอุณหภูมิเปลี่ยนแปลงได้รวดเร็วจึงทำให้การวัดค่าแรงดันอาจคลาดเคลื่อนไปบ้างทำให้อุณหภูมิที่เราตั้งไว้อาจผิดเพี้ยนจากความเป็นจริงไปบ้าง

2 วงจรตรวจจับอินฟราเรด จากการทำงานของอินฟราเรดจะทำงานโดยใช้แสงส่งออกไปตลอดเวลาในสถานะที่ไม่มีสิ่งกีดขวางตัวดีทีเอคก็จะส่งสถานะ “0” ให้กับไมโครคอนโทรลเลอร์แต่ในขณะที่มีสิ่งกีดขวางตัวดีทีเอคก็จะส่งสถานะ “1” ให้กับไมโครคอนโทรลเลอร์

3 วงจรตรวจจับควัน เป็นอุปกรณ์ตรวจจับควันแบบเริ่มต้นที่มีอนุภาคของควันเล็กน้อยที่เกิดจากเปลวไฟอย่างรวดเร็ว โดยจะคำนึงถึงการติดตั้งจะขึ้นอยู่กับความสูง และรัศมีครอบคลุมบริเวณต่อพื้นที่แต่ถ้าอยากให้การตรวจจับมีประสิทธิภาพเพิ่มมากขึ้นควรใช้ควบคู่กับตัวตรวจจับอุณหภูมิ

### 5.3 แนวทางการพัฒนา

1. ควรเพิ่มแหล่งจ่ายไฟสำรองและส่วนควบคุมระบบจ่ายสำรอง ให้ระบบพร้อมอยู่ตลอดเวลาในกรณีที่ไฟดับ เพื่อให้ระบบสามารถทำงานได้ทุกสถานการณ์ และจากการสังเกตพบว่าเหตุร้ายหลายๆอย่าง มักจะเกิดขึ้นแล้วเป็นสาเหตุให้ไฟดับ

2 หากผู้ที่ถูกแจ้งเหตุปิดเครื่องโทรศัพท์มือถือทางระบบจะเข้าสู่ระบบฝากข้อความทำให้เราไม่ทราบว่าเป็นคนรับจริงหรือว่าเป็นระบบฝากข้อความฉะนั้นเราต้องมีในส่วนของตัวตรวจเช็คในกรณีนี้

3. หากระบบเตือนภัยทำการแจ้งเหตุในขณะที่มีผู้ใช้โทรศัพท์ ระบบจะไม่สามารถโทรออกได้ เพราะไม่พบสัญญาณแจ้งว่าสายว่างระบบน่าจะสามารถแจ้งให้ผู้ใช้โทรศัพท์ที่อยู่ทราบว่าเหตุร้ายเกิดขึ้น เราจึงต้องเพิ่มโปรแกรมและเปลี่ยนแปลงวงจรให้สามารถรองรับการทำงานนี้ได้



เอกสารนี้เป็นเอกสารที่สงวนไว้สำหรับการใช้งานเพื่อการศึกษาเท่านั้น ไม่อนุญาตให้นำไปใช้ประโยชน์ด้านการค้าไม่ว่ากรณีใดๆ ทั้งสิ้น อีกทั้งห้ามมิให้ตัดแปลงเนื้อหา และต้องอ้างอิงถึงเจ้าของเอกสารทุกครั้งที่มีการนำไปใช้

## หนังสืออ้างอิง

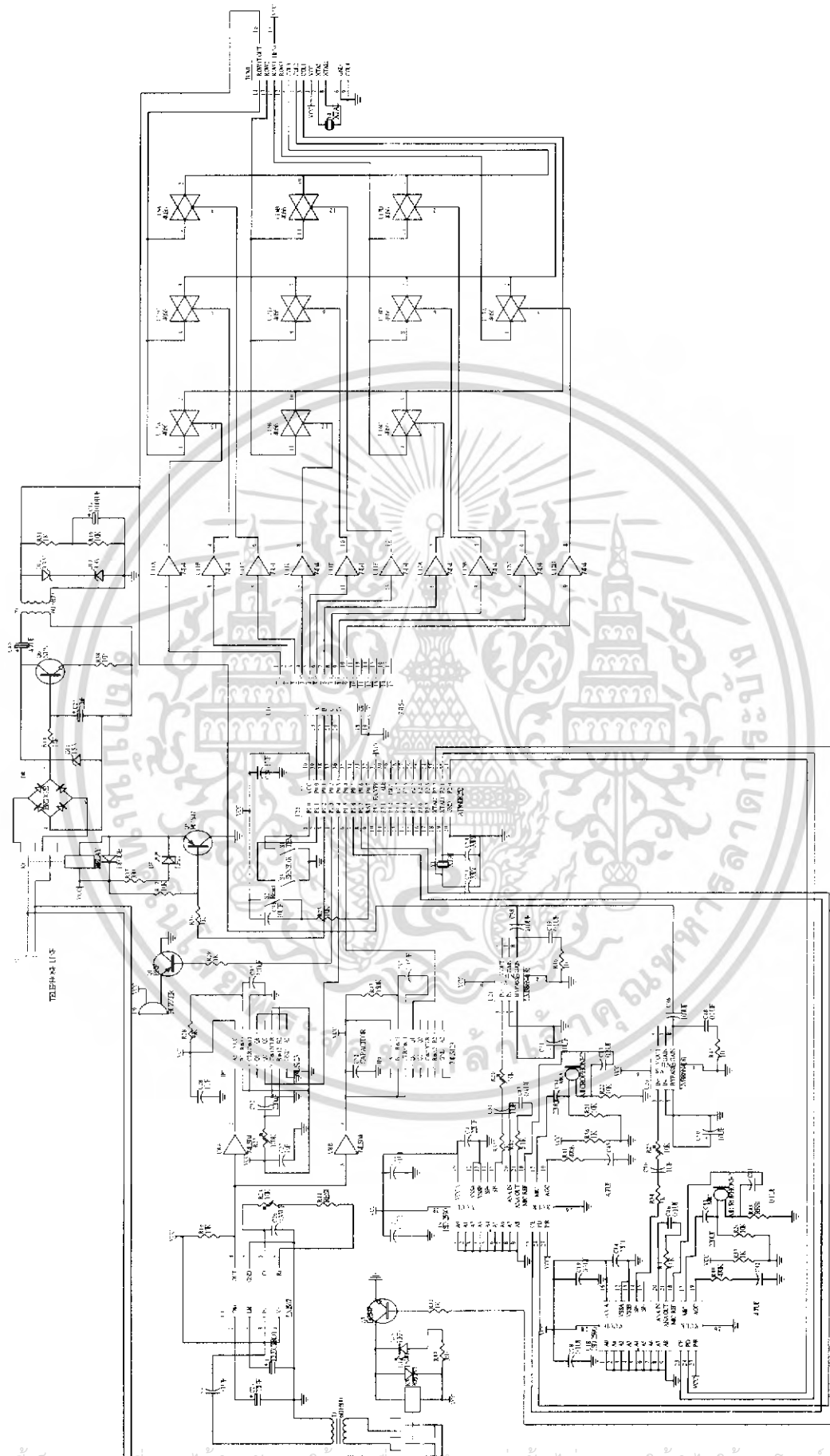
-สมยศ จุณณะปิยะ. Microcontroller Application. กรุงเทพฯ: คณะวิศวกรรมศาสตร์ สถาบันเทคโนโลยีพระจอมเกล้าเจ้าคุณทหารลาดกระบัง, 2546



เอกสารนี้เป็นเอกสารที่สงวนไว้สำหรับการใช้งานเพื่อการศึกษาเท่านั้น ไม่อนุญาตให้นำไปใช้ประโยชน์ด้านการค้าไม่ว่ากรณีใดๆ ทั้งสิ้น อีกทั้งห้ามมิให้ดัดแปลงเนื้อหา และต้องอ้างอิงถึงเจ้าของเอกสารทุกครั้งที่มีการนำไปใช้



เอกสารนี้เป็นเอกสารที่สงวนไว้สำหรับการใช้งานเพื่อการศึกษาเท่านั้น ไม่อนุญาตให้นำไปใช้ประโยชน์ด้านการค้า  
ไม่ว่ากรณีใดๆ ทั้งสิ้น อีกทั้งห้ามมิให้ดัดแปลงเนื้อหา และต้องอ้างอิงถึงเจ้าของเอกสารทุกครั้งที่มีการนำไปใช้



เอกสารนี้เป็นเอกสารที่สงวนไว้สำหรับการใช้งานเพื่อการศึกษาเท่านั้น ไม่อนุญาตให้นำไปใช้ประโยชน์ด้านการค้า  
ไม่ว่ากรณีใดๆ ทั้งสิ้น อีกทั้งห้ามมิให้ดัดแปลงเนื้อหา และต้องอ้างอิงถึงเจ้าของเอกสารทุกครั้งที่มีการนำไปใช้

## ส่วนของโปรแกรมไมโครคอนโทรลเลอร์

```

SENSOR      BIT      P1.0
TEM         BIT      P1.1
HOOK       BIT      P1.2
BUZZER     BIT      P1.3
BUSY       BIT      P1.4
RIB        BIT      P1.5
RESET_1    BIT      P1.6
PLAY_1     BIT      P1.7
RESET_2    BIT      P2.0
PLAY_2     BIT      P2.1
HOOK_SOUND BIT      P2.2
HOOK_R_B   BIT      P2.3

```

```

ORG      0000H
MOV      P0,#000H
MOV      P1,#000H
MOV      P2,#000H
MOV      P3,#000H
SETB     SENSOR
ACALL    DELAY_1
SETB     TEM
ACALL    DELAY_1
SEN_1:   JB      SENSOR,SW
ACALL    DELAY_1
ACALL    TEL
JNB      SENSOR,SEN_1
SW:      JB      TEM,SEN_1
ACALL    DELAY
ACALL    TELE
JNB      TEM,SW
AJMP     SEN_1
;*****
TEL:      SETB    BUZZER
CLR      BUSY
CLR      RIB
SETB     HOOK
ACALL    NUM_1
SETB     BUSY
SETB     RIB
SETB     HOOK_R_B
ACALL    DELAY
CLR      HOOK
ACALL    ALAY
ACALL    ALAY
ACALL    ALAY
JB      BUSY,BU           ; CHECK BUSY
ACALL    DELAY_1
ACALL    SEC
ACALL    SEC
JNB      RIB,BU           ; CHECK RINGBACK
ACALL    DELAY_1
ACALL    SEC
ACALL    ALAY
ACALL    ALAY
ACALL    ALAY
ACALL    ALAY
ACALL    ALAY

JB      RIB,BU           ; CHECK RINGBACK
ACALL    DELAY_1

```

เอกสารนี้เป็นเอกสารที่สงวนไว้สำหรับการใช้งานเพื่อการศึกษาเท่านั้น ไม่อนุญาตให้นำไปใช้ประโยชน์ด้านการค้า  
ไม่ว่ากรณีใดๆ ทั้งสิ้น อีกทั้งห้ามมิให้ดัดแปลงเนื้อหา และต้องอ้างอิงถึงเจ้าของเอกสารทุกครั้งที่มีการนำไปใช้

```

SUN:          ACALL  SEC
              SETB  RESET_1
              ACALL  DELAY_1
              SETB  RESET_2
              ACALL  DELAY_1
              CLR   RESET_1
              ACALL  DELAY_1
              CLR   PLAY_1
              ACALL  DELAY_1
              SETB  HOOK
              ACALL  DELAY
              CLR   HOOK_R_B
              ACALL  DELAY
              SETB  HOOK_SOUND
              ACALL  SEC
              ACALL  SEC
              ACALL  SEC
              ACALL  SEC
              CLR   HOOK_SOUND
              ACALL  DELAY
              CLR   HOOK
              ACALL  DELAY
              CLR   BUZZER
BU:           AJMP  SEN_1
              ACALL  DELAY
              CLR   HOOK_R_B
              ACALL  SEC
              SETB  HOOK
              ACALL  NUM_2
              ACALL  ALAY
              SETB  HOOK_R_B
              ACALL  DELAY
              CLR   HOOK
              ACALL  ALAY
              ACALL  ALAY
              ACALL  ALAY
              JB   BUSY, BU_0          ; CHECK BUSY
              ACALL  DELAY_1
              ACALL  SEC
              ACALL  SEC
              JNB  RIB, BU_0          ; CHECK RINGBACK
              ACALL  DELAY_1
              ACALL  SEC
              ACALL  ALAY
              ACALL  ALAY
              ACALL  ALAY
              ACALL  ALAY
              JB   RIB, BU_0          ; CHECK RINGBACK
              ACALL  DELAY_1
              AJMP  SUN
SUN_0:       AJMP  SUN
BU_0:        CLR   HOOK_R_B
              ACALL  DELAY
              ACALL  ALAY
              ACALL  ALAY
              ACALL  ALAY
              AJMP  TEL

TELE:        SETB  BUZZER
              CLR   BUSY
              CLR   RIB
              SETB  HOOK
              ACALL  NUM_1
              SETB  BUSY
              SETB  RIB

```

เอกสารนี้เป็นเอกสารที่สงวนไว้สำหรับการใช้งานเพื่อการศึกษาเท่านั้น ไม่อนุญาตให้นำไปใช้ประโยชน์ด้านการค้า  
ไม่ว่ากรณีใดๆ ทั้งสิ้น อีกทั้งห้ามมิให้ดัดแปลงเนื้อหา และต้องอ้างอิงถึงเจ้าของเอกสารทุกครั้งที่มีการนำไปใช้

```

SETB   HOOK_R_B
ACALL  DELAY
CLR    HOOK
ACALL  ALAY
ACALL  ALAY
ACALL  ALAY
JB     BUSY,BU_1           ; CHECK BUSY
ACALL  DELAY_1
ACALL  SEC
ACALL  SEC
JNB    RIB,BU_1           ; CHECK RINGBACK
ACALL  DELAY_1
ACALL  SEC
ACALL  ALAY
ACALL  ALAY
ACALL  ALAY

```

```

SUN_1:
JB     RIB,BU_1           ; CHECK RINGBACK
ACALL  DELAY_1
ACALL  SEC
ACALL  SEC

```

```

SETB   RESET_2
ACALL  DELAY_1
SETB   RESET_1
ACALL  DELAY_1
CLR    RESET_2
ACALL  DELAY_1
CLR    PLAY_2
ACALL  DELAY_1
SETB   HOOK
ACALL  DELAY
CLR    HOOK_R_B
ACALL  DELAY
SETB   HOOK_SOUND
ACALL  SEC
ACALL  SEC
ACALL  SEC
ACALL  SEC
CLR    HOOK_SOUND
ACALL  DELAY
CLR    HOOK
ACALL  DELAY
CLR    BUZZER
AJMP   SEN_1

```

```

BU_1:
ACALL  DELAY
CLR    HOOK_R_B
ACALL  SEC
SETB   HOOK
ACALL  NUM_2
ACALL  ALAY
SETB   HOOK_R_B
ACALL  DELAY
CLR    HOOK
ACALL  ALAY
ACALL  ALAY
ACALL  ALAY
JB     BUSY,BU_0_1       ; CHECK BUSY
ACALL  DELAY_1
ACALL  SEC
ACALL  SEC
JNB    RIB,BU_0_1       ; CHECK RINGBACK
ACALL  DELAY_1
ACALL  SEC
ACALL  ALAY
ACALL  ALAY
ACALL  ALAY

```

เอกสารนี้เป็นเอกสารที่สงวนไว้สำหรับการใช้งานเพื่อการศึกษาเท่านั้น ไม่อนุญาตให้นำไปใช้ประโยชน์ด้านการค้า  
ไม่ว่ากรณีใดๆ ทั้งสิ้น อีกทั้งห้ามมิให้ดัดแปลงเนื้อหา และต้องอ้างอิงถึงเจ้าของเอกสารทุกครั้งที่มีการนำไปใช้

```

                JB      RIB,BU_0_1          ; CHECK RINGBACK
                ACALL  DELAY_1
                AJMP   SUN_1
SUN_0_1:        AJMP   SUN_1
BU_0_1:        CLR    HOOK_R_B
                ACALL  DELAY
                ACALL  ALAY
                ACALL  ALAY
                ACALL  ALAY
                AJMP   TELE

```

```

;*****
;** TELEPHONE NUM_1 **
;*****

```

```

NUM_1:         MOV    P0,#00001001B      ; NUMBER "0"
                ACALL  DELAY
                MOV    P0,#00000001B      ; NUMBER "2"
                ACALL  DELAY
                MOV    P0,#00000111B      ; NUMBER "8"
                ACALL  DELAY
                MOV    P0,#11111111B
                ACALL  DELAY
                MOV    P0,#00000111B      ; NUMBER "8"
                ACALL  DELAY
                MOV    P0,#00001001B      ; NUMBER "0"
                ACALL  DELAY
                MOV    P0,#00000110B      ; NUMBER "7"
                ACALL  DELAY
                MOV    P0,#00000001B      ; NUMBER "2"
                ACALL  DELAY
                MOV    P0,#00001000B      ; NUMBER "9"
                ACALL  DELAY
                MOV    P0,#00000100B      ; NUMBER "5"
                ACALL  ALAY
                ACALL  ALAY
                MOV    P0,#00000011B      ; NUMBER "4"
                ACALL  DELAY
                RET

```

```

;*****
;** TELEPHONE NUM_2 **
;*****

```

```

NUM_2:         MOV    P0,#00001001B      ; NUMBER "0"
                ACALL  DELAY
                MOV    P0,#00000001B      ; NUMBER "2"
                ACALL  DELAY
                MOV    P0,#00000110B      ; NUMBER "7"
                ACALL  DELAY
                MOV    P0,#00000010B      ; NUMBER "3"
                ACALL  DELAY
                MOV    P0,#00001000B      ; NUMBER "9"
                ACALL  DELAY
                MOV    P0,#00000000B      ; NUMBER "1"
                ACALL  DELAY
                MOV    P0,#11111111B
                ACALL  DELAY
                MOV    P0,#00000000B      ; NUMBER "1"
                ACALL  DELAY
                MOV    P0,#00000100B      ; NUMBER "5"
                ACALL  DELAY
                MOV    P0,#00000110B      ; NUMBER "7"
                ACALL  SEC
                ACALL  ALAY
                ACALL  ALAY
                ACALL  ALAY
                MOV    P0,#00000000B      ; NUMBER "1"
                ACALL  DELAY
                RET

```

เอกสารนี้เป็นเอกสารที่สงวนไว้สำหรับการใช้งานเพื่อการศึกษาเท่านั้น ไม่อนุญาตให้นำไปใช้ประโยชน์ด้านการค้า  
ไม่ว่ากรณีใดๆ ทั้งสิ้น อีกทั้งห้ามมิให้ดัดแปลงเนื้อหา และต้องอ้างอิงถึงเจ้าของเอกสารทุกครั้งที่มีการนำไปใช้

```

ALAY:      MOV R7,#04H
DA3:      MOV R6,#0FFH
DA2:      MOV R5,#0FFH
DA1:      DJNZ R5,DA1
           DJNZ R6,DA2
           DJNZ R7,DA3
           RET
DELAY:     MOV R5,#075           ; TELEPHONE
DELAY_10S_1: ACALL DELAY_1
           DJNZ R5,DELAY_10S_1
           RET
DELAY_1:   MOV R7,#010           ; SWITCH
DEL:      MOV R6,#0E6H
DE:       NOP
           NOP
           DJNZ R6,DE
           DJNZ R7,DEL
           RET
SEC:      MOV R7,#40H
D3:      MOV R6,#0FFH
D2:      MOV R5,#0FFH
D1:      DJNZ R5,D1
           DJNZ R6,D2
           DJNZ R7,D3
           RET
           END

```



เอกสารนี้เป็นเอกสารที่สงวนไว้สำหรับการใช้งานเพื่อการศึกษาเท่านั้น ไม่อนุญาตให้นำไปใช้ประโยชน์ด้านการค้า  
ไม่ว่ากรณีใดๆ ทั้งสิ้น อีกทั้งห้ามมิให้ดัดแปลงเนื้อหา และต้องอ้างอิงถึงเจ้าของเอกสารทุกครั้งที่มีการนำไปใช้

---

## Features

- Compatible with MCS-51™ Products
- 8K Bytes of In-System Reprogrammable Downloadable Flash Memory
  - SPI Serial Interface for Program Downloading
  - Endurance: 1,000 Write/Erase Cycles
- 2K Bytes EEPROM
  - Endurance: 100,000 Write/Erase Cycles
- 4.0V to 6V Operating Range
- Fully Static Operation: 0 Hz to 24 MHz
- Three-Level Program Memory Lock
- 256 x 8-bit Internal RAM
- 32 Programmable I/O Lines
- Three 16-bit Timer/Counters
- Nine Interrupt Sources
- Programmable UART Serial Channel
- SPI Serial Interface
- Low Power Idle and Power Down Modes
- Interrupt Recovery From Power Down
- Programmable Watchdog Timer
- Dual Data Pointer
- Power Off Flag

## Description

The AT89S8252 is a low-power, high-performance CMOS 8-bit microcomputer with 8K bytes of Downloadable Flash programmable and erasable read only memory and 2K bytes of EEPROM. The device is manufactured using Atmel's high density nonvolatile memory technology and is compatible with the industry standard 80C51 instruction set and pinout. The on-chip Downloadable Flash allows the program memory to be reprogrammed in-system through an SPI serial interface or by a conventional non-volatile memory programmer. By combining a versatile 8-bit CPU with Downloadable Flash on a monolithic chip, the Atmel AT89S8252 is a powerful microcomputer which provides a highly flexible and cost effective solution to many embedded control applications.

The AT89S8252 provides the following standard features: 8K bytes of Downloadable Flash, 2K bytes of EEPROM, 256 bytes of RAM, 32 I/O lines, programmable watchdog timer, two Data Pointers, three 16-bit timer/counters, a six-vector two-level interrupt architecture, a full duplex serial port, on-chip oscillator, and clock circuitry. In addition, the AT89S8252 is designed with static logic for operation down to zero frequency and supports two software selectable power saving modes. The Idle Mode stops the CPU while allowing the RAM, timer/counters, serial port, and interrupt system to continue functioning. The Power Down Mode saves the RAM contents but freezes the oscillator, disabling all other chip functions until the next interrupt or hardware reset.

The Downloadable Flash can be changed a single byte at a time and is accessible through the SPI serial interface. Holding RESET active forces the SPI bus into a serial programming interface and allows the program memory to be written to or read from unless Lock Bit 2 has been activated.



## 8-Bit Microcontroller with 8K Bytes Flash

### AT89S8252

0401D-A-12/97

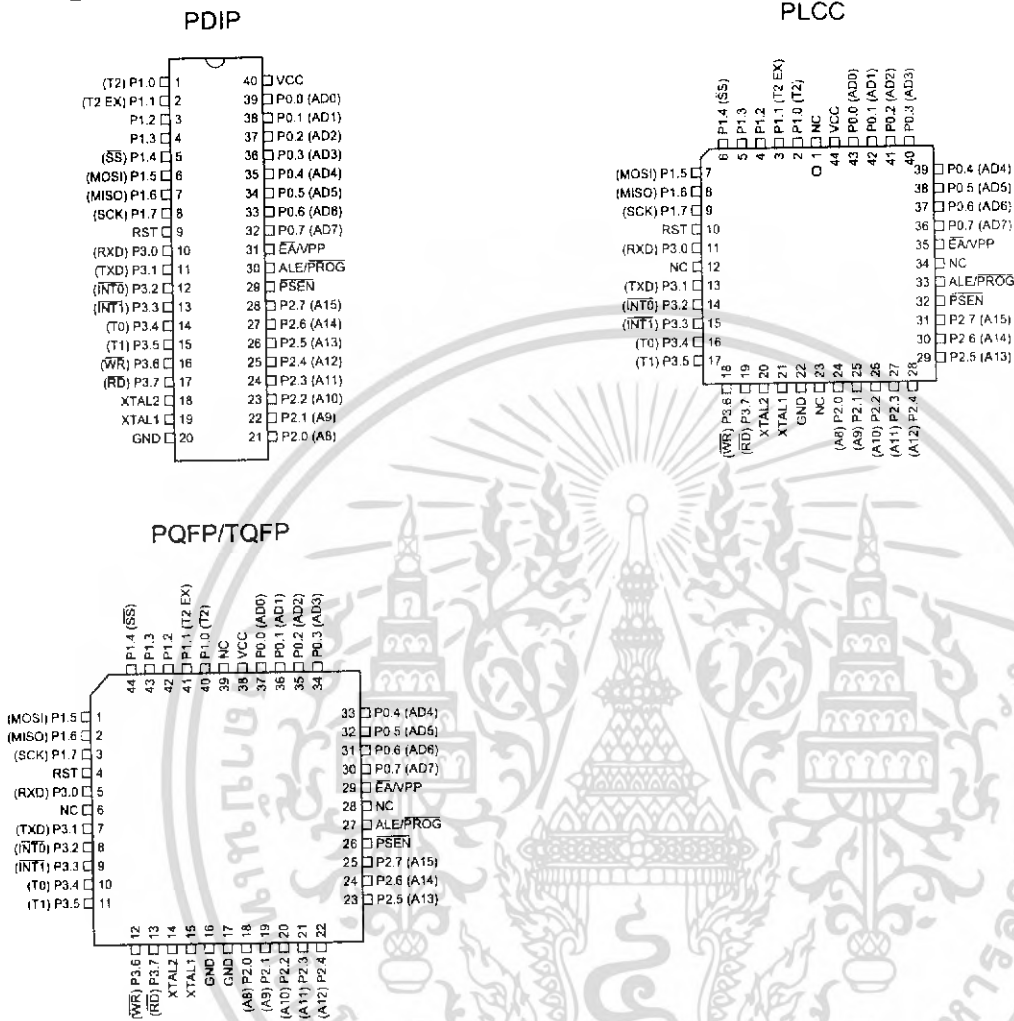


4-105

เอกสารนี้เป็นเอกสารที่สงวนไว้สำหรับการใช้งานเพื่อการศึกษาเท่านั้น ไม่อนุญาตให้นำไปใช้ประโยชน์ด้านการค้า  
ไม่ว่ากรณีใดๆ ทั้งสิ้น อีกทั้งห้ามมิให้ดัดแปลงเนื้อหา และต้องอ้างอิงถึงเจ้าของเอกสารทุกครั้งที่มีการนำไปใช้



## Pin Configurations



## Pin Description

**V<sub>CC</sub>**  
Supply voltage.

**GND**  
Ground.

### Port 0

Port 0 is an 8-bit open drain bidirectional I/O port. As an output port, each pin can sink eight TTL inputs. When 1s are written to port 0 pins, the pins can be used as high-impedance inputs.

Port 0 can also be configured to be the multiplexed low-order address/data bus during accesses to external program and data memory. In this mode, P0 has internal pullups.

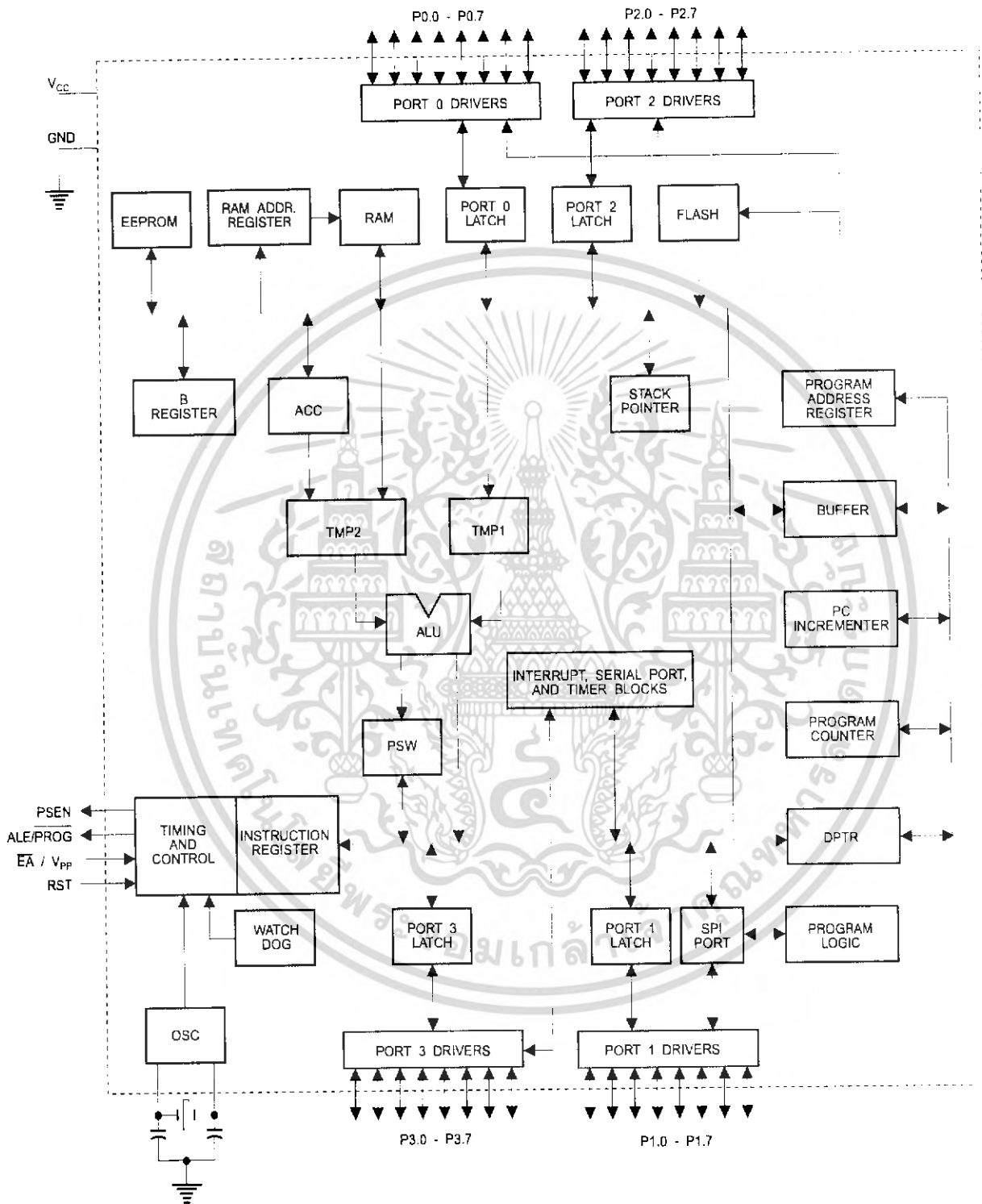
Port 0 also receives the code bytes during Flash programming and outputs the code bytes during program verification. External pullups are required during program verification.

### Port 1

Port 1 is an 8-bit bidirectional I/O port with internal pullups. The Port 1 output buffers can sink/source four TTL inputs. When 1s are written to Port 1 pins, they are pulled high by the internal pullups and can be used as inputs. As inputs, Port 1 pins that are externally being pulled low will source current ( $I_{IL}$ ) because of the internal pullups.

Some Port 1 pins provide additional functions. P1.0 and P1.1 can be configured to be the timer/counter 2 external count input (P1.0/T2) and the timer/counter 2 trigger input (P1.1/T2EX), respectively.

Block Diagram



เอกสารนี้เป็นเอกสารที่สงวนไว้สำหรับการใช้งานเพื่อการศึกษาเท่านั้น ไม่อนุญาตให้นำไปใช้ประโยชน์ทางการค้า  
ไม่ว่ากรณีใดๆ ทั้งสิ้น อีกทั้งห้ามมิให้ดัดแปลงเนื้อหา และต้องอ้างอิงถึงเจ้าของเอกสารทุกครั้งที่มีการนำไปใช้

Furthermore, P1.4, P1.5, P1.6, and P1.7 can be configured as the SPI slave port select, data input/output and shift clock input/output pins as shown in the following table.

Port Pin	Alternate Functions
P1.0	T2 (external count input to Timer/Counter 2), clock-out
P1.1	T2EX (Timer/Counter 2 capture/reload trigger and direction control)
P1.4	$\overline{SS}$ (Slave port select input)
P1.5	MOSI (Master data output, slave data input pin for SPI channel)
P1.6	MISO (Master data input, slave data output pin for SPI channel)
P1.7	SCK (Master clock output, slave clock input pin for SPI channel)

Port 1 also receives the low-order address bytes during Flash programming and verification.

#### Port 2

Port 2 is an 8-bit bidirectional I/O port with internal pullups. The Port 2 output buffers can sink/source four TTL inputs. When 1s are written to Port 2 pins, they are pulled high by the internal pullups and can be used as inputs. As inputs, Port 2 pins that are externally being pulled low will source current ( $I_{IL}$ ) because of the internal pullups.

Port 2 emits the high-order address byte during fetches from external program memory and during accesses to external data memory that use 16-bit addresses (MOVX @ DPTR). In this application, Port 2 uses strong internal pullups when emitting 1s. During accesses to external data memory that use 8-bit addresses (MOVX @ RI), Port 2 emits the contents of the P2 Special Function Register.

Port 2 also receives the high-order address bits and some control signals during Flash programming and verification.

#### Port 3

Port 3 is an 8 bit bidirectional I/O port with internal pullups. The Port 3 output buffers can sink/source four TTL inputs. When 1s are written to Port 3 pins, they are pulled high by the internal pullups and can be used as inputs. As inputs, Port 3 pins that are externally being pulled low will source current ( $I_{IL}$ ) because of the pullups.

Port 3 also serves the functions of various special features of the AT89S8252, as shown in the following table.

Port 3 also receives some control signals for Flash programming and verification.

Port Pin	Alternate Functions
P3.0	RXD (serial input port)
P3.1	TXD (serial output port)
P3.2	$\overline{INT0}$ (external interrupt 0)
P3.3	$\overline{INT1}$ (external interrupt 1)
P3.4	T0 (timer 0 external input)
P3.5	T1 (timer 1 external input)
P3.6	$\overline{WR}$ (external data memory write strobe)
P3.7	$\overline{RD}$ (external data memory read strobe)

#### RST

Reset input. A high on this pin for two machine cycles while the oscillator is running resets the device.

#### ALE/PROG

Address Latch Enable is an output pulse for latching the low byte of the address during accesses to external memory. This pin is also the program pulse input (PROG) during Flash programming.

In normal operation, ALE is emitted at a constant rate of 1/6 the oscillator frequency and may be used for external timing or clocking purposes. Note, however, that one ALE pulse is skipped during each access to external data memory.

If desired, ALE operation can be disabled by setting bit 0 of SFR location 8EH. With the bit set, ALE is active only during a MOVX or MOVX instruction. Otherwise, the pin is weakly pulled high. Setting the ALE-disable bit has no effect if the microcontroller is in external execution mode.

#### PSEN

Program Store Enable is the read strobe to external program memory.

When the AT89S8252 is executing code from external program memory, PSEN is activated twice each machine cycle, except that two PSEN activations are skipped during each access to external data memory.

#### EA/V<sub>PP</sub>

External Access Enable.  $\overline{EA}$  must be strapped to GND in order to enable the device to fetch code from external program memory locations starting at 0000H up to FFFFH. Note, however, that if lock bit 1 is programmed,  $\overline{EA}$  will be internally latched on reset.

$\overline{EA}$  should be strapped to  $V_{CC}$  for internal program executions. This pin also receives the 12-volt programming enable voltage ( $V_{PP}$ ) during Flash programming when 12-volt programming is selected.

## XTAL1

Input to the inverting oscillator amplifier and input to the internal clock operating circuit.

## XTAL2

Output from the inverting oscillator amplifier.

## Special Function Registers

A map of the on-chip memory area called the Special Function Register (SFR) space is shown in Table 1.

Note that not all of the addresses are occupied, and unoccupied addresses may not be implemented on the chip. Read accesses to these addresses will in general return random data, and write accesses will have an indeterminate effect.

**Table 1.** AT89S8252 SFR Map and Reset Values

0F8H									0FFH
0F0H	B 00000000								0F7H
0E8H									0EFH
0E0H	ACC 00000000								0E7H
0D8H									0DFH
0D0H	PSW 00000000					SPCR 000001XX			0D7H
0C8H	T2CON 00000000	T2MOD XXXXXX00	RCAP2L 00000000	RCAP2H 00000000	TL2 00000000	TH2 00000000			0CFH
0C0H									0C7H
0B8H	IP XX000000								0BFH
0B0H	P3 11111111								0B7H
0A8H	IE 0X000000		SPSR 00XXXXXX						0AFH
0A0H	P2 11111111								0A7H
98H	SCON 00000000	SBUF XXXXXXXX							9FH
90H	P1 11111111						WMCON 00000010		97H
88H	TCON 00000000	TMOD 00000000	TL0 00000000	TL1 00000000	TH0 00000000	TH1 00000000			8FH
80H	P0 11111111	SP 00000111	DP0L 00000000	DP0H 00000000	DP1L 00000000	DP1H 00000000	SPDR XXXXXXXX	PCON 0XXX0000	87H



User software should not write 1s to these unlisted locations, since they may be used in future products to invoke new features. In that case, the reset or inactive values of the new bits will always be 0.

**Timer 2 Registers** Control and status bits are contained in registers T2CON (shown in Table 2) and T2MOD (shown in Table 9) for Timer 2. The register pair (RCAP2H, RCAP2L) are the Capture/Reload registers for Timer 2 in 16 bit capture mode or 16-bit auto-reload mode.

**Watchdog and Memory Control Register** The WMCON register contains control bits for the Watchdog Timer (shown in Table 3). The EEMEN and EEMWE bits are used to select the 2K bytes on-chip EEPROM, and to enable byte-write. The DPS bit selects one of two DPTR registers available.

**SPI Registers** Control and status bits for the Serial Peripheral Interface are contained in registers SPCR (shown in Table 4) and SPSR (shown in Table 5). The SPI data bits are contained in the SPDR register. Writing the SPI data register during serial data transfer sets the Write Collision bit, WCOL, in the SPSR register. The SPDR is double buffered for writing and the values in SPDR are not changed by Reset.

**Interrupt Registers** The global interrupt enable bit and the individual interrupt enable bits are in the IE register. In addition, the individual interrupt enable bit for the SPI is in the SPCR register. Two priorities can be set for each of the six interrupt sources in the IP register.

**Table 2. T2CON—Timer/Counter 2 Control Register**

T2CON Address = 0C8H								Reset Value = 0000 000B
Bit Addressable								
	TF2	EXF2	RCLK	TCLK	EXEN2	TR2	C/T2	CP/RL2
Bit	7	6	5	4	3	2	1	0
Symbol	Function							
TF2	Timer 2 overflow flag set by a Timer 2 overflow and must be cleared by software. TF2 will not be set when either RCLK = 1 or TCLK = 1.							
EXF2	Timer 2 external flag set when either a capture or reload is caused by a negative transition on T2EX and EXEN2 = 1. When Timer 2 interrupt is enabled, EXF2 = 1 will cause the CPU to vector to the Timer 2 interrupt routine. EXF2 must be cleared by software. EXF2 does not cause an interrupt in up/down counter mode (DCEN = 1).							
RCLK	Receive clock enable. When set, causes the serial port to use Timer 2 overflow pulses for its receive clock in serial port Modes 1 and 3. RCLK = 0 causes Timer 1 overflows to be used for the receive clock.							
TCLK	Transmit clock enable. When set, causes the serial port to use Timer 2 overflow pulses for its transmit clock in serial port Modes 1 and 3. TCLK = 0 causes Timer 1 overflows to be used for the transmit clock.							
EXEN2	Timer 2 external enable. When set, allows a capture or reload to occur as a result of a negative transition on T2EX if Timer 2 is not being used to clock the serial port. EXEN2 = 0 causes Timer 2 to ignore events at T2EX.							
TR2	Start/Stop control for Timer 2. TR2 = 1 starts the timer.							
C/T2	Timer or counter select for Timer 2. C/T2 = 0 for timer function. C/T2 = 1 for external event counter (falling edge triggered).							
CP/RL2	Capture/Reload select. CP/RL2 = 1 causes captures to occur on negative transitions at T2EX if EXEN2 = 1. CP/RL2 = 0 causes automatic reloads to occur when Timer 2 overflows or negative transitions occur at T2EX when EXEN2 = 1. When either RCLK or TCLK = 1, this bit is ignored and the timer is forced to auto-reload on Timer 2 overflow.							

**Dual Data Pointer Registers** To facilitate accessing both internal EEPROM and external data memory, two banks of 16 bit Data Pointer Registers are provided: DP0 at SFR address locations 82H-83H and DP1 at 84H-85H. Bit DPS = 0 in SFR WMCON selects DP0 and DPS = 1 selects DP1. The user should always initialize the DPS bit to the

appropriate value before accessing the respective Data Pointer Register.

**Power Off Flag** The Power Off Flag (POF) is located at bit\_4 (PCON.4) in the PCON SFR. POF is set to "1" during power up. It can be set and reset under software control and is not affected by RESET.

**Table 3. WMCON—Watchdog and Memory Control Register**

WMCON Address = 96H							Reset Value = 0000 0010B	
	PS2	PS1	PS0	EEMWE	EEMEN	DPS	WDRST	WDTEN
Bit	7	6	5	4	3	2	1	0

Symbol	Function
PS2 PS1 PS0	Prescaler Bits for the Watchdog Timer. When all three bits are set to "0", the watchdog timer has a nominal period of 16 ms. When all three bits are set to "1", the nominal period is 2048 ms.
EEMWE	EEPROM Data Memory Write Enable Bit. Set this bit to "1" before initiating byte write to on-chip EEPROM with the MOVX instruction. User software should set this bit to "0" after EEPROM write is completed.
EEMEN	Internal EEPROM Access Enable. When EEMEN = 1, the MOVX instruction with DPTR will access on-chip EEPROM instead of external data memory. When EEMEN = 0, MOVX with DPTR accesses external data memory.
DPS	Data Pointer Register Select. DPS = 0 selects the first bank of Data Pointer Register, DP0, and DPS = 1 selects the second bank, DP1.
WDRST RDY/BSY	Watchdog Timer Reset and EEPROM Ready/Busy Flag. Each time this bit is set to "1" by user software, a pulse is generated to reset the watchdog timer. The WDRST bit is then automatically reset to "0" in the next instruction cycle. The WDRST bit is Write-Only. This bit also serves as the RDY/BSY flag in a Read-Only mode during EEPROM write. RDY/BSY = 1 means that the EEPROM is ready to be programmed. While programming operations are being executed, the RDY/BSY bit equals "0" and is automatically reset to "1" when programming is completed.
WDTEN	Watchdog Timer Enable Bit. WDTEN = 1 enables the watchdog timer and WDTEN = 0 disables the watchdog timer.





**Table 4. SPCR—SPI Control Register**

SPCR Address = D5H		Reset Value = 0000 01XXB						
	SPIE	SPE	DORD	MSTR	CPOL	CPHA	SPR1	SPR0
Bit	7	6	5	4	3	2	1	0

Symbol	Function															
SPIE	SPI Interrupt Enable. This bit, in conjunction with the ES bit in the IE register, enables SPI interrupts: SPIE = 1 and ES = 1 enable SPI interrupts. SPIE = 0 disables SPI interrupts.															
SPE	SPI Enable. SPI = 1 enables the SPI channel and connects $\overline{SS}$ , MOSI, MISO and SCK to pins P1.4, P1.5, P1.6, and P1.7. SPI = 0 disables the SPI channel.															
DORD	Data Order. DORD = 1 selects LSB first data transmission. DORD = 0 selects MSB first data transmission.															
MSTR	Master/Slave Select. MSTR = 1 selects Master SPI mode. MSTR = 0 selects Slave SPI mode.															
CPOL	Clock Polarity. When CPOL = 1, SCK is high when idle. When CPOL = 0, SCK of the master device is low when not transmitting. Please refer to figure on SPI Clock Phase and Polarity Control.															
CPHA	Clock Phase. The CPHA bit together with the CPOL bit controls the clock and data relationship between master and slave. Please refer to figure on SPI Clock Phase and Polarity Control.															
SPR0 SPR1	SPI Clock Rate Select. These two bits control the SCK rate of the device configured as master. SPR1 and SPR0 have no effect on the slave. The relationship between SCK and the oscillator frequency, $F_{osc}$ , is as follows: <table border="1" style="margin-left: 20px;"> <thead> <tr> <th>SPR1</th> <th>SPR0</th> <th>SCK = <math>F_{osc}</math> divided by</th> </tr> </thead> <tbody> <tr> <td>0</td> <td>0</td> <td>4</td> </tr> <tr> <td>0</td> <td>1</td> <td>16</td> </tr> <tr> <td>1</td> <td>0</td> <td>64</td> </tr> <tr> <td>1</td> <td>1</td> <td>128</td> </tr> </tbody> </table>	SPR1	SPR0	SCK = $F_{osc}$ divided by	0	0	4	0	1	16	1	0	64	1	1	128
SPR1	SPR0	SCK = $F_{osc}$ divided by														
0	0	4														
0	1	16														
1	0	64														
1	1	128														

**Table 5. SPSR—SPI Status Register**

SPSR Address = AAH		Reset Value = 00XX XXXXB						
	SPIF	WCOL	—	—	—	—	—	—
Bit	7	6	5	4	3	2	1	0

Symbol	Function
SPIF	SPI Interrupt Flag. When a serial transfer is complete, the SPIF bit is set and an interrupt is generated if SPIE = 1 and ES = 1. The SPIF bit is cleared by reading the SPI status register with SPIF and WCOL bits set, and then accessing the SPI data register.
WCOL	Write Collision Flag. The WCOL bit is set if the SPI data register is written during a data transfer. During data transfer, the result of reading the SPDR register may be incorrect, and writing to it has no effect. The WCOL bit (and the SPIF bit) are cleared by reading the SPI status register with SPIF and WCOL set, and then accessing the SPI data register.

**Table 6.** SPDR—SPI Data Register

SPDR Address = 86H							Reset Value = unchanged	
	SPD7	SPD6	SPD5	SPD4	SPD3	SPD2	SPD1	SPD0
Bit	7	6	5	4	3	2	1	0

## Data Memory—EEPROM and RAM

The AT89S8252 implements 2K bytes of on-chip EEPROM for data storage and 256 bytes of RAM. The upper 128 bytes of RAM occupy a parallel space to the Special Function Registers. That means the upper 128 bytes have the same addresses as the SFR space but are physically separate from SFR space.

When an instruction accesses an internal location above address 7FH, the address mode used in the instruction specifies whether the CPU accesses the upper 128 bytes of RAM or the SFR space. Instructions that use direct addressing access SFR space.

For example, the following direct addressing instruction accesses the SFR at location 0A0H (which is P2).

```
MOV 0A0H, #data
```

Instructions that use indirect addressing access the upper 128 bytes of RAM. For example, the following indirect addressing instruction, where R0 contains 0A0H, accesses the data byte at address 0A0H, rather than P2 (whose address is 0A0H).

```
MOV @R0, #data
```

Note that stack operations are examples of indirect addressing, so the upper 128 bytes of data RAM are available as stack space.

The on-chip EEPROM data memory is selected by setting the EEMEN bit in the WMCON register at SFR address location 96H. The EEPROM address range is from 000H to 7FFH. The MOVX instructions are used to access the EEPROM. To access off-chip data memory with the MOVX instructions, the EEMEN bit needs to be set to "0".

The EEMWE bit in the WMCON register needs to be set to "1" before any byte location in the EEPROM can be written. User software should reset EEMWE bit to "0" if no further EEPROM write is required. EEPROM write cycles in the serial programming mode are self-timed and typically take 2.5 ms. The progress of EEPROM write can be monitored by reading the RDY/BSY bit (read-only) in SFR WMCON. RDY/BSY = 0 means programming is still in progress and RDY/BSY = 1 means EEPROM write cycle is completed and another write cycle can be initiated.

In addition, during EEPROM programming, an attempted read from the EEPROM will fetch the byte being written with the MSB complemented. Once the write cycle is completed, true data are valid at all bit locations.

## Programmable Watchdog Timer

The programmable Watchdog Timer (WDT) operates from an independent oscillator. The prescaler bits, PS0, PS1 and PS2 in SFR WMCON are used to set the period of the Watchdog Timer from 16 ms to 2048 ms. The available timer periods are shown in the following table and the actual timer periods (at V<sub>CC</sub> = 5V) are within ±30% of the nominal.

The WDT is disabled by Power-on Reset and during Power Down. It is enabled by setting the WDTEN bit in SFR WMCON (address = 96H). The WDT is reset by setting the WDTRST bit in WMCON. When the WDT times out without being reset or disabled, an internal RST pulse is generated to reset the CPU.

**Table 7.** Watchdog Timer Period Selection

WDT Prescaler Bits			Period (nominal)
PS2	PS1	PS0	
0	0	0	16 ms
0	0	1	32 ms
0	1	0	64 ms
0	1	1	128 ms
1	0	0	256 ms
1	0	1	512 ms
1	1	0	1024 ms
1	1	1	2048 ms



## Timer 0 and 1

Timer 0 and Timer 1 in the AT89S8252 operate the same way as Timer 0 and Timer 1 in the AT89C51, AT89C52 and AT89C55. For further information, see the October 1995 Microcontroller Data Book, page 2-45, section titled, "Timer/Counters."

## Timer 2

Timer 2 is a 16 bit Timer/Counter that can operate as either a timer or an event counter. The type of operation is selected by bit  $C/\overline{T}2$  in the SFR T2CON (shown in Table 2). Timer 2 has three operating modes: capture, auto-reload (up or down counting), and baud rate generator. The modes are selected by bits in T2CON, as shown in Table 8.

Timer 2 consists of two 8-bit registers, TH2 and TL2. In the Timer function, the TL2 register is incremented every machine cycle. Since a machine cycle consists of 12 oscillator periods, the count rate is 1/12 of the oscillator frequency.

In the Counter function, the register is incremented in response to a 1-to-0 transition at its corresponding external input pin, T2. In this function, the external input is sampled during S5P2 of every machine cycle. When the samples show a high in one cycle and a low in the next cycle, the count is incremented. The new count value appears in the register during S3P1 of the cycle following the one in which the transition was detected. Since two machine cycles (24 oscillator periods) are required to recognize a 1-to-0 transition, the maximum count rate is 1/24 of the oscillator frequency. To ensure that a given level is sampled at least once before it changes, the level should be held for at least one full machine cycle.

Figure 1. Timer 2 in Capture Mode

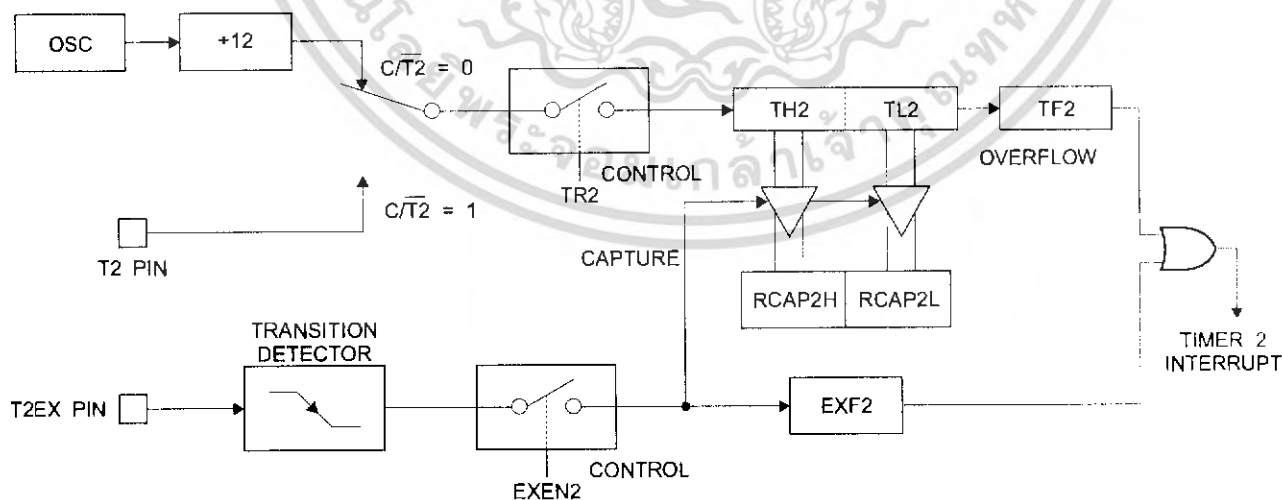


Table 8. Timer 2 Operating Modes

RCLK + TCLK	CP/RL2	TR2	MODE
0	0	1	16-bit Auto-Reload
0	1	1	16-bit Capture
1	X	1	Baud Rate Generator
X	X	0	(Off)

### Capture Mode

In the capture mode, two options are selected by bit EXEN2 in T2CON. If EXEN2 = 0, Timer 2 is a 16 bit timer or counter which upon overflow sets bit TF2 in T2CON. This bit can then be used to generate an interrupt. If EXEN2 = 1, Timer 2 performs the same operation, but a 1-to-0 transition at external input T2EX also causes the current value in TH2 and TL2 to be captured into RCAP2H and RCAP2L, respectively. In addition, the transition at T2EX causes bit EXF2 in T2CON to be set. The EXF2 bit, like TF2, can generate an interrupt. The capture mode is illustrated in Figure 1.

### Auto-Reload (Up or Down Counter)

Timer 2 can be programmed to count up or down when configured in its 16 bit auto-reload mode. This feature is invoked by the DCEN (Down Counter Enable) bit located in the SFR T2MOD (see Table 9). Upon reset, the DCEN bit is set to 0 so that timer 2 will default to count up. When DCEN is set, Timer 2 can count up or down, depending on the value of the T2EX pin.

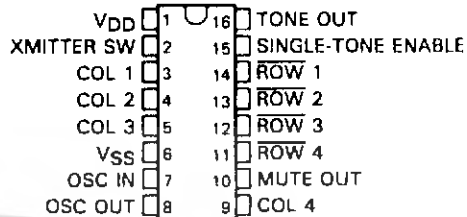
Figure 2 shows Timer 2 automatically counting up when DCEN = 0. In this mode, two options are selected by bit EXEN2 in T2CON. If EXEN2 = 0, Timer 2 counts up to

# TCM5087 TONE ENCODER

D2850, NOVEMBER 1982 - REVISED DECEMBER 1990

- Low-Cost TV Color-Burst Crystal Sine-Wave Input Produces Highly Accurate and Stable Tones
- Device Powered Directly by Telephone or Small Batteries
- Keyboard or Electronic Input Capability
- Dual-Tone and Single-Tone Capability
- Minimal Standby Power Requirement
- Total Harmonic Distortion Meets EIA Standard RS-470
- PEP3 Processing Available
- Wide Supply-Voltage Range
- Minimal Parts Required
- Single-Tone Production Can be Inhibited
- Auxiliary Switching Outputs: One Bipolar Transistor and One CMOS Gate
- Designed to be Interchangeable with Mostek MK5087

N PACKAGE  
(TOP VIEW)



NOT RECOMMENDED FOR NEW DESIGN



Caution. These devices have limited built-in gate protection. The leads should be shorted together or the device placed in conductive foam during storage or handling to prevent electrostatic damage to the MOS gates.

## description

The TCM5087 tone encoder is a CMOS integrated circuit designed specifically to generate the dial tones used in dual-tone telephone dialing systems. It requires a sine-wave input normally supplied by a low-cost TV color-burst crystal at 3.579545 MHz to generate eight different audio sinusoidal frequencies. With this input the encoder generates dial tones that are very low in total harmonic distortion and comply with standard Dual-Tone Multi-Frequency (DTMF) specifications without any need for frequency adjustment.

When generating a dual-tone signal, the encoder generates one column tone and one row tone and adds them for its output. The table below presents the frequencies produced by the tone encoder with the 3.579545-MHz TV-crystal signal input. Any deviation in this frequency will be reflected in the frequency output. The tolerance of the crystal is normally 0.02%.

TONE	DTMF STANDARD (Hz)	ENCODER OUTPUT* (Hz)	ERROR FROM STANDARD* (%)
Row 1	697	701.3	+0.62
Row 2	770	771.4	+0.19
Row 3	852	857.2	+0.61
Row 4	941	935.1	-0.63
Column 1	1209	1215.9	+0.57
Column 2	1336	1331.7	-0.32
Column 3	1477	1471.9	-0.35
Column 4	1633	1645	+0.73

\*Using an input signal from a 3.579545-MHz crystal.

PRODUCTION DATA documents contain information current as of publication date. Products conform to specifications per the terms of Texas Instruments standard warranty. Production processing does not necessarily include testing of all parameters.

**TEXAS  
INSTRUMENTS**

POST OFFICE BOX 655303 - DALLAS, TEXAS 75265

Copyright © 1990, Texas Instruments Incorporated

2-157

เอกสารนี้เป็นเอกสารที่สงวนไว้สำหรับการใช้งานเพื่อการศึกษาเท่านั้น ไม่อนุญาตให้นำไปใช้ประโยชน์ด้านการค้า  
ไม่ว่ากรณีใดๆ ทั้งสิ้น อีกทั้งห้ามมิให้ดัดแปลงเนื้อหา และต้องอ้างอิงถึงเจ้าของเอกสารทุกครั้งที่มีการนำไปใช้

# TCM5087 TONE ENCODER

## operation

### keyboard and electronic inputs

The specific tone or tones generated are determined by inputs designated ROW 1 through ROW 4 and COLUMN 1 through COLUMN 4. The inputs are normally received from a 2-of-8 DTMF (DPST) keyboard, a Class A (SPST) keyboard, or an electronic circuit. Unlike dynamic or scanned inputs, the static inputs of the TCM5087 do not generate noise. See function table for input and output description.



### single-tone enable input

This input inhibits the generation of single tones when taken low. All other chip functions remain unchanged. If the input is high or left open, single-tone operation is enabled.

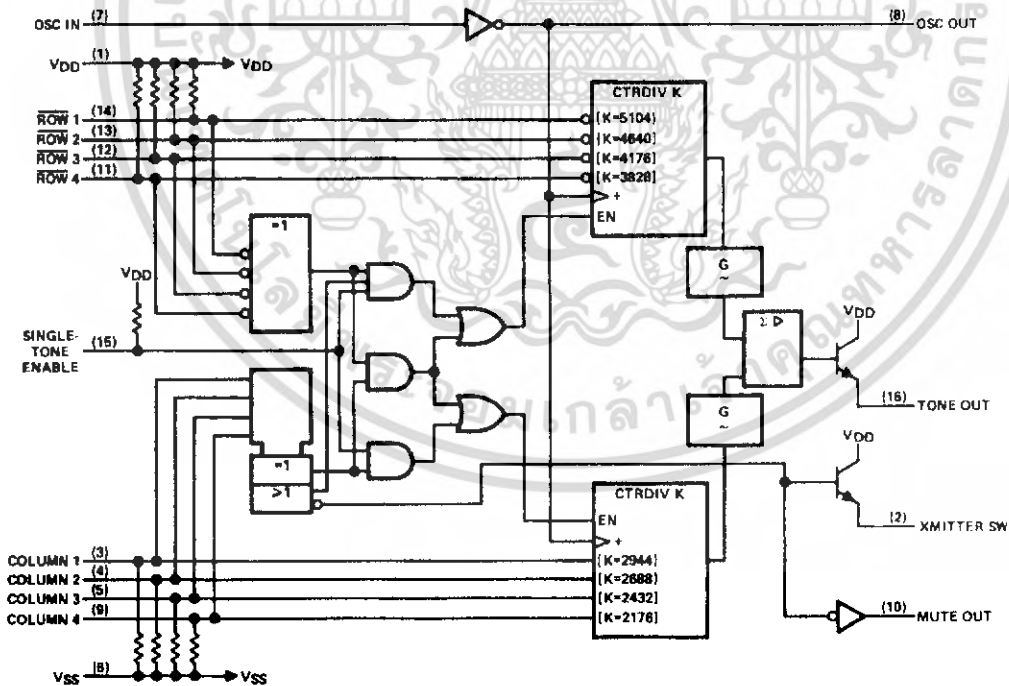
### transmitter switch output

This output is at high impedance when one or more of the column inputs are active and is high when all column inputs are inactive. The output is the emitter of a bipolar transistor whose collector is at V<sub>DD</sub>.

### mute output

The mute output is high when one or more column inputs are active and is low when all column inputs are inactive.

### functional block diagram



TONE ENCODER FUNCTION TABLE

INPUT COMBINATIONS†	TONE OUTPUT		MUTE OUTPUT	TRANSMITTER SWITCH OUTPUT
	PIN 15‡ OPEN	PIN 15‡ AT V <sub>SS</sub>		
0 rows 0 columns	0	0	L	H
1 row 1 column	Row and column	Row and column	H	Hi-Z
2 or more rows 1 column	Column	0	H	Hi-Z
1 row 2 or more columns	Row	0	H	Hi-Z
2 or more rows 2 or more columns	0	0	H	Hi-Z
0 rows 1 column	Column	0	H	Hi-Z
0 rows 2 or more columns	0	0	H	Hi-Z
1 or more rows 0 columns	0	0	L	H

† Row inputs will be active (on) when the input voltage is at a low level ( $V_I \neq V_{IL}$ ), and column inputs are active at a high input level. Under keyboard control, connecting a row input to a column input activates both.  
‡ Pin 15 is the single-tone disable input.

**absolute maximum ratings over operating free-air temperature range (unless otherwise noted)**

Supply voltage V <sub>DD</sub> (see Note 1)	13.5 V
Input voltage range	-0.3 V to V <sub>DD</sub> + 0.3 V
Output voltage range	-0.3 V to V <sub>DD</sub> + 0.3 V
Continuous power dissipation at 25°C free-air temperature (see Note 2)	1150 mW
Operating free-air temperature range, T <sub>A</sub>	-30°C to 70°C
Storage temperature range	-55°C to 150°C
Lead temperature 1,6 mm (1/16 inch) from case for 10 seconds	260°C

NOTES: 1. All voltage values are with respect to the V<sub>SS</sub> terminal.  
2. For operation above 25°C free-air temperature, derate linearly to 736 mW at 70°C at the rate of 9.2 mW/°C.

# TCM5087 TONE ENCODER

## recommended operating conditions

		MIN	NOM	MAX	UNIT	
Supply voltage, $V_{DD}$		3.5		10	V	
High-level input voltage, $V_{IH}$	Row inputs (off)	0.9 $V_{DD}$		$V_{DD}$	V	
	All other inputs	0.7 $V_{DD}$		$V_{DD}$	V	
Low-level input voltage, $V_{IL}$	Column inputs (off)	$V_{SS}$		0.1 $V_{DD}$	V	
	All other inputs	$V_{SS}$		0.3 $V_{DD}$	V	
Contact resistance between row and column inputs					100	$\Omega$
Tone-output load resistance, $R_L$					120 330 620	$\Omega$
Operating free-air temperature, $T_A$					-30 70	$^{\circ}\text{C}$

## electrical characteristics over operating free-air temperature range (unless otherwise noted)

PARAMETER		TEST CONDITIONS	MIN	TYP	MAX	UNIT
Column or row input			10			$k\Omega$
Single-tone-enable input resistance to $V_{DD}$		$T_A = 25^{\circ}\text{C}$	20		100	$k\Omega$
$V_{OH}$	High-level output voltage	Mute output	$V_{DD} = 3\text{ V}, I_{OH} = 0.2\text{ mA}$	2		V
			$V_{DD} = 10\text{ V}, I_{OH} = 0.5\text{ mA}$	9		
		Transmitter switch output	$V_{DD} = 3.5\text{ V}, I_{OH} = -15\text{ mA}$	1.5	2.5	
			$V_{DD} = 10\text{ V}, I_{OH} = -40\text{ mA}$	8		
$V_{OL}$	Low-level output voltage, mute output	$V_{DD} = 3\text{ V}, I_{OL} = -0.2\text{ mA}$			0.5	V
		$V_{DD} = 10\text{ V}, I_{OL} = -0.5\text{ mA}$			0.5	
$I_{QL}$	Off-state current transmitter switch output	$V_{DD} = 10\text{ V}, V_O = 0\text{ V}$			10	$\mu\text{A}$
$I_{DDstby}$	Standby supply current with outputs unloaded	$V_{DD} = 3.5\text{ V}$		0.25	100	$\mu\text{A}$
		$V_{DD} = 10\text{ V}$		0.5	200	
$I_{DDop}$	Operating current	$V_{DD} = 3.5\text{ V}$ , See Note 3		1	2	mA
		$V_{DD} = 10\text{ V}$ , See Note 3		5	10	

## operating characteristics over recommended ranges of operating free-air temperature and supply voltage (unless otherwise noted)

PARAMETER		TEST CONDITIONS <sup>†</sup>	MIN	TYP	MAX	UNIT
Output rms voltage	Row tone	$R_L = 330\ \Omega$	317	400	500	mV
	Column tone	$T_A = 25^{\circ}\text{C}$	396	500	630	
Preemphasis (column tone to row tone)			1	2	3	dB
Dual-tone output distortion (see Note 4)		$V_{DD} \geq 4\text{ V}$			-20	dB
Quiescent tone-output power					-80	dBm
Tone-output rise time (see Note 5)				3	5	ms

<sup>†</sup> Unless otherwise noted, test conditions are:  $R_L = 820\ \Omega$  for  $V_{DD} \leq 5\text{ V}$  or  $R_L = 330\ \Omega$  for  $V_{DD} > 5\text{ V}$ . Crystal parameters are the following:  $f = 3.579545\text{ MHz} \pm 0.02\%$ ,  $R_S < 100\ \Omega$ ,  $C_L = 18\text{ pF}$ ,  $C_M = 0.02\text{ pF}$ ,  $C_H = 5\text{ pF}$ ,  $L_M = 96\text{ mH}$ .

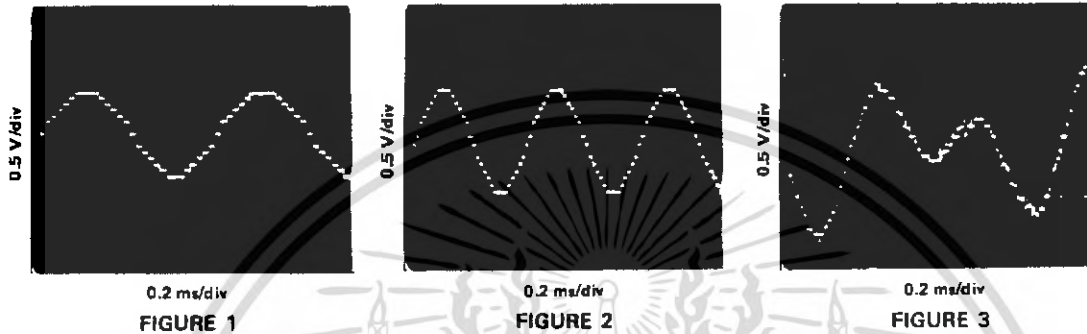
NOTES: 3. Operating current is measured with all outputs unloaded, one row input connected to one column input, and normal oscillator input ( $T_A$  at  $0^{\circ}\text{C}$  to  $70^{\circ}\text{C}$ ).

4. Distortion is expressed as the ratio of total out-of-band power relative to the total fundamental power for the dual tone.

5. This is the time required for output to change from its quiescent value to 90% of its final rms value.

output waveforms

Typical row and column stairstep approximations of sinusoidal outputs are shown in Figures 1 and 2. The row and column outputs are added together resulting in a typical dual-tone waveform as shown in Figure 3. Spectral analysis of this dual-tone waveform shows that all harmonic and intermodulation distortions are typically 30 dB below the strongest column-tone fundamental.



distortion considerations

The following formula is used to calculate the total harmonic distortion of a single row or a single column:

$$THD = \left( \frac{\sqrt{V_{2f}^2 + V_{3f}^2 + V_{4f}^2 + V_{5f}^2 + \dots + V_{nf}^2}}{V_{1f}} \right) \times 100\%$$

where  $V_{2f}$  is the second harmonic of the fundamental frequency  $V_{1f}$  waveform and so on. The dual-tone total harmonic distortion is:

$$THD = \left( \frac{\sqrt{V_{2R}^2 + V_{3R}^2 + \dots + V_{nR}^2 + V_{2C}^2 + \dots + V_{nC}^2 \pm V_{IMD}^2}}{\sqrt{V_{FR}^2 + V_{FC}^2}} \right) \times 100\%$$

where  $V_{FR}$  and  $V_{FC}$  are the row and column fundamental frequency waveforms, and  $V_{2R}$  and  $V_{2C}$ , etc., are the corresponding harmonics.

The total intermodulation distortion is:

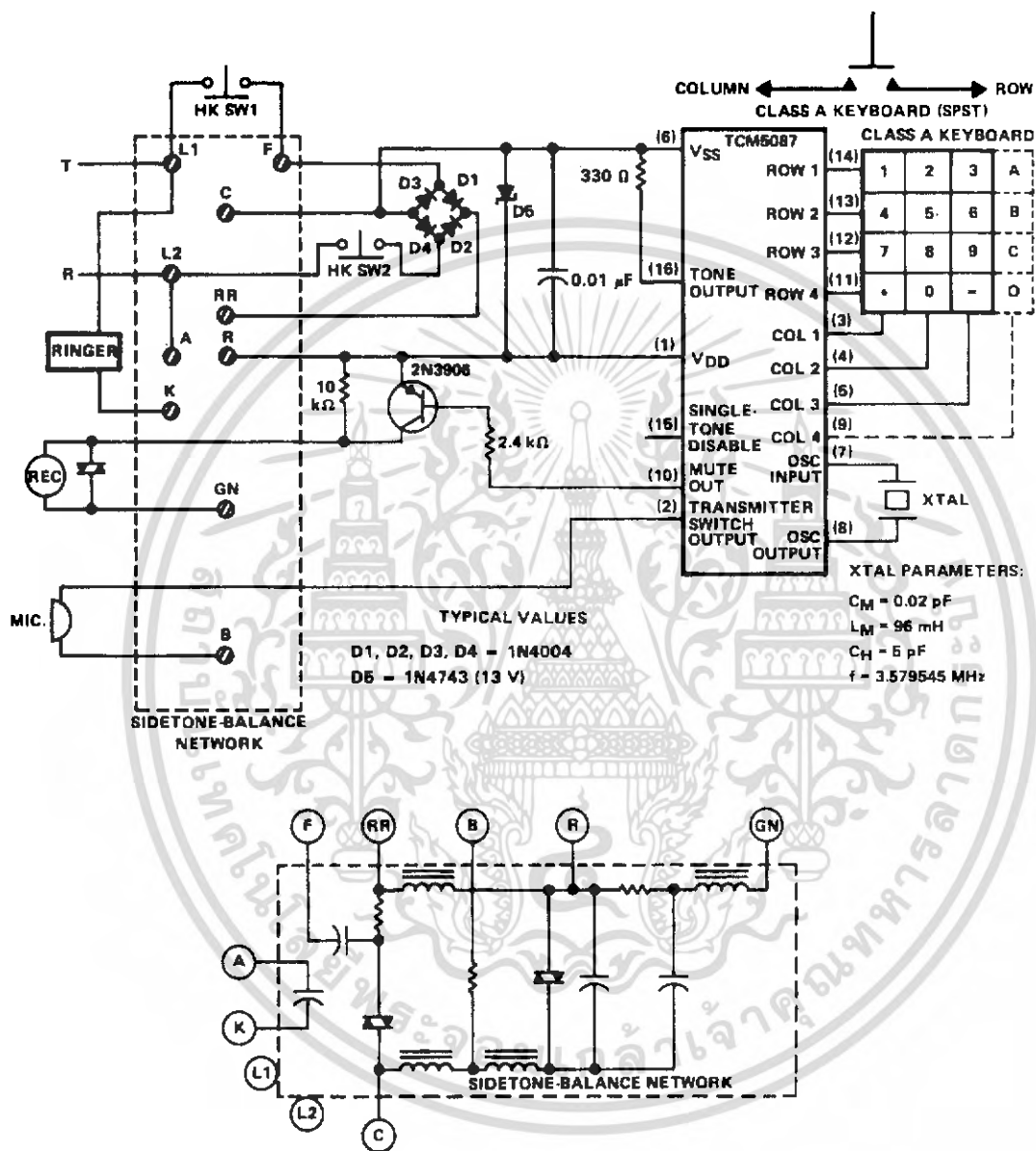
$$V_{IMD}^2 = (V_{1R} + V_{1C})^2 + (V_{1R} - V_{1C})^2 + \dots + (V_{nR} + V_{nC})^2 + (V_{nR} - V_{nC})^2$$

A relatively simple method of distortion measurement uses a spectrum analyzer to relate the harmonics to the fundamental frequency waveform. The tone encoder spectrum indicates the harmonics and intermodulation distortion at least 30 dB down relative to the column tone.

Another method for distortion measurement of the dual-tone waveform is to compare the total power in the fundamental frequencies with the total power in the various harmonics plus intermodulation on a signal analyzer. The encoders provide an output distortion of -20 dB maximum when operated between 3.5 V and 10 V. If operated between 3 V and 3.5 V, some clipping occurs at the output causing the distortion to exceed the -20 dB level.

**TCM5087  
TONE ENCODER**

**APPLICATION INFORMATION**



**FIGURE 4. TYPICAL APPLICATION USING HYBRID COIL SIDETONE-BALANCE NETWORK, ELECTRONIC SWITCHING, AND LOW-COST (CLASS A) KEYBOARD**

เอกสารนี้เป็นเอกสารที่สงวนไว้สำหรับการใช้งานเพื่อการศึกษาเท่านั้น ไม่อนุญาตให้นำไปใช้ประโยชน์ด้านการค้า  
ไม่ว่ากรณีใดๆ ทั้งสิ้น อีกทั้งห้ามมิให้ดัดแปลงเนื้อหา และต้องอ้างอิงถึงเจ้าของเอกสารทุกครั้งที่มีการนำไปใช้

# LM324, LM324A, LM224, LM2902, LM2902V, NCV2902

## Single Supply Quad Operational Amplifiers

The LM324 series are low-cost, quad operational amplifiers with true differential inputs. They have several distinct advantages over standard operational amplifier types in single supply applications. The quad amplifier can operate at supply voltages as low as 3.0 V or as high as 32 V with quiescent currents about one-fifth of those associated with the MC1741 (on a per amplifier basis). The common mode input range includes the negative supply, thereby eliminating the necessity for external biasing components in many applications. The output voltage range also includes the negative power supply voltage.

- Short Circuited Protected Outputs
- True Differential Input Stage
- Single Supply Operation: 3.0 V to 32 V (LM224, LM324, LM324A)
- Low Input Bias Currents: 100 nA Maximum (LM324A)
- Four Amplifiers Per Package
- Internally Compensated
- Common Mode Range Extends to Negative Supply
- Industry Standard Pinouts
- ESD Clamps on the Inputs Increase Ruggedness without Affecting Device Operation

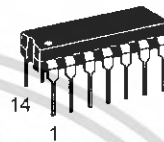
**MAXIMUM RATINGS** ( $T_A = +25^\circ\text{C}$ , unless otherwise noted.)

Rating	Symbol	LM224 LM324, LM324A	LM2902, LM2902V	Unit
Power Supply Voltages				Vdc
Single Supply	$V_{CC}$	32	26	
Split Supplies	$V_{CC}, V_{EE}$	$\pm 16$	$\pm 13$	
Input Differential Voltage Range (Note 1)	$V_{IDR}$	$\pm 32$	$\pm 26$	Vdc
Input Common Mode Voltage Range	$V_{ICR}$	-0.3 to 32	-0.3 to 26	Vdc
Output Short Circuit Duration	$t_{sc}$	Continuous		
Junction Temperature	$T_J$	150		$^\circ\text{C}$
Storage Temperature Range	$T_{stg}$	-65 to +150		$^\circ\text{C}$
Operating Ambient Temperature Range	$T_A$			$^\circ\text{C}$
LM224		-25 to +85		
LM324, 324A		0 to +70		
LM2902			-40 to +105	
LM2902V, NCV2902			-40 to +125	

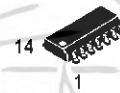
1. Split Power Supplies.

**ON Semiconductor**

<http://onsemi.com>



PDP-14  
N SUFFIX  
CASE 646

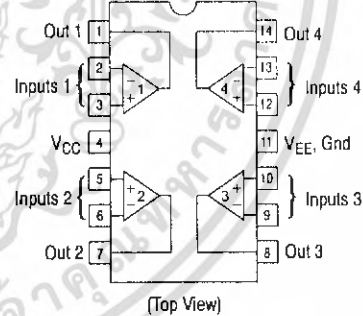


SO-14  
D SUFFIX  
CASE 751A



TSSOP-14  
DTB SUFFIX  
CASE 948G

### PIN CONNECTIONS



### ORDERING INFORMATION

See detailed ordering and shipping information in the package dimensions section on page 9 of this data sheet.

### DEVICE MARKING INFORMATION

See general marking information in the device marking section on page 10 of this data sheet.

## LM324, LM324A, LM224, LM2902, LM2902V, NCV2902

**ELECTRICAL CHARACTERISTICS** ( $V_{CC} = 5.0\text{ V}$ ,  $V_{EE} = \text{Gnd}$ ,  $T_A = 25^\circ\text{C}$ , unless otherwise noted.)

Characteristics	Symbol	LM224			LM324A			LM324			LM2902			LM2902V/NCV2902			Unit
		Min	Typ	Max	Min	Typ	Max	Min	Typ	Max	Min	Typ	Max	Min	Typ	Max	
Input Offset Voltage $V_{CC} = 5.0\text{ V to }30\text{ V}$ (26 V for LM2902, V), $V_{ICR} = 0\text{ V to }V_{CC} - 1.7\text{ V}$ , $V_O = 1.4\text{ V}$ , $R_S = 0\ \Omega$ $T_A = 25^\circ\text{C}$ $T_A = T_{\text{high}}$ (Note 2) $T_A = T_{\text{low}}$ (Note 2)	$V_{IO}$	-	2.0	5.0	-	2.0	3.0	-	2.0	7.0	-	2.0	7.0	-	2.0	7.0	mV
Average Temperature Coefficient of Input Offset Voltage $T_A = T_{\text{high}}$ to $T_{\text{low}}$ (Notes 2 and 4)	$\Delta V_{IO}/\Delta T$	-	7.0	-	-	7.0	30	-	7.0	-	-	7.0	-	-	7.0	-	$\mu\text{V}/^\circ\text{C}$
Input Offset Current $T_A = T_{\text{high}}$ to $T_{\text{low}}$ (Note 2)	$I_{IO}$	-	3.0	30	-	5.0	30	-	5.0	50	-	5.0	50	-	5.0	50	nA
Average Temperature Coefficient of Input Offset Current $T_A = T_{\text{high}}$ to $T_{\text{low}}$ (Notes 2 and 4)	$\Delta I_{IO}/\Delta T$	-	10	-	-	10	300	-	10	-	-	10	-	-	10	-	$\text{pA}/^\circ\text{C}$
Input Bias Current $T_A = T_{\text{high}}$ to $T_{\text{low}}$ (Note 2)	$I_B$	-	-90	-150	-	-45	-100	-	-90	-250	-	-90	-250	-	-90	-250	nA
Input Common Mode Voltage Range (Note 3) $V_{CC} = 30\text{ V}$ (26 V for LM2902, V) $T_A = +25^\circ\text{C}$ $T_A = T_{\text{high}}$ to $T_{\text{low}}$ (Note 2)	$V_{ICR}$	0	-	28.3	0	-	28.3	0	-	28.3	0	-	24.3	0	-	24.3	V
Differential Input Voltage Range	$V_{IDR}$	-	-	$V_{CC}$	-	-	$V_{CC}$	-	-	$V_{CC}$	-	-	$V_{CC}$	-	-	$V_{CC}$	V
Large Signal Open Loop Voltage Gain $R_L = 2.0\text{ k}\Omega$ , $V_{CC} = 15\text{ V}$ , for Large $V_O$ Swing $T_A = T_{\text{high}}$ to $T_{\text{low}}$ (Note 2)	$A_{VOL}$	50	100	-	25	100	-	25	100	-	25	100	-	25	100	-	V/mV
Channel Separation $10\text{ kHz} \leq f \leq 20\text{ kHz}$ , Input Referenced	CS	-	-120	-	-	-120	-	-	-120	-	-	-120	-	-	-120	-	dB
Common Mode Rejection, $R_S \leq 10\text{ k}\Omega$	CMR	70	85	-	65	70	-	65	70	-	50	70	-	50	70	-	dB
Power Supply Rejection	PSR	65	100	-	65	100	-	65	100	-	50	100	-	50	100	-	dB

- LM224:  $T_{\text{low}} = -25^\circ\text{C}$ ,  $T_{\text{high}} = +85^\circ\text{C}$   
LM324/LM324A:  $T_{\text{low}} = 0^\circ\text{C}$ ,  $T_{\text{high}} = +70^\circ\text{C}$   
LM2902:  $T_{\text{low}} = -40^\circ\text{C}$ ,  $T_{\text{high}} = +105^\circ\text{C}$   
LM2902V & NCV2902:  $T_{\text{low}} = -40^\circ\text{C}$ ,  $T_{\text{high}} = +125^\circ\text{C}$   
NCV2902 is qualified for automotive use.

- The input common mode voltage or either input signal voltage should not be allowed to go negative by more than 0.3 V. The upper end of the common mode voltage range is  $V_{CC} - 1.7\text{ V}$ .
- Guaranteed by design.

<http://onsemi.com>

เอกสารนี้เป็นเอกสารที่สงวนไว้สำหรับการใช้งานเพื่อการศึกษาเท่านั้น ไม่อนุญาตให้นำไปใช้ประโยชน์ด้านการค้า  
ไม่ว่ากรณีใดๆ ทั้งสิ้น อีกทั้งห้ามมิให้ดัดแปลงเนื้อหา และต้องอ้างอิงถึงเจ้าของเอกสารทุกครั้งที่มีการนำไปใช้

## LM324, LM324A, LM224, LM2902, LM2902V, NCV2902

**ELECTRICAL CHARACTERISTICS** ( $V_{CC} = 5.0\text{ V}$ ,  $V_{EE} = \text{Gnd}$ ,  $T_A = 25^\circ\text{C}$ , unless otherwise noted.)

Characteristics	Symbol	LM224			LM324A			LM324			LM2902			LM2902V/NCV2902			Unit	
		Min	Typ	Max	Min	Typ	Max	Min	Typ	Max	Min	Typ	Max	Min	Typ	Max		
Output Voltage – High Limit ( $T_A = T_{\text{high}}$ to $T_{\text{low}}$ ) (Note 5) $V_{CC} = 5.0\text{ V}$ , $R_L = 2.0\text{ k}\Omega$ , $T_A = 25^\circ\text{C}$	$V_{OH}$	3.3	3.5	–	3.3	3.5	–	3.3	3.5	–	3.3	3.5	–	3.3	3.5	–	V	
$V_{CC} = 30\text{ V}$ (26 V for LM2902, V), $R_L = 2.0\text{ k}\Omega$		26	–	–	26	–	–	26	–	–	22	–	–	22	–	–		
$V_{CC} = 30\text{ V}$ (26 V for LM2902, V), $R_L = 10\text{ k}\Omega$		27	28	–	27	28	–	27	28	–	23	24	–	23	24	–		
Output Voltage – Low Limit. $V_{CC} = 5.0\text{ V}$ , $R_L = 10\text{ k}\Omega$ , $T_A = T_{\text{high}}$ to $T_{\text{low}}$ (Note 5)	$V_{OL}$	–	5.0	20	–	5.0	20	–	5.0	20	–	5.0	100	–	5.0	100	mV	
Output Source Current ( $V_{ID} = +1.0\text{ V}$ , $V_{CC} = 15\text{ V}$ ) $T_A = 25^\circ\text{C}$ $T_A = T_{\text{high}}$ to $T_{\text{low}}$ (Note 5)	$I_{O+}$	20	40	–	20	40	–	20	40	–	20	40	–	20	40	–	mA	
Output Sink Current ( $V_{ID} = -1.0\text{ V}$ , $V_{CC} = 15\text{ V}$ ) $T_A = 25^\circ\text{C}$ $T_A = T_{\text{high}}$ to $T_{\text{low}}$ (Note 5)	$I_{O-}$	10	20	–	10	20	–	10	20	–	10	20	–	10	20	–	mA	
		( $V_{ID} = -1.0\text{ V}$ , $V_O = 200\text{ mV}$ , $T_A = 25^\circ\text{C}$ )	5.0	8.0	–	5.0	8.0	–	5.0	8.0	–	5.0	8.0	–	5.0	8.0	–	
Output Short Circuit to Ground (Note 6)	$I_{SC}$	–	40	60	–	40	60	–	40	60	–	40	60	–	40	60	mA	
Power Supply Current ( $T_A = T_{\text{high}}$ to $T_{\text{low}}$ ) (Note 5)	$I_{CC}$	$V_{CC} = 30\text{ V}$ (26 V for LM2902, V), $V_O = 0\text{ V}$ , $R_L = \infty$	–	–	3.0	–	1.4	3.0	–	–	3.0	–	–	3.0	–	–	3.0	mA
		$V_{CC} = 5.0\text{ V}$ , $V_O = 0\text{ V}$ , $R_L = \infty$	–	–	1.2	–	0.7	1.2	–	–	1.2	–	–	1.2	–	–	1.2	

5. LM224:  $T_{\text{low}} = -25^\circ\text{C}$ ,  $T_{\text{high}} = +85^\circ\text{C}$   
 LM324/LM324A:  $T_{\text{low}} = 0^\circ\text{C}$ ,  $T_{\text{high}} = +70^\circ\text{C}$   
 LM2902:  $T_{\text{low}} = -40^\circ\text{C}$ ,  $T_{\text{high}} = +105^\circ\text{C}$   
 LM2902V & NCV2902:  $T_{\text{low}} = -40^\circ\text{C}$ ,  $T_{\text{high}} = +125^\circ\text{C}$   
 NCV2902 is qualified for automotive use.

6. The input common mode voltage or either input signal voltage should not be allowed to go negative by more than 0.3 V. The upper end of the common mode voltage range is  $V_{CC} - 1.7\text{ V}$ .

<http://onsemi.com>

เอกสารนี้เป็นเอกสารที่สงวนไว้สำหรับการใช้งานเพื่อการศึกษาเท่านั้น ไม่อนุญาตให้นำไปใช้ประโยชน์ด้านการค้า  
 ไม่ว่ากรณีใดๆ ทั้งสิ้น อีกทั้งห้ามมิให้ดัดแปลงเนื้อหา และต้องอ้างอิงถึงเจ้าของเอกสารทุกครั้งที่มีการนำไปใช้

## LM324, LM324A, LM224, LM2902, LM2902V, NCV2902

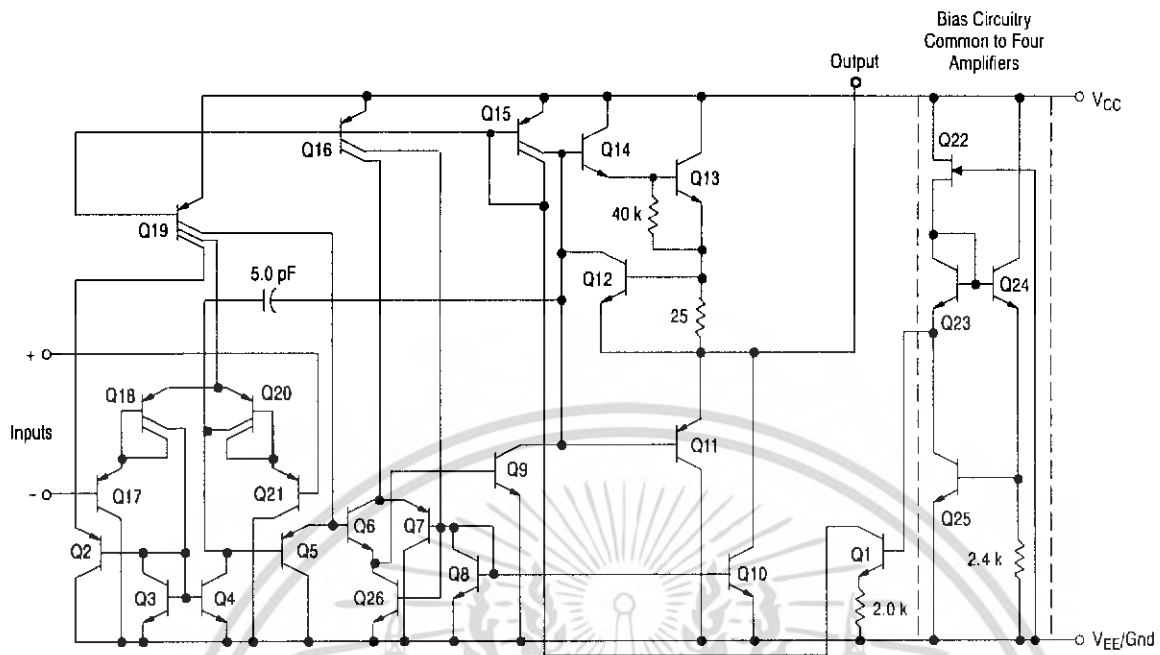


Figure 1. Representative Circuit Diagram  
(One-Fourth of Circuit Shown)

<http://onsemi.com>

เอกสารนี้เป็นเอกสารที่สงวนไว้สำหรับการใช้งานเพื่อการศึกษาเท่านั้น ไม่อนุญาตให้นำไปใช้ประโยชน์ด้านการค้า  
ไม่ว่ากรณีใดๆ ทั้งสิ้น อีกทั้งห้ามมิให้ดัดแปลงเนื้อหา และต้องอ้างอิงถึงเจ้าของเอกสารทุกครั้งที่มีการนำไปใช้

## LM324, LM324A, LM224, LM2902, LM2902V, NCV2902

### CIRCUIT DESCRIPTION

The LM324 series is made using four internally compensated, two-stage operational amplifiers. The first stage of each consists of differential input devices Q20 and Q18 with input buffer transistors Q21 and Q17 and the differential to single ended converter Q3 and Q4. The first stage performs not only the first stage gain function but also performs the level shifting and transconductance reduction functions. By reducing the transconductance, a smaller compensation capacitor (only 5.0 pF) can be employed, thus saving chip area. The transconductance reduction is accomplished by splitting the collectors of Q20 and Q18. Another feature of this input stage is that the input common mode range can include the negative supply or ground, in single supply operation, without saturating either the input devices or the differential to single-ended converter. The second stage consists of a standard current source load amplifier stage.

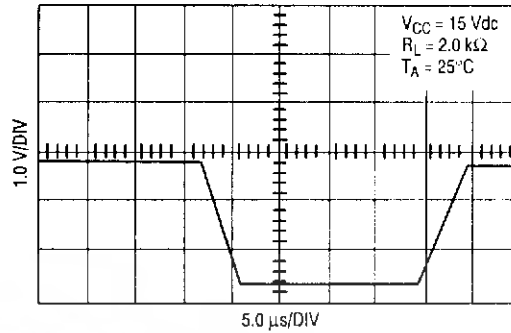


Figure 2. Large Signal Voltage Follower Response

Each amplifier is biased from an internal-voltage regulator which has a low temperature coefficient thus giving each amplifier good temperature characteristics as well as excellent power supply rejection.



Figure 3.

<http://onsemi.com>

5

เอกสารนี้เป็นเอกสารที่สงวนไว้สำหรับการใช้งานเพื่อการศึกษาเท่านั้น ไม่อนุญาตให้นำไปใช้ประโยชน์ด้านการค้า  
ไม่ว่ากรณีใดๆ ทั้งสิ้น อีกทั้งห้ามมิให้ดัดแปลงเนื้อหา และต้องอ้างอิงถึงเจ้าของเอกสารทุกครั้งที่มีการนำไปใช้

LM324, LM324A, LM224, LM2902, LM2902V, NCV2902

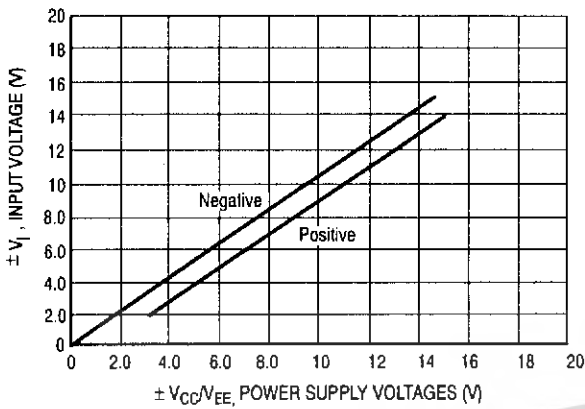


Figure 4. Input Voltage Range

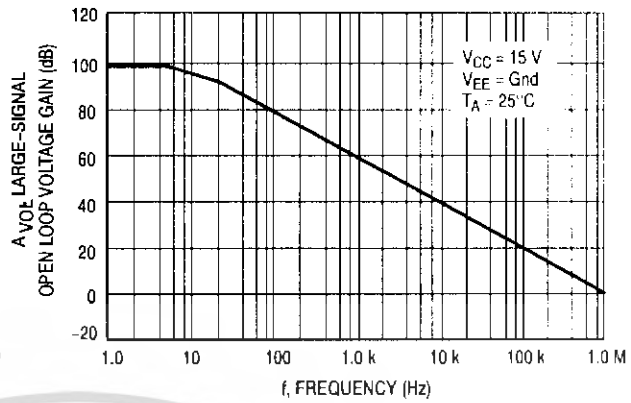


Figure 5. Open Loop Frequency

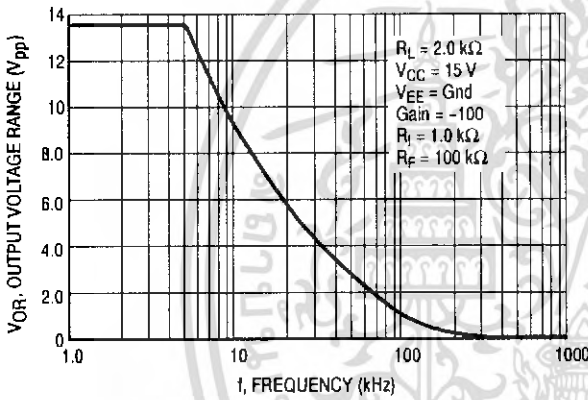


Figure 6. Large-Signal Frequency Response

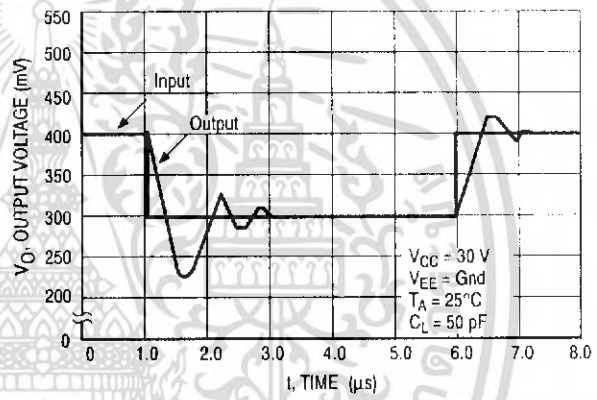


Figure 7. Small-Signal Voltage Follower Pulse Response (Noninverting)

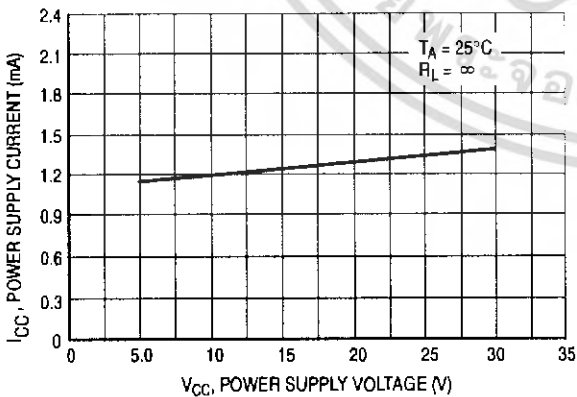


Figure 8. Power Supply Current versus Power Supply Voltage

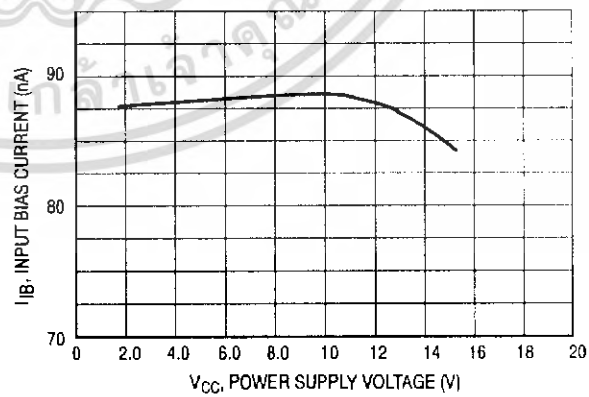


Figure 9. Input Bias Current versus Power Supply Voltage

LM324, LM324A, LM224, LM2902, LM2902V, NCV2902

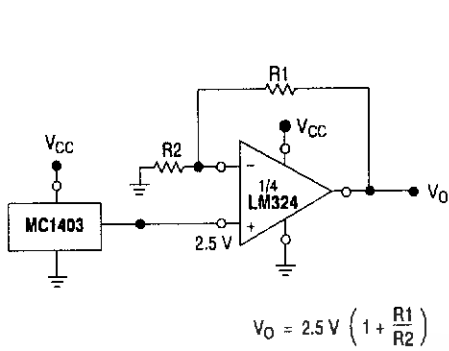


Figure 10. Voltage Reference

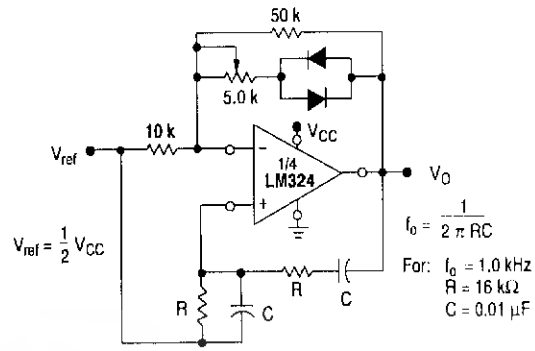


Figure 11. Wien Bridge Oscillator

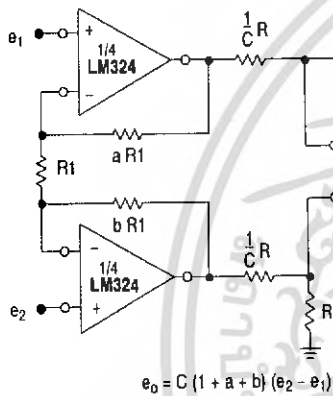


Figure 12. High Impedance Differential Amplifier

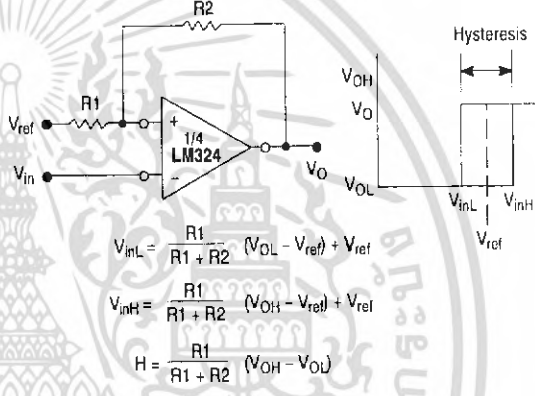


Figure 13. Comparator with Hysteresis

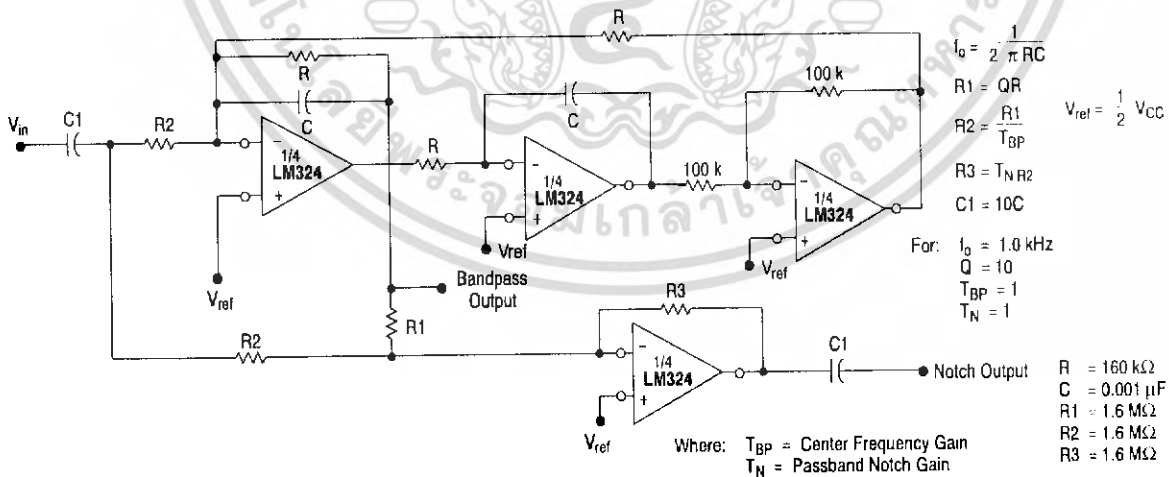


Figure 14. Bi-Quad Filter

## LM324, LM324A, LM224, LM2902, LM2902V, NCV2902

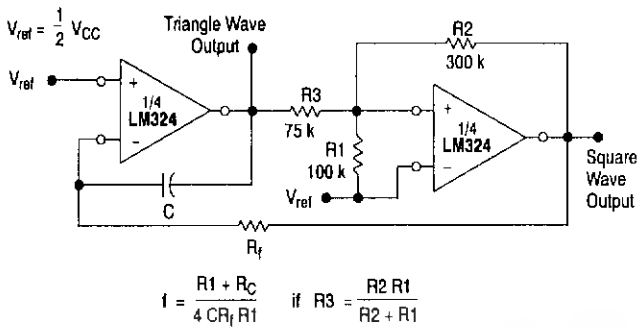


Figure 15. Function Generator

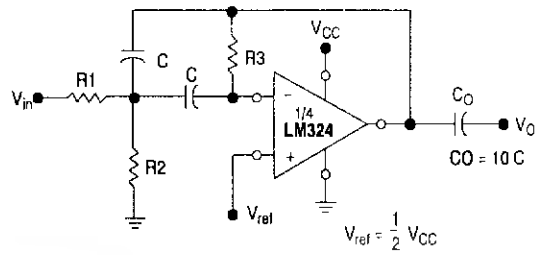


Figure 16. Multiple Feedback Bandpass Filter

Given:  $f_0$  = center frequency

$A(f_0)$  = gain at center frequency

Choose value  $f_0, C$

Then:  $R3 = \frac{Q}{\pi f_0 C}$

$R1 = \frac{R3}{2 A(f_0)}$

$R2 = \frac{R1 R3}{4Q^2 R1 - R3}$

For less than 10% error from operational amplifier,  $\frac{Q_0 f_c}{BW} < 0.1$

where  $f_0$  and BW are expressed in Hz.

If source impedance varies, filter may be preceded with voltage follower buffer to stabilize filter parameters.

LM324, LM324A, LM224, LM2902, LM2902V, NCV2902

ORDERING INFORMATION

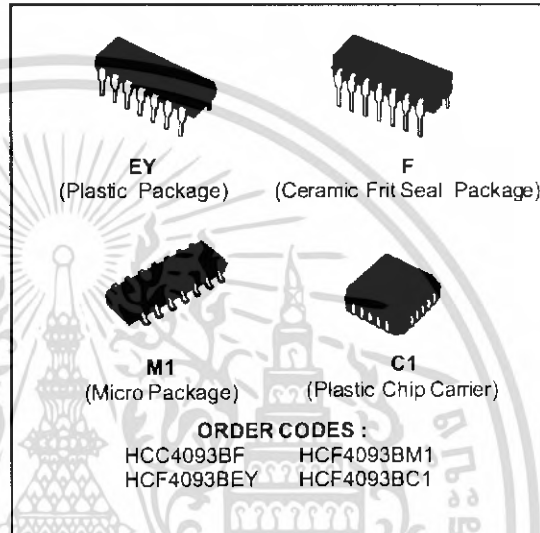
Device	Package	Operating Temperature Range	Shipping
LM224D	SO-14	-25° to +85°C	55 Units/Rail
LM224DR2	SO-14		2500 Tape & Reel
LM224DTB	TSSOP-14		96 Units/Rail
LM224DTBR2	TSSOP-14		2500 Tape & Reel
LM224N	PDIP-14		25 Units/Rail
LM324D	SO-14	0° to +70°C	55 Units/Rail
LM324DR2	SO-14		2500 Tape & Reel
LM324DTB	TSSOP-14		96 Units/Rail
LM324DTBR2	TSSOP-14		2500 Tape & Reel
LM324N	PDIP-14		25 Units/Rail
LM324AD	SO-14		55 Units/Rail
LM324ADR2	SO-14		2500 Tape & Reel
LM324ADTB	TSSOP-14		96 Units/Rail
LM324ADTBR2	TSSOP-14		2500 Tape & Reel
LM324AN	PDIP-14		25 Units/Rail
LM2902D	SO-14	-40° to +105°C	55 Units/Rail
LM2902DR2	SO-14		2500 Tape & Reel
LM2902DTB	TSSOP-14		96 Units/Rail
LM2902DTBR2	TSSOP-14		2500 Tape & Reel
LM2902N	PDIP-14		25 Units/Rail
LM2902VD	SO-14	-40° to +125°C	55 Units/Rail
LM2902VDR2	SO-14		2500 Tape & Reel
LM2902VDTB	TSSOP-14		96 Units/Rail
LM2902VDTBR2	TSSOP-14		2500 Tape & Reel
LM2902VN	PDIP-14		25 Units/Rail
NCV2902DR2	SO-14		2500 Tape & Reel

<http://onsemi.com>

เอกสารนี้เป็นเอกสารที่สงวนไว้สำหรับการใช้งานเพื่อการศึกษาเท่านั้น ไม่อนุญาตให้นำไปใช้ประโยชน์ด้านการค้า  
ไม่ว่ากรณีใดๆ ทั้งสิ้น อีกทั้งห้ามมิให้ดัดแปลงเนื้อหา และต้องอ้างอิงถึงเจ้าของเอกสารทุกครั้งที่มีการนำไปใช้

**QUAD 2-INPUT NAND SCHMIDT TRIGGERS**

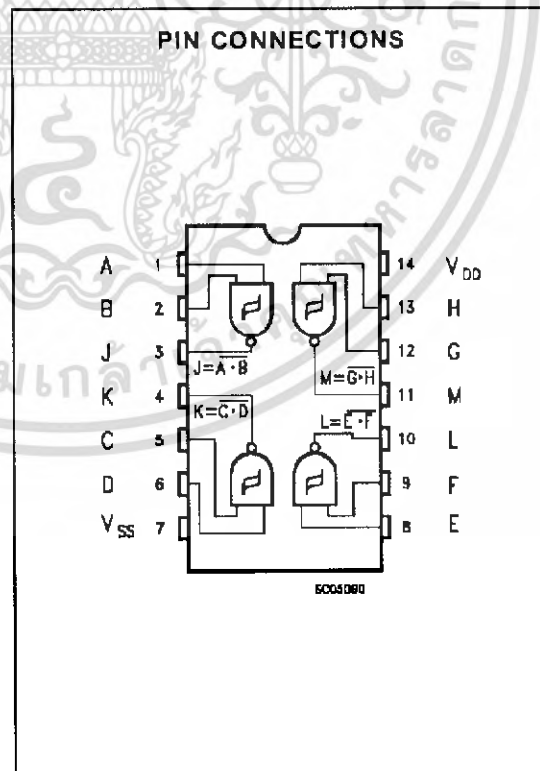
- SCHMITT-TRIGGER ACTION ON EACH INPUT WITH NO EXTERNAL COMPONENTS
- HYSTERESIS VOLTAGE TYPICALLY 0.9V AT  $V_{DD} = 5V$  AND 2.3V AT  $V_{DD} = 10V$
- NOISE IMMUNITY GREATER THAN 50% OF  $V_{DD}$  (typ.)
- NO LIMIT ON INPUT RISE AND FALL TIMES
- STANDARDIZED SYMMETRICAL OUTPUT CHARACTERISTICS
- QUIESCENT CURRENT SPECIFIED TO 20V FOR HCC DEVICE
- 5V, 10V, AND 15V PARAMETRIC RATINGS
- INPUT CURRENT OF 100nA AT 18V AND 25°C FOR HCC DEVICE
- 100% TESTED FOR QUIESCENT CURRENT
- MEETS ALL REQUIREMENTS OF JEDEC TENTATIVE STANDARD N°. 13A, "STANDARD SPECIFICATIONS FOR DESCRIPTION OF "B" SERIES CMOS DEVICES"



**DESCRIPTION**

The **HCC4093B** (extended temperature range) and **HCF4093B** (intermediate temperature range) are available in 14-lead dual in-line plastic or ceramic package and plastic micropackage. The **HCC/HCF4093B** consists of four Schmitt-trigger circuits. Each circuit functions as a two-input NAND gate with Schmitt-trigger action on both inputs. The gate switches at different points for positive and negative-going signals.

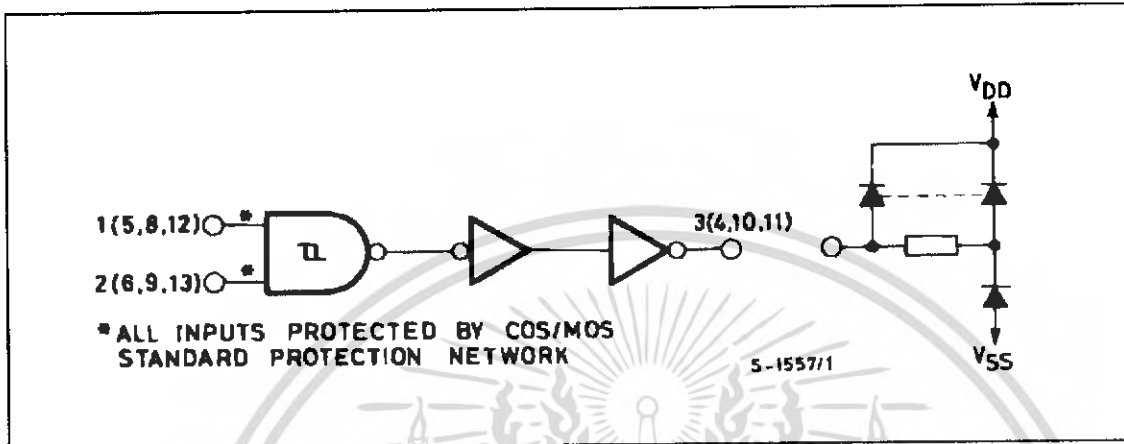
The difference between the positive voltage ( $V_P$ ) and the negative voltage ( $V_N$ ) is defined as hysteresis voltage ( $V_H$ ) (see fig. 1).



## HCC/HCF4093B

### FUNCTIONAL DIAGRAM

1 of 4 Schmitt triggers



### ABSOLUTE MAXIMUM RATINGS

Symbol	Parameter	Value	Unit
$V_{DD}^*$	Supply Voltage : HCC Types HCF Types	- 0.5 to + 20 - 0.5 to + 18	V
$V_I$	Input Voltage	- 0.5 to $V_{DD} + 0.5$	V
$I_I$	DC Input Current (any one input)	$\pm 10$	mA
$P_{tot}$	Total Power Dissipation (per package) Dissipation per Output Transistor for $T_{op}$ = Full Package-temperature Range	200 100	mW
$T_{op}$	Operating Temperature : HCC Types HCF Types	- 55 to + 125 - 40 to + 85	$^{\circ}C$
$T_{stg}$	Storage Temperature	- 65 to + 150	$^{\circ}C$

Stresses above those listed under "Absolute Maximum Ratings" may cause permanent damage to the device. This is a stress rating only and functional operation of the device at these or any other conditions above those indicated in the operational sections of this specification is not implied. Exposure to absolute maximum rating conditions for external periods may affect device reliability.

\* All voltage values are referred to  $V_{SS}$  pin voltage.

### RECOMMENDED OPERATING CONDITIONS

Symbol	Parameter	Value	Unit
$V_{DD}$	Supply Voltage : HCC Types HCF Types	3 to 18 3 to 15	V
$V_I$	Input Voltage	0 to $V_{DD}$	V
$T_{op}$	Operating Temperature : HCC Types HCF Types	- 55 to + 125 - 40 to + 85	$^{\circ}C$

## STATIC ELECTRICAL CHARACTERISTICS (over recommended operating conditions)

Symbol	Parameter	Test Conditions				Value						Unit		
		V <sub>I</sub> (V)	V <sub>O</sub> (V)	I <sub>o</sub>   ( $\mu$ A)	V <sub>DD</sub> (V)	T <sub>Low</sub> *		25°C			T <sub>High</sub> *			
						Min.	Max.	Min.	Typ.	Max.	Min.		Max.	
I <sub>L</sub>	Quiescent Current	HCC Types	0/ 5			5		1		0.02	1		30	$\mu$ A
			0/10			10		2		0.02	2		60	
			0/15			15		4		0.02	4		120	
		0/20			20		20		0.04	20		600		
		HCF Types	0/ 5			5		4		0.02	4		30	
			0/10			10		8		0.02	8		60	
0/15				15		16		0.02	16		120			
V <sub>P</sub>	Positive Trigger Threshold Voltage		a			5	2.2	3.6	2.2	2.9	3.6	2.2	3.6	V
			a			10	4.6	7.1	4.6	5.9	7.1	4.6	7.1	
			a			15	6.8	10.8	6.8	8.8	10.8	6.8	10.8	
			b			5	2.6	4	2.6	3.3	4	2.6	4	
			b			10	5.6	8.2	5.6	7	8.2	5.6	8.2	
			b			15	6.3	12.7	6.3	9.4	12.7	6.3	12.7	
V <sub>N</sub>	Negative Trigger Threshold Voltage		a			5	0.9	2.8	0.9	1.9	2.8	0.9	2.8	V
			a			10	2.5	5.2	2.5	3.9	5.2	2.5	5.2	
			a			15	4	7.4	4	5.8	7.4	4	7.4	
			b			5	1.4	3.2	1.4	2.3	3.2	1.4	3.2	
			b			10	3.4	6.6	3.4	5.1	6.6	3.4	6.6	
			b			15	4.8	9.6	4.8	7.3	9.6	4.8	9.6	
V <sub>H</sub>	Hysteresis Voltage		a			5	0.3	1.6	0.3	0.9	1.6	0.3	1.6	V
			a			10	1.2	3.4	1.2	2.3	3.4	1.2	3.4	
			a			15	1.6	5	1.6	3.5	5	1.6	5	
			b			5	0.3	1.6	0.3	0.9	1.6	0.3	1.6	
			b			10	1.2	3.4	1.2	2.3	3.4	1.2	3.4	
			b			15	1.6	5	1.6	3.5	5	1.6	5	
V <sub>OH</sub>	Output High Voltage		0/ 5		< 1	5	4.95		4.95			4.95	V	
			0/10		< 1	10	9.95		9.95			9.95		
			0/15		< 1	15	14.95		14.95			14.95		
V <sub>OL</sub>	Output Low Voltage		5/0		< 1	5		0.05			0.05	0.05	V	
			10/0		< 1	10		0.05			0.05	0.05		
			15/0		< 1	15		0.05			0.05	0.05		
I <sub>OH</sub>	Output Drive Current	HCC Types	0/ 5	2.5		5	- 2		- 1.6	- 3.2		- 1.15	mA	
			0/ 5	4.6		5	- 0.64		- 0.51	- 1		- 0.36		
			0/10	9.5		10	- 1.6		- 1.3	- 2.6		- 0.9		
			0/15	13.5		15	- 4.2		- 3.4	- 6.8		- 2.4		
		HCF Types	0/ 5	2.5		5	- 1.53		- 1.36	- 3.2		- 1.1		
			0/ 5	4.6		5	- 0.52		- 0.44	- 1		- 0.36		
			0/10	9.5		10	- 1.3		- 1.1	- 2.6		- 0.9		
			0/15	13.5		15	- 3.6		- 3.0	- 6.8		- 2.4		

a : input on terminals 1, 5, 8, 12 or 2, 6, 9, 13 ; other inputs to V<sub>DD</sub>.b : input on terminals 1 and 2, 5 and 6, 8 and 9, or 12 and 13 ; other inputs to V<sub>DD</sub>.\* T<sub>Low</sub> = -55°C for HCC device ; -40°C for HCF device.\* T<sub>High</sub> = +125°C for HCC device ; +85°C for HCF device.

**HCC/HCF4093B**

**STATIC ELECTRICAL CHARACTERISTICS ( continued)**

Symbol	Parameter	Test Conditions				Value						Unit	
		V <sub>I</sub> (V)	V <sub>O</sub> (V)	I <sub>O</sub>   ( $\mu$ A)	V <sub>DD</sub> (V)	T <sub>Low</sub> *		25°C			T <sub>High</sub> *		
						Min.	Max.	Min.	Typ.	Max.	Min.		Max.
I <sub>OL</sub>	Output Sink Current	0/ 5	0.4		5	0.64		0.51	1		0.36		mA
		0/10	0.5		10	1.6		1.3	2.6		0.9		
		0/15	1.5		15	4.2		3.4	6.8		2.4		
		0/ 5	0.4		5	0.52		0.44	1		0.36		
		0/10	0.5		10	1.3		1.1	2.6		0.9		
		0/15	1.5		15	3.6		3.0	6.8		2.4		
I <sub>IH</sub> , I <sub>IL</sub>	Input Leakage Current	HCC Types	0/18	Any Input	18	$\pm 0.1$		$\pm 10^{-5} \pm 0.1$			$\pm 1$	$\mu$ A	
		HCF Types	0/15		15	$\pm 0.3$		$\pm 10^{-5} \pm 0.3$			$\pm 1$		
C <sub>I</sub>	Input Capacitance			Any Input				5	7.5			pF	

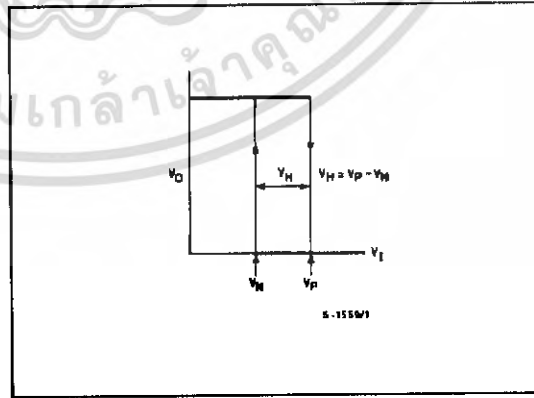
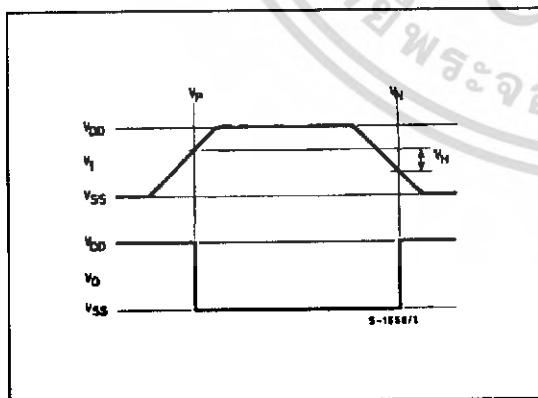
**DYNAMIC ELECTRICAL CHARACTERISTICS** (T<sub>amb</sub> = 25°C, C<sub>L</sub> = 50pF, R<sub>L</sub> = 200k $\Omega$ , typical temperature coefficient for all V<sub>DD</sub> = 0.3%/°C values , all input rise and fall time = 20ns)

Symbol	Parameter	Test Conditions		Value			Unit
		V <sub>DD</sub> (V)		Min.	Typ.	Max.	
t <sub>PLH</sub> , t <sub>PHL</sub>	Propagation Delay Time	5		190	380	ns	
		10		90	180		
		15		65	130		
t <sub>TLH</sub> , t <sub>THL</sub>	Transition Time	5		100	200	ns	
		10		50	100		
		15		40	80		

**Figure1 : Hysteresis Definition, Characteristics and Test Setup.**

(a) Definition of V<sub>P</sub>, V<sub>N</sub> and V<sub>H</sub>

(b) Transfer characteristics of 1 of 4 gates



(c) Test setup

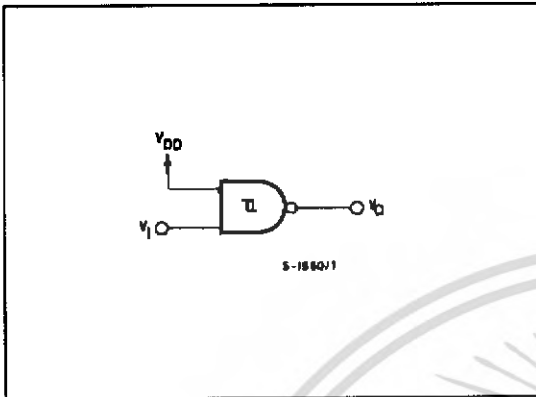


Figure 2 : Input and Output Characteristics.

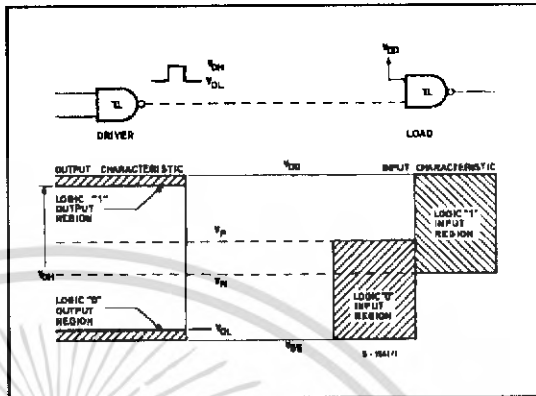


Figure 3 : Typical Current and Voltage Transfer Characteristics.

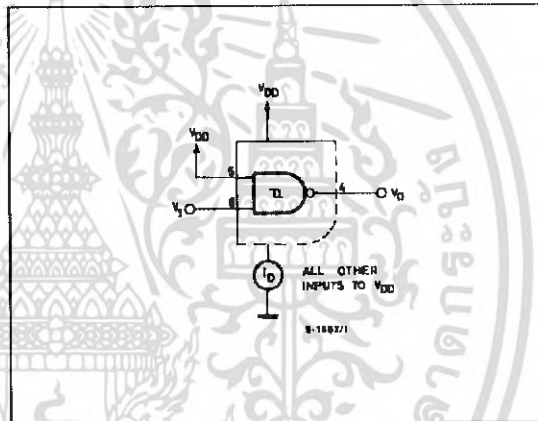
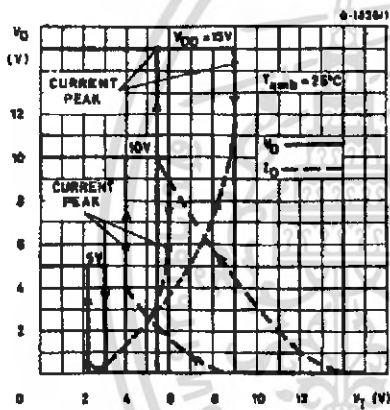


Figure 4 : Typical Voltage Transfer Characteristics as a Function of Temperature, and Test Circuit.

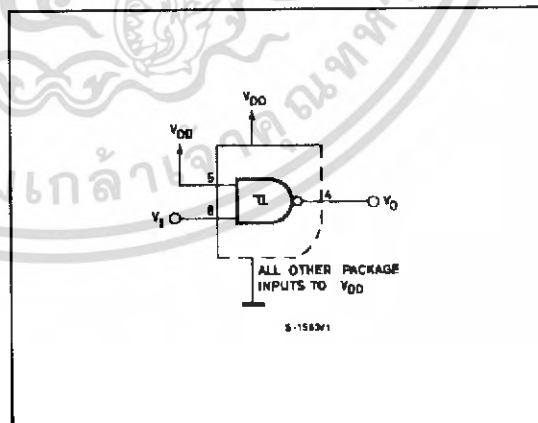
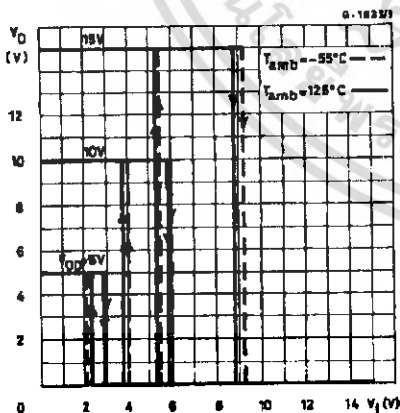


Figure 5 : Typical Output Low (sink) Current Characteristics.

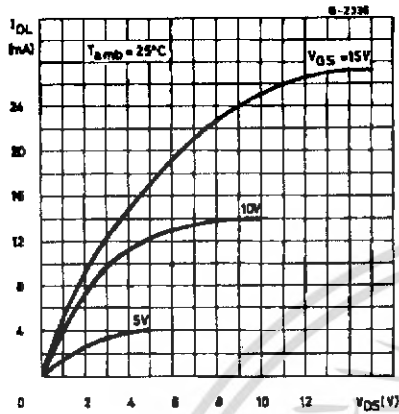


Figure 6 : Minimum Output Low (sink) Current Characteristics.

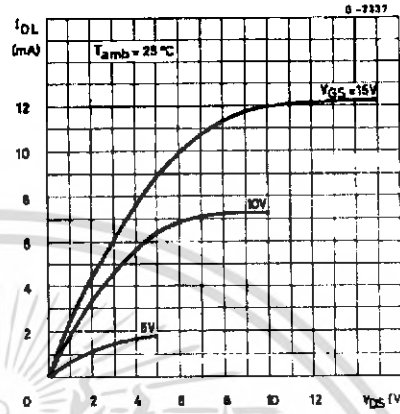


Figure 7 : Typical Output High (source) Current Characteristic.

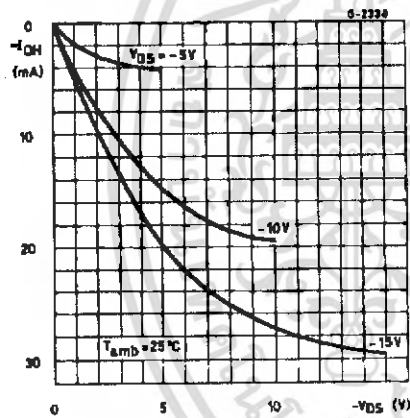


Figure 8 : Minimum Output High Current Characteristics.

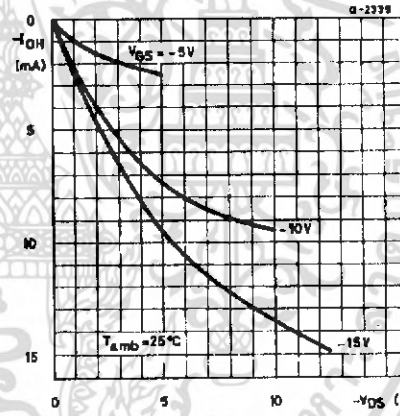


Figure 9 : Typical Propagation Delay Time vs. Supply Voltage.

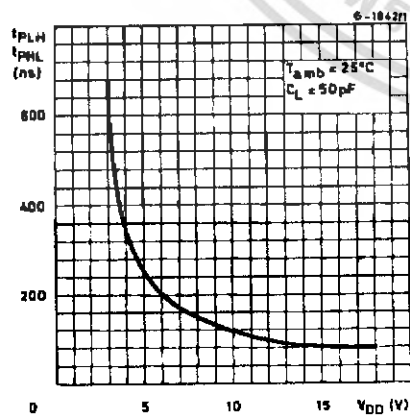


Figure 10 : Typical Transition Time vs. Load Capacitance.

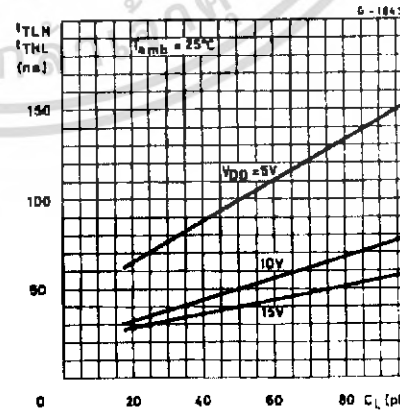


Figure 11 : Typical Trigger Threshold Voltage vs.  $V_{DD}$

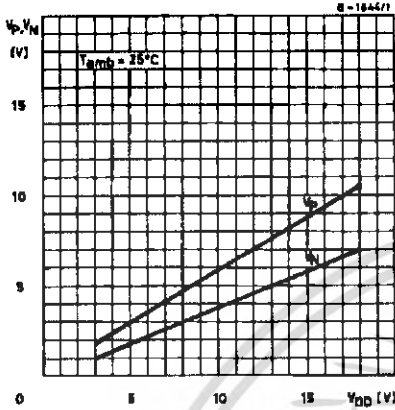


Figure 12 : Typical per cent Hysteresis vs. Supply Voltage.

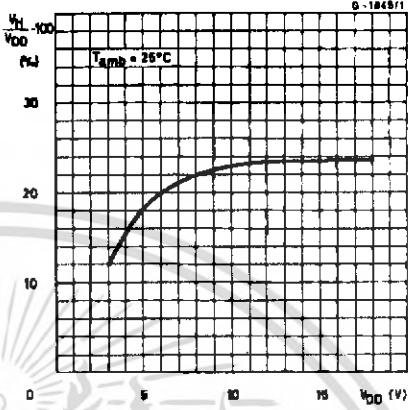


Figure 13 : Typical Dissipation Characteristics.

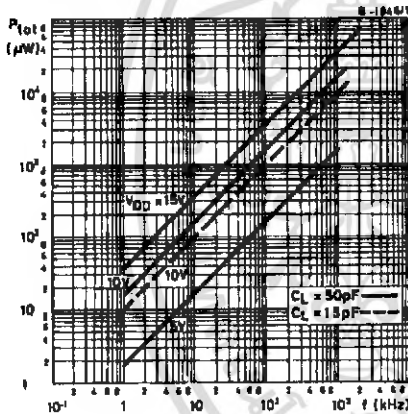
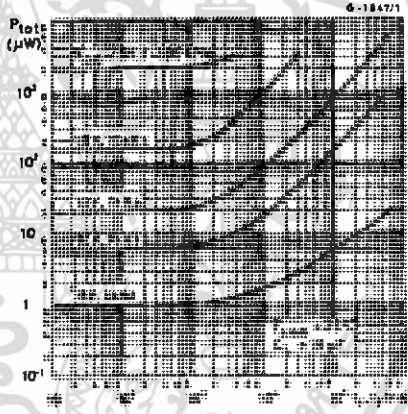


Figure 14 : Power Dissipation vs. Rise and Fall Times.



# HCC/HCF4093B

## APPLICATIONS

Figure 15 : Wave Shaper.

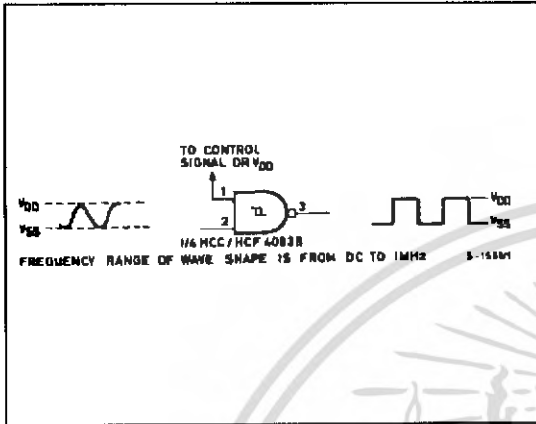


Figure 16 : Monostable Multivibrator.

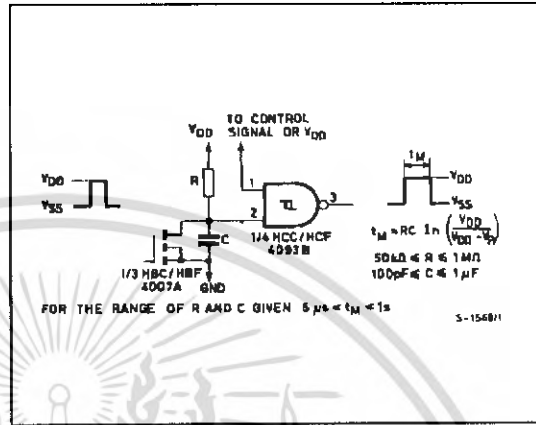
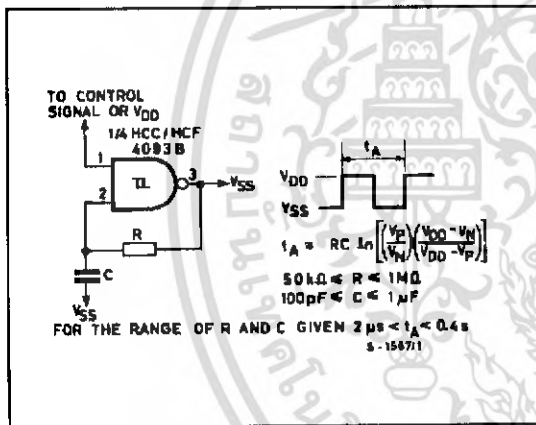


Figure 17 : Astable Multivibrator.



## TEST CIRCUITS

Figure 18 : Quiescent Device Current.

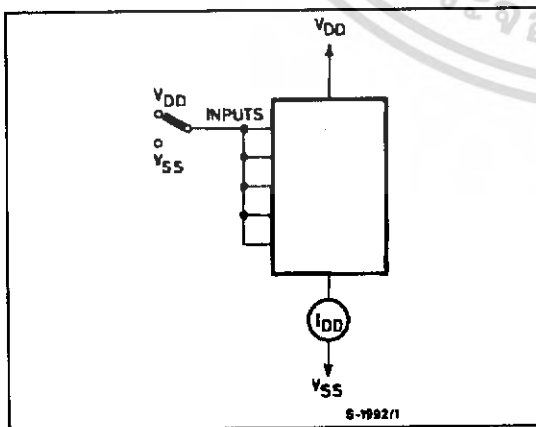
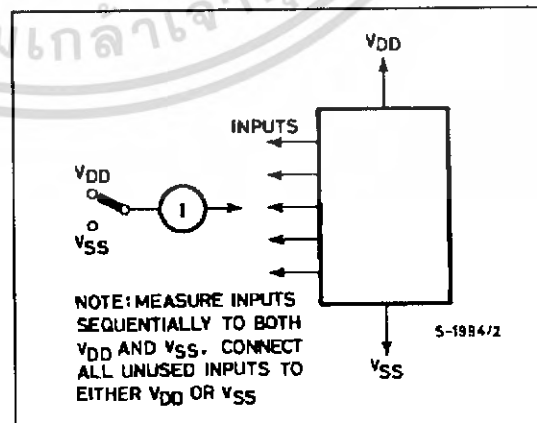
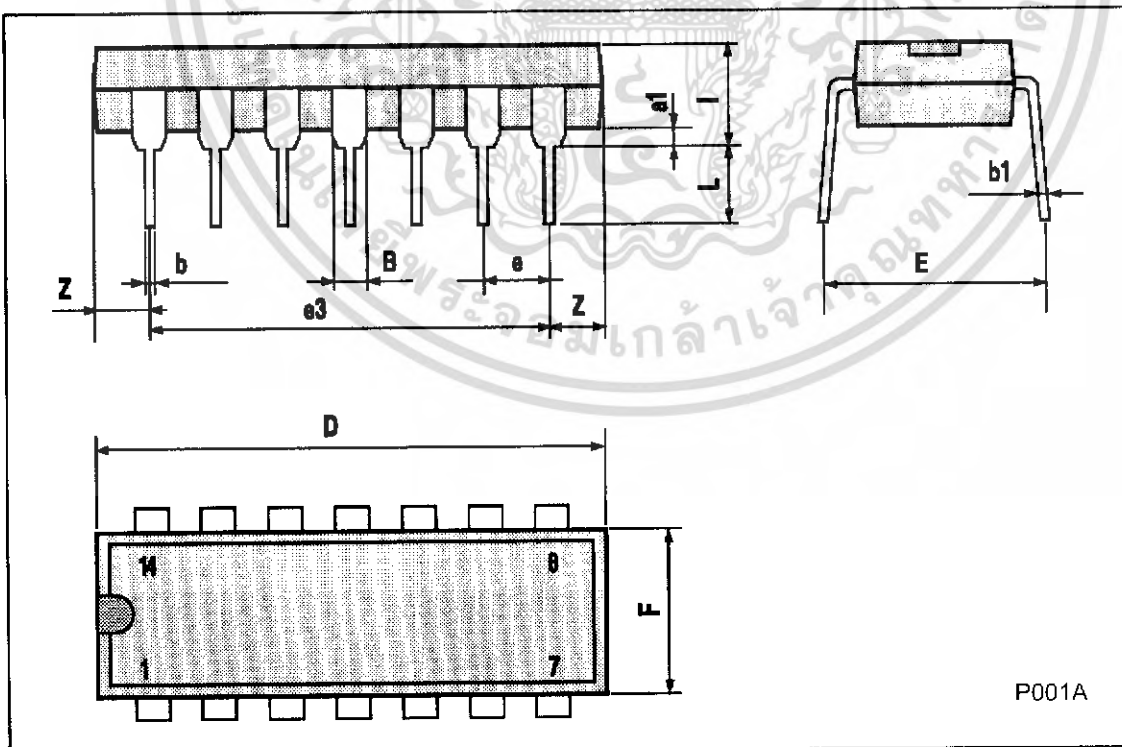


Figure 19 : Input Leakage Current.



**Plastic DIP14 MECHANICAL DATA**

DIM.	mm			inch		
	MIN.	TYP.	MAX.	MIN.	TYP.	MAX.
a1	0.51			0.020		
B	1.39		1.65	0.055		0.065
b		0.5			0.020	
b1		0.25			0.010	
D			20			0.787
E		8.5			0.335	
e		2.54			0.100	
e3		15.24			0.600	
F			7.1			0.280
l			5.1			0.201
L		3.3			0.130	
Z	1.27		2.54	0.050		0.100



P001A

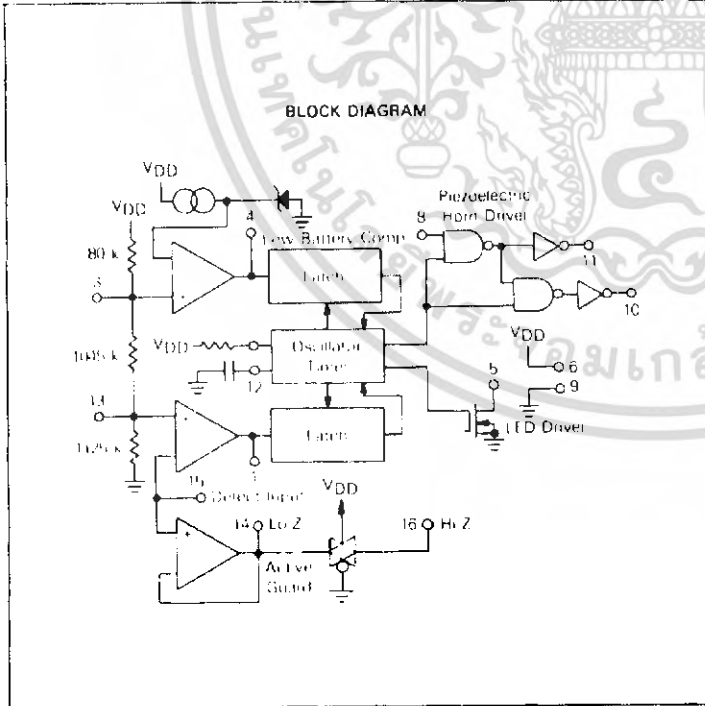
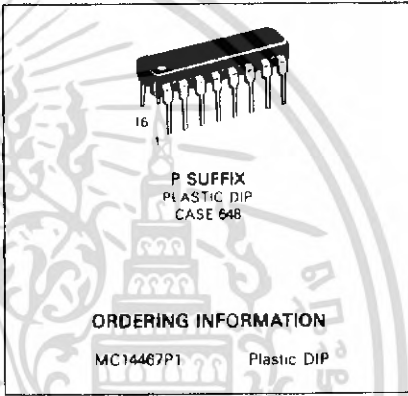
**MC14467-1**

**CMOS MSI**  
 (LOW-POWER COMPLEMENTARY MOS)  
**IONIZATION SMOKE DETECTOR**

**IONIZATION SMOKE DETECTOR**

The MC14467-1, when used with an ionization chamber and a small number of external components, will detect smoke. When smoke is sensed, an alarm is sounded via an external piezoelectric transducer and internal drivers. This circuit is designed to comply with the UL217 and UL268 specifications.

- Ionization Type with On-Chip FET Input Comparator
- Piezoelectric Horn Driver
- Guard Outputs on Both Sides of Detect Input
- Input-Production Diodes on the Detect Input
- Low-Battery Trip Point, Internally Set, Can Be Altered Via External Resistor
- Detect Threshold, Internally Set, Can Be Altered Via External Resistor
- Pulse Testing for Low Battery Uses LED for Battery Loading
- Comparator Outputs for Detect and Low Battery
- Internal Reverse Battery Protection



**PIN ASSIGNMENT**

Detect Comp. Out	1	16	Guard Hi-Z
N/C	2	15	Detect Input
Low V Set	3	14	Guard Lo-Z
Low V Comp. Out	4	13	Sensitivity Set
LED	5	12	Osc Capacitor
VDD	6	11	Silver
Timing Resistor	7	10	Brass
Feedback	8	9	VSS

**7**

เอกสารนี้เป็นเอกสารที่สงวนไว้สำหรับการใช้งานเพื่อการศึกษาเท่านั้น ไม่อนุญาตให้นำไปใช้ประโยชน์ด้านการค้าไม่ว่ากรณีใดๆ ทั้งสิ้น อีกทั้งห้ามมิให้ดัดแปลงเนื้อหา และต้องอ้างอิงถึงเจ้าของเอกสารทุกครั้งที่มีการนำไปใช้

# MC14467-1

## MAXIMUM RATINGS\* (Voltages referenced to V<sub>SS</sub>)

Rating	Symbol	Value	Unit
DC Supply Voltage	V <sub>DD</sub>	-0.5 to +15	V
Input Voltage, All Inputs Except Pin 8	V <sub>in</sub>	-0.25 to V <sub>DD</sub> + 0.25	V
DC Current Drain per Input Pin, Except Pin 15 = 1 mA	I <sub>i</sub>	10	mA
DC Current Drain per Output Pin	i <sub>o</sub>	30	mA
Operating Temperature Range	T <sub>A</sub>	-10 to +60	°C
Storage Temperature Range	T <sub>stg</sub>	-55 to +125	°C
Reverse Battery Time	t <sub>RB</sub>	5.0	s

\*Maximum Ratings are those values beyond which damage to the device may occur.

## RECOMMENDED OPERATING CONDITIONS (Voltages referenced to V<sub>SS</sub>)

Parameter	Symbol	Value	Unit
Supply Voltage	V <sub>DD</sub>	9.0	V
Timing Capacitor	-	0.1	μF
Timing Resistor	-	8.2	MΩ
Battery Load (Resistor or LED)	-	10	mA

## ELECTRICAL CHARACTERISTICS (Voltages referenced to V<sub>SS</sub>, T<sub>A</sub> = 25°C)

Characteristic	Symbol	V <sub>DD</sub> V <sub>dc</sub>	Min	Typ#	Max	Unit
Operating Voltage	V <sub>DD</sub>	-	6.0	-	12	V
Output Voltage	V <sub>OH</sub>	7.2	6.3	-	-	V
Piezoelectric Horn Drivers (I <sub>OH</sub> = -16 mA)		9.0	8.5	8.8	-	V
Comparators (I <sub>OH</sub> = -30 μA)		7.2	-	-	0.9	V
Piezoelectric Horn Drivers (I <sub>OL</sub> = +16 mA)		9.0	-	0.1	0.5	V
Comparators (I <sub>OL</sub> = +30 μA)		7.2	-	-	3.0	V
Output Voltage - LED Driver, I <sub>OL</sub> = 10 mA	V <sub>OL</sub>	7.2	-	-	-	V
Output Impedance, Active Guard	Pin 14 Pin 16	Lo-Z Hi-Z	9.0 9.0	-	10 1000	kΩ
Operating Current (R <sub>bias</sub> = 8.2 MΩ)	I <sub>DD</sub>	9.0	-	5.0	9.0	μA
		12.0	-	-	12.0	μA
Input Current - Detect (40% RH)	I <sub>in</sub>	9.0	-	-	±1.0	μA
Internal Set Voltage	V <sub>low</sub>	8.0	7.2	-	7.8	V
Low Battery Sensitivity	V <sub>set</sub>	-	47	50	53	%V <sub>DD</sub>
Hysteresis	V <sub>hys</sub>	9.0	75	100	150	mV
Offset Voltage (measured at V <sub>in</sub> = V <sub>DD</sub> /2)	V <sub>OS</sub>	9.0	-	-	±100	mV
Active Guard Detect Comparator		9.0	-	-	±50	mV
Input Voltage Range, Pin 8	V <sub>in</sub>	-	-10	-	V <sub>DD</sub> + 10	V
Input Capacitance	C <sub>in</sub>	-	-	5.0	-	pF
Common Mode Voltage Range, Pin 15	V <sub>cm</sub>	-	0.6	-	V <sub>DD</sub> - 2	V

#Data labelled "Typ" is not to be used for design purposes but is intended as an indication of the IC's potential performance

This device contains circuitry to protect the inputs against damage due to high static voltages or electric fields; however, it is advised that normal precautions be taken to avoid application of any voltage higher than maximum rated voltages to this high impedance circuit. For proper operation, it is recommended that except for pin 8, V<sub>in</sub> and V<sub>OUT</sub> be constrained to the range V<sub>SS</sub> ≤ (V<sub>in</sub> or V<sub>OUT</sub>) ≤ V<sub>DD</sub>. For pin 8, refer to the Electrical Characteristics.

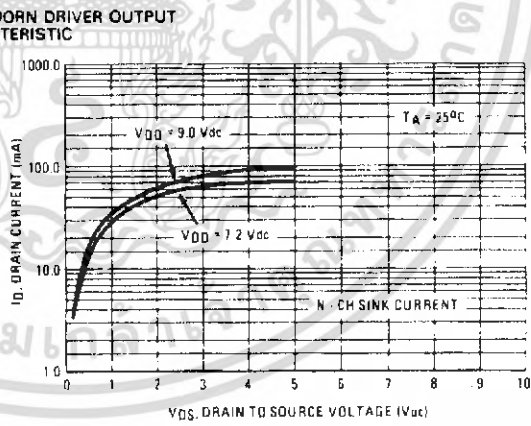
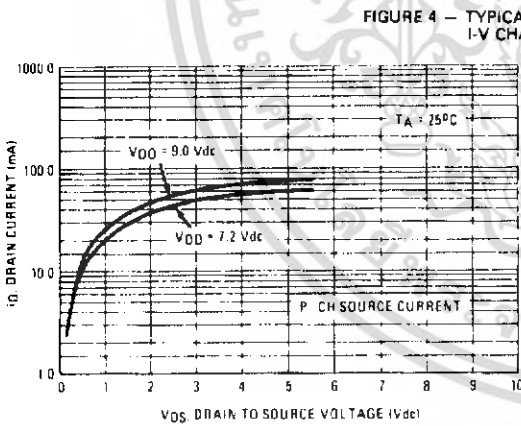
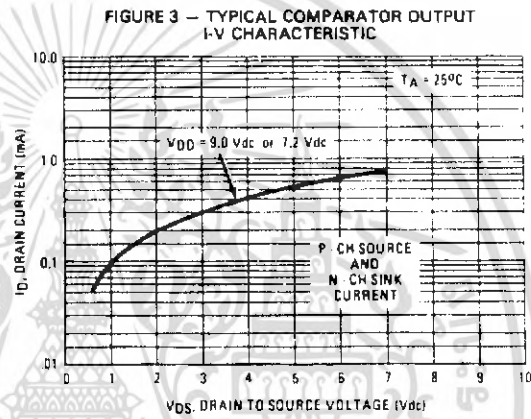
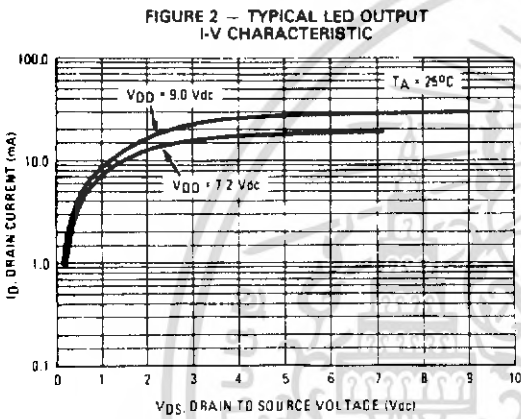
## MOTOROLA CMOS APPLICATION-SPECIFIC DIGITAL-ANALOG INTEGRATED CIRCUITS

# MC14467-1

**TIMING PARAMETERS** (C = 0.1  $\mu$ F, R<sub>bias</sub> = 8.2 M $\Omega$ , V<sub>DD</sub> = 9.0 V, T<sub>A</sub> = 25°C, See Figure 5)

Characteristics	Symbol	Min	Typ#	Max	Units
Oscillator Period	T <sub>Cl</sub>	1.34	1.67	2.0	s
		32	40	48	ms
Oscillator Rise Time	t <sub>r</sub>	8	10	12	ms
Horn Output (During Smoke)	PW <sub>on</sub>	120	160	208	ms
	PW <sub>off</sub>	60	80	104	ms
LED Output	I <sub>LED</sub>	32	40	48	s
	PW <sub>on</sub>	8	10	12	ms
Horn Output (During Low Battery)	t <sub>on</sub>	8	10	12	ms
	t <sub>off</sub>	32	40	48	s

#Data labelled "Typ" is not to be used for design purposes but is intended as an indication of the IC's potential performance.



7

เอกสารนี้เป็นเอกสารที่สงวนไว้สำหรับการใช้งานเพื่อการศึกษาเท่านั้น ไม่อนุญาตให้นำไปใช้ประโยชน์ด้านการค้า ไม่ว่าจะกรณีใดๆ ทั้งสิ้น อีกทั้งห้ามมิให้ดัดแปลงเนื้อหา และต้องอ้างอิงถึงเจ้าของเอกสารทุกครั้งที่มีการนำไปใช้

# MC14467-1

## DEVICE OPERATION

### TIMING

The internal oscillator of the MC14467-1 operates with a period of 1.67 seconds during no-smoke conditions. Each 1.67 seconds, internal power is applied to the entire IC and a check is made for smoke, except during LED pulse, Low Battery Alarm Chirp, or Horn Modulation (in smoke). Every 24 clock cycles a check is made for low battery by comparing VDD to an internal zener voltage. Since very small currents are used in the oscillator, the oscillator capacitor should be of a low leakage type.

### DETECT CIRCUITRY

If smoke is detected, the oscillator period becomes 40 ms and the piezoelectric horn oscillator circuit is enabled. The horn output is modulated 160 ms on, 80 ms off. During the off time, smoke is again checked and will inhibit further horn output if no smoke is sensed. During smoke conditions the low battery alarm is inhibited, but the LED pulses at a 1.0 Hz rate.

An active guard is provided on both pins adjacent to the detect input. The voltage at these pins will be within 100 mV of the input signal. This will keep surface leakage currents to a minimum and provide a method of measuring the input voltage without loading the ionization chamber. The active guard op amp is not power strobed and thus gives constant protection from surface leakage currents. Pin 15 (the Detect input) has internal diode protection against static damage.

### SENSITIVITY/LOW BATTERY THRESHOLDS

Both the sensitivity threshold and the low battery voltage

levels are set internally by a common voltage divider connected between VDD and VSS. These voltages can be altered by external resistors connected from pins 3 or 13 to either VDD or VSS. There will be a slight interaction here due to the common voltage divider network. The sensitivity threshold can also be set by adjusting the smoke chamber ionization source.

### TEST MODE

Since the internal op amps and comparators are power strobed, adjustments for sensitivity or low battery level could be difficult and/or time-consuming. By forcing Pin 12 to VSS, the power strobing is bypassed and the outputs, Pins 1 and 4, constantly show smoke/no smoke and good battery/low battery, respectively. Pin 1 = VDD for smoke and Pin 4 = VDD for low battery. In this mode and during the 10 ms power strobe, chip current rises to approximately 50  $\mu$ A.

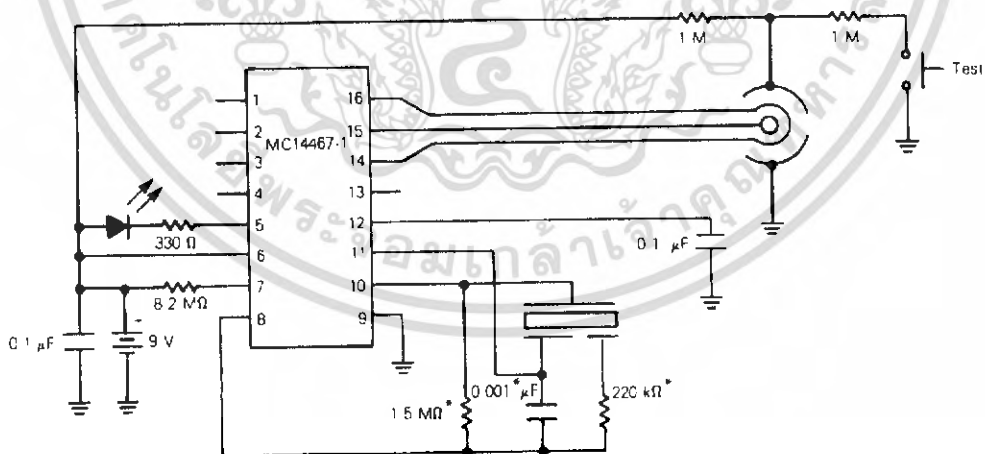
### LED PULSE

The 9-volt battery level is checked every 40 seconds during the LED pulse. The battery is loaded via a 10 mA pulse for 10 ms. If the LED is not used, it should be replaced with an equivalent resistor such that the battery loading remains at 10 mA.

### HYSTERESIS

When smoke is detected, the resistor/divider network that sets sensitivity is altered to increase sensitivity. This yields approximately 100 mV of hysteresis and reduces false triggering.

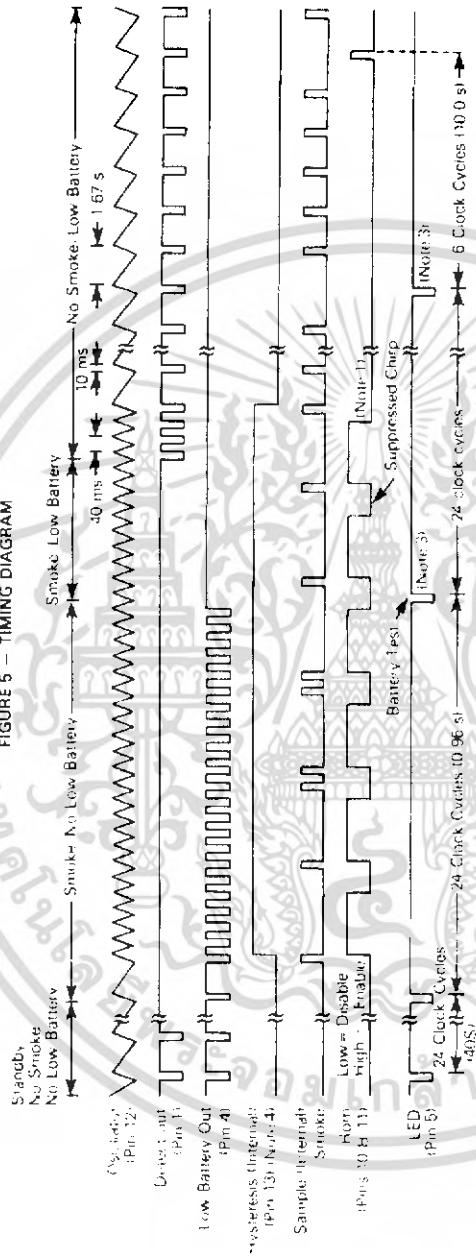
FIGURE 1 — TYPICAL APPLICATION AS IONIZATION SMOKE DETECTOR



\*NOTE: Component values may change depending on type of piezoelectric horn used.

MOTOROLA CMOS APPLICATION-SPECIFIC DIGITAL-ANALOG INTEGRATED CIRCUITS

FIGURE 5 — TIMING DIAGRAM



NOTES: 1 Horn modulation is self-multiplexing. When going from smoke to no smoke, the alarm condition will terminate only when horn is off.  
 2 Comparators are strobed once per clock cycle (1.67 s for no smoke, 40 ms for smoke).  
 3 Low battery comparator information is latched only during LED pulse.  
 4 - 100 mV p-p swing.

# ISD2560/75/90/120

**SINGLE-CHIP, MULTIPLE-MESSAGES,  
VOICE RECORD/PLAYBACK DEVICE  
60-, 75-, 90-, AND 120-SECOND DURATION**

*Publication Release Date: May 2003  
Revision 1.0*

- 1 -

เอกสารนี้เป็นเอกสารที่สงวนไว้สำหรับการใช้งานเพื่อการศึกษาเท่านั้น ไม่อนุญาตให้นำไปใช้ประโยชน์ด้านการค้า  
ไม่ว่ากรณีใดๆ ทั้งสิ้น อีกทั้งห้ามมิให้ดัดแปลงเนื้อหา และต้องอ้างอิงถึงเจ้าของเอกสารทุกครั้งที่มีการนำไปใช้



## 1. GENERAL DESCRIPTION

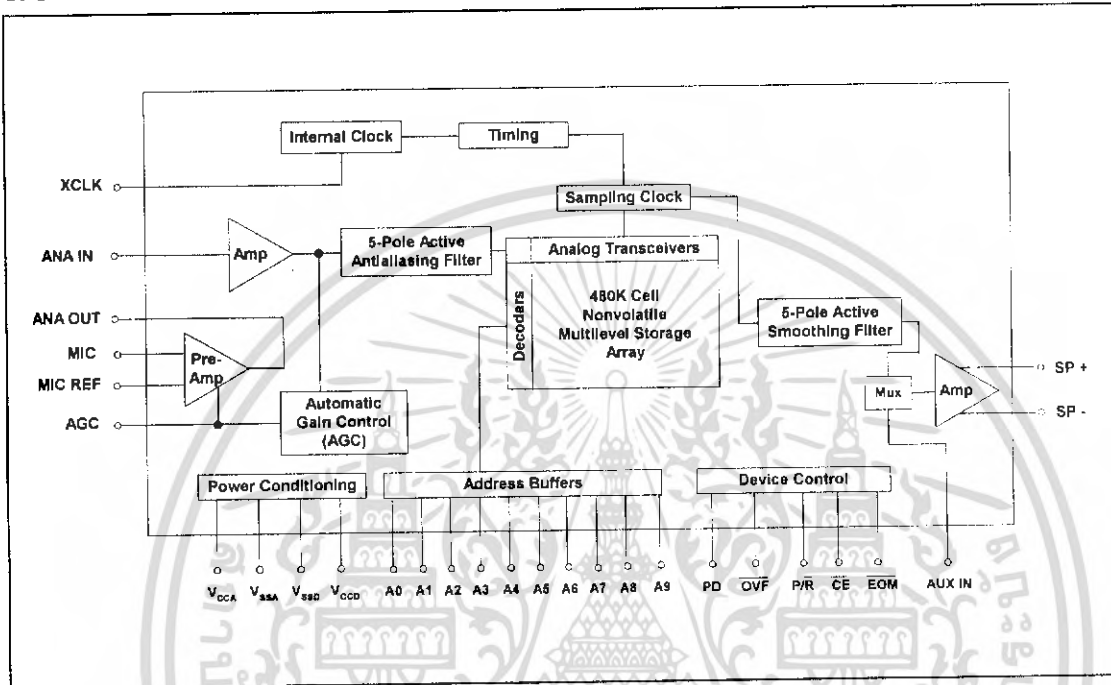
Winbond's ISD2500 ChipCorder® Series provide high-quality, single-chip, Record/Playback solutions for 60- to 120-second messaging applications. The CMOS devices include an on-chip oscillator, microphone preamplifier, automatic gain control, antialiasing filter, smoothing filter, speaker amplifier, and high density multi-level storage array. In addition, the ISD2500 is microcontroller compatible, allowing complex messaging and addressing to be achieved. Recordings are stored into on-chip nonvolatile memory cells, providing zero-power message storage. This unique, single-chip solution is made possible through Winbond's patented multilevel storage technology. Voice and audio signals are stored directly into memory in their natural form, providing high-quality, solid-state voice reproduction.

## 2. FEATURES

- Easy-to-use single-chip, voice record/playback solution
- High-quality, natural voice/audio reproduction
- Single-chip with duration of 60, 75, 90, or 120 seconds.
- Manual switch or microcontroller compatible
- Playback can be edge- or level-activated
- Directly cascadable for longer durations
- Automatic power-down (push-button mode)
  - Standby current 1  $\mu$ A (typical)
- Zero-power message storage
  - Eliminates battery backup circuits
- Fully addressable to handle multiple messages
- 100-year message retention (typical)
- 100,000 record cycles (typical)
- On-chip clock source
- Programmer support for play-only applications
- Single +5 volt power supply
- Available in die form, PDIP, SOIC and TSOP packaging
- Temperature = die (0°C to +50°C) and package (0°C to +70°C)



3. BLOCK DIAGRAM



เอกสารนี้เป็นเอกสารที่สงวนไว้สำหรับการใช้งานเพื่อการศึกษาเท่านั้น ไม่อนุญาตให้นำไปใช้ประโยชน์ด้านการค้า  
ไม่ว่ากรณีใดๆ ทั้งสิ้น อีกทั้งห้ามมิให้ดัดแปลงเนื้อหา และต้องอ้างอิงถึงเจ้าของเอกสารทุกครั้งที่มีการนำไปใช้